

ACCA SOFTWARE

# **EdiLus**

**Progettazione e Calcolo Strutturale**

## **DOCUMENTAZIONE DI AFFIDABILITÀ**

### **Casi Prova GEOTECNICA**

Ai sensi del:

**D.M. 17/01/2018 cap. 10 - Norme Tecniche per le Costruzioni**

**ACCA software S.p.A.**

Contrada Rosole 13 - 83043 BAGNOLI IRPINO (AV) - Italy

## INDICE

### CASI PROVA GEOTECNICA

<u>1</u>	<u>(GEO) - Test di Validazione n.01 (Trave Winkler) .....</u>	<u>3</u>
<u>2</u>	<u>(GEO) - Test di Validazione n.02 (Verifica di Carico Limite) .....</u>	<u>4</u>
<u>3</u>	<u>(GEO) - Test di Validazione n.03 (Spinta Terreno) .....</u>	<u>16</u>
<u>4</u>	<u>(GEO) - Test di Validazione n.04 (<math>Q_{lim}</math> Pali in terreno monostrato) .....</u>	<u>32</u>
<u>5</u>	<u>(GEO) - Test di Validazione n.05 (<math>Q_{lim}</math> Pali in stratigrafia) .....</u>	<u>47</u>
<u>6</u>	<u>(GEO) - Test di Validazione n.06 (Rigidezze Plinto) .....</u>	<u>60</u>
<u>7</u>	<u>(GEO) - Test di Validazione n.07 (Sollecitazioni Verifiche Plinto BASSO) .....</u>	<u>69</u>
<u>8</u>	<u>(GEO) - Test di Validazione n.08 (Sollecitazioni Verifiche Plinto ALTO) .....</u>	<u>78</u>

# 1 (GEO) - Test di Validazione n.01 (Trave Winkler)

Titolo: **Trave su suolo alla winkler con forza concentrata in mezzeria. Calcolo dello spostamento di un nodo di estremità.**

Riferimento: **Roark's Formulas for Stress and Strain pag. 214.**

Il file di EdiLus (CA) è: **CA\_Test\_04.EDL**.

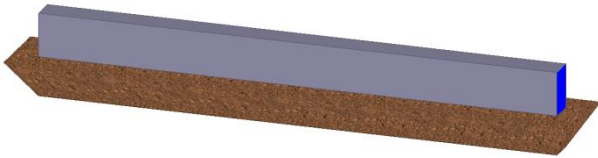


Figura 1.1: vista - "Editor 3D"

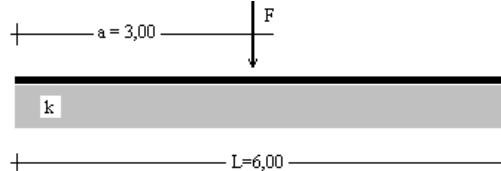


Figura 1.2: schema di calcolo

## Dati

Trave su suolo alla Winkler con le seguenti caratteristiche:

- Lunghezza 6,00 m;
- Sezione rettangolare (b · h), con:
  - base (b) = 0,30 m
  - altezza (h) = 0,50 m
$$\Rightarrow I = \frac{b \cdot h^3}{12} = \frac{0,30 \cdot 0,50^3}{12} = 3,125 \cdot 10^{-3} \text{ m}^4$$
- Magrone (b<sub>o</sub> · h<sub>o</sub>), con:
  - base (b<sub>o</sub>) = 0,60 m
  - altezza (h<sub>o</sub>) = 0,15 m
- Materiale = Cls C20/25\_B450C (con E = 30200 N/mm<sup>2</sup>);
- Forza (F), applicata in mezzeria, pari a 300 000 N (*Condizione di Carico -> Permanente*).

Terreno "Sabbia argillosa mediamente consolidata" con le seguenti caratteristiche:

- Costante di sottofondo (k) = 200 N/cm<sup>3</sup> = 2e<sup>+8</sup> N/m<sup>3</sup>.

L'abbassamento **Teorico** è dato da:

$$y_a = \frac{F}{(2 \cdot E \cdot I \cdot \beta^3)} \cdot \frac{C_4 \cdot C_{a1} - C_3 \cdot C_{a2}}{C_{11}} = 2,57 \cdot 10^{-4} \text{ m} = \mathbf{0,0257 \text{ cm.}}$$

dove:

$$C_4 = \cosh(\beta \cdot L) \cdot \sin(\beta \cdot L) - \sinh(\beta \cdot L) \cdot \cos(\beta \cdot L) = -34,9769$$

$$C_{a1} = \cosh[\beta \cdot (L - a)] \cdot \cos[\beta \cdot (L - a)] = -3,03053$$

$$C_3 = \sinh(\beta \cdot L) \cdot \sin(\beta \cdot L) = -44,2713$$

$$C_{a2} = \cosh[\beta \cdot (L - a)] \cdot \sin[\beta \cdot (L - a)] + \sinh[\beta \cdot (L - a)] \cdot \cos[\beta \cdot (L - a)] = 0,769439$$

$$E I = 94 \ 375 \ 000 \text{ N/m}^2$$

$$\beta = \sqrt[4]{\frac{b_o \cdot k}{4 \cdot E \cdot I}} = 0.75087$$

$$C_{11} = \sinh^2(\beta \cdot L) - \sin^2(\beta \cdot L) = 2045,573$$

Lo spostamento nodale (*Figura 1.3*) che è possibile leggere in **EdiLus** è pari a **0,0226 cm**.

Tab. 1.1: confronto soluzione Teorica ed EdiLus

	<b>Soluzione Teorica</b>	<b>EdiLus</b>
Spostamento [cm]	0,0257	0,0226

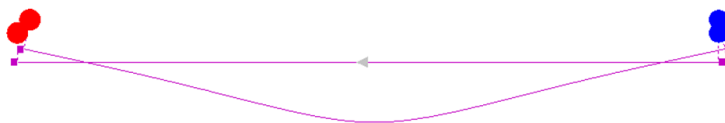
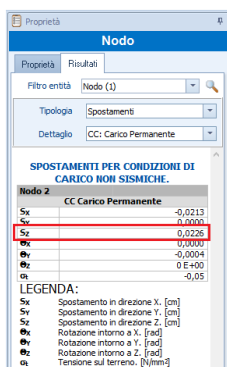


Figura 1.3: risultati del calcolo in EdiLus

## 2 (GEO) - Test di Validazione n.02 (Verifica di Carico Limite)

Titolo: **Verifica di carico limite del complesso fondazione-terreno.**

I file di EdiLus (CA) sono: **CA\_Validazione\_QLimite\_01.EDL** e **CA\_Validazione\_QLimite\_02.EDL**.

### Dati Generali

- **Plinto** - (Figura 2.1)

- Lunghezza (B) = 2,00 m.
- Larghezza (L) = 2,00 m.
- Altezza (H) = 0,50 m.
- Spessore magrone (s) = 0 m.

- **Pilastro** - (Figura 2.2)

- Base (B<sub>p</sub>) = 0,40 m.
- Altezza sezione (H<sub>p</sub>) = 0,40 m.
- Altezza (h) = 1,50 m.
- Materiale = Cls C20/25\_B450C (con peso specifico  $\gamma_c = 25000 \text{ N/m}^3$ ).
- Forza (F<sub>x</sub>) concentrata orizzontale di **15000 N** (Condizione di carico -> Permanente) applicata in testa al pilastro e diretta secondo +X.

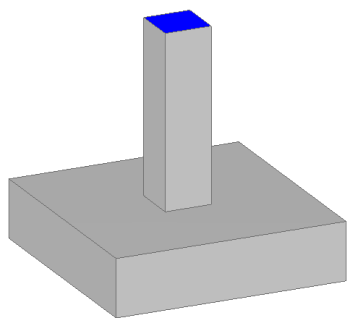


Figura 2.1: vista "Editor 3D"



Figura 2.2: vista "Forze e Momenti (utente)"

### - Analisi/verifiche -

- Analisi sismica: Nessuna.
- Verifiche di sicurezza: Approccio 2.

La verifica di collasso per carico limite dell'insieme fondazione-terreno deve rispettare la condizione:

$$E_d \leq R_d,$$

dove:

$E_d$  = valore di progetto dell'azione o dell'effetto dell'azione;

$R_d$  = valore di progetto della resistenza del sistema geotecnico.

Con riferimento all'**Approccio 2** (Combinazione  $A_1+M_1+R_3$ ) si ha:

- (**A1**): il valore di progetto delle azioni  $E_d$  si ottiene applicando, ai valori caratteristici delle stesse, i coefficienti parziali  $\gamma_F$  (tabella 6.2.I delle NTC 2018 - colonna A1);
- (**M1**): il valore di progetto della resistenza  $R_d$  è determinato in modo analitico con riferimento al valore caratteristico dei parametri geotecnici del terreno, diviso per il valore del coefficiente parziale  $\gamma_M$  (tabella 6.2.II delle NTC 2018 - colonna M1);
- (**R3**): il valore di progetto della resistenza  $R_d$  è determinato tenendo conto, ove necessario, dei coefficienti parziali  $\gamma_R$  specifici per ciascun tipo di opera (tabella 6.4.I delle NTC 2018 - colonna R3).

Tab. 2.1: coefficienti parziali per le azioni o per l'effetto delle azioni (*parte della tabella 6.2.I delle NTC 2018*)

CARICHI	EFFETTO	COEFFICIENTE PARZIALE $\gamma_F$ (O $\gamma_E$ )	(A1) STR
Carichi permanenti $G_1$	Favorevole	$\gamma_{G1}$	1,0
	Sfavorevole		1,3
Carichi permanenti $G_2$	Favorevole	$\gamma_{G2}$	0,8
	Sfavorevole		1,5
Azioni variabili Q	Favorevole	$\gamma_{Qi}$	0,0
	Sfavorevole		1,5

Utilizzando l'**Approccio 2**, i coefficienti parziali  $\gamma_M$  per i parametri geotecnici del terreno relativi alla colonna M1 sono tutti unitari (Tab. 2.2), mentre il coefficiente parziale  $\gamma_R$  (Tab. 2.3) è assunto pari a 2,30.

Tab. 2.2: coefficienti parziali per i parametri geotecnici del terreno (*parte della tabella 6.2.II delle NTC 2018*)

PARAMETRO	GRANDEZZA ALLA QUALE APPLICARE IL COEFFICIENTE PARZIALE	COEFFICIENTE PARZIALE $\gamma_M$	(M1)
Tangente dell'angolo di resistenza al taglio	$\tan \phi'_k$	$\gamma_{\phi'}$	1,0
Coesione efficace	$c'_k$	$\gamma_{c'}$	1,0
Resistenza non drenata	$c_{uk}$	$\gamma_{cu}$	1,0
Peso dell'unità di volume	$\gamma_w$	$\gamma_\gamma$	1,0

Tab. 2.3: Coefficienti parziali  $\gamma_R$  per le verifiche agli SLU di fondazioni superficiali (*parte della tabella 6.4.I delle NTC 2018*)

VERIFICA	COEFFICIENTE PARZIALE (R3)
Capacità portante	$\gamma_R = 2,3$
Scorrimento	$\gamma_R = 1,1$

L'obiettivo è ricercare, fra tutte le combinazioni di carico allo SLU, quella per cui la coppia  $E_d$  ( $Q_{Ed}$  in *EdiLus*)  $R_d$  ( $Q_{Rd}$  in *EdiLus*) da luogo al minimo coefficiente di sicurezza ( $CS$ ).

### Esempio 1 (Senza Falda; Terreno -> Incoerente; Calcolo $Q_{lim}$ -> Drenate)

Il file di *EdiLus* (CA) è: **CA\_Validazione\_QLimite\_01.EDL**.

#### - Terreno - (Figura 2.3)

- Descrizione "sabbia argillosa mediamente consolidata".
- Peso specifico ( $\gamma_T$ ) = 18000 N/m<sup>3</sup>.
- Angolo di attrito ( $\phi$ ) = 32°.
- Coesione efficace ( $c'$ ) = 0 N/mm<sup>2</sup>.
- Modulo Edometrico ( $E_d$ ) = 8 N/mm<sup>2</sup>.

#### - "Settaggi" per il calcolo del "Carico Limite" - (Figura 2.4)

- Profondità rispetto al piano di campagna (*profondità del piano di posa - D*): **0,50 m**.
- Presenza della falda: **NO**.
- Comportamento del Terreno: **Incoerente**.
- Condizioni di calcolo del Carico Limite: **Drenate**.

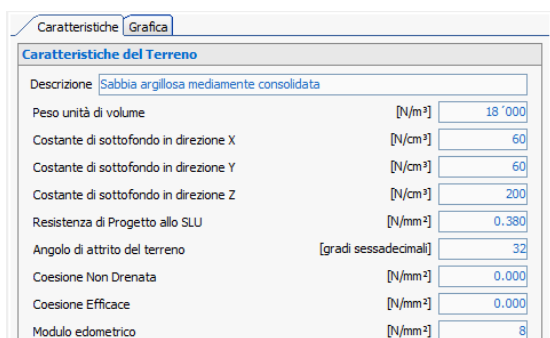


Figura 2.3: caratteristiche Terreno

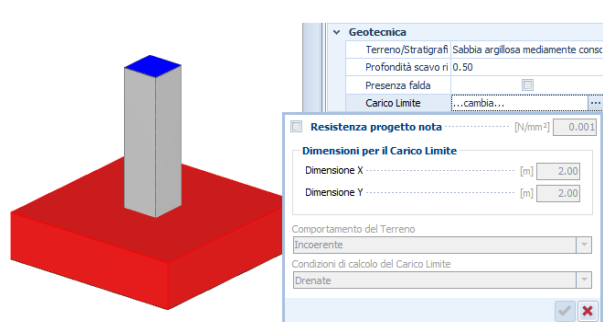


Figura 2.4: settaggio per calcolo "Carico Limite"

### - Determinazione delle Azioni ( $E_d = Q_{Ed}$ ) -

Le azioni *caratteristiche* in gioco sono:

- Peso proprio del pilastro ( $P_{pilastro}$  - Condizione di carico -> Permanente):

$$P_{pilastro} = B_p \cdot H_p \cdot h \cdot \gamma_c = 0,40\text{m} \cdot 0,40\text{m} \cdot 1,50\text{m} \cdot 25000\text{N/m}^3 = 6\ 000\ \text{N}.$$

- Peso proprio del plinto ( $P_{plinto}$  - Condizione di carico -> Permanente):

$$P_{plinto} = B \cdot L \cdot H \cdot \gamma_c = 2,00\text{m} \cdot 2,00\text{m} \cdot 0,50\text{m} \cdot 25000\text{N/m}^3 = 50\ 000\ \text{N}.$$

- Forza in testa al pilastro ( $F_X$  - Condizione di carico -> Permanente):

$$F_X = 15000\text{N}.$$

In assenza di sisma, allo SLU, le combinazioni di carico, con relativi coefficienti di combinazione, sono:

Combinazione	Carico Permanente
1	1,30
2	1,00

La **COMBINAZIONE 1** (più gravosa) determina sull'impronta della fondazione le seguenti azioni (*Figura 2.5*):

$$N = (P_{pilastro} + P_{plinto}) \cdot 1,30 = (6000 + 50000)\text{N} \cdot 1,30 = 56000 \cdot 1,30 = 72\ 800\ \text{N};$$

$$H = F_X \cdot 1,30 = 15000\text{N} \cdot 1,30 = 19\ 500\ \text{N};$$

$$M = (F_X \cdot h) \cdot 1,30 = (15000\text{N} \cdot 1,50\text{m}) \cdot 1,30 = 29\ 250\ \text{Nm}.$$

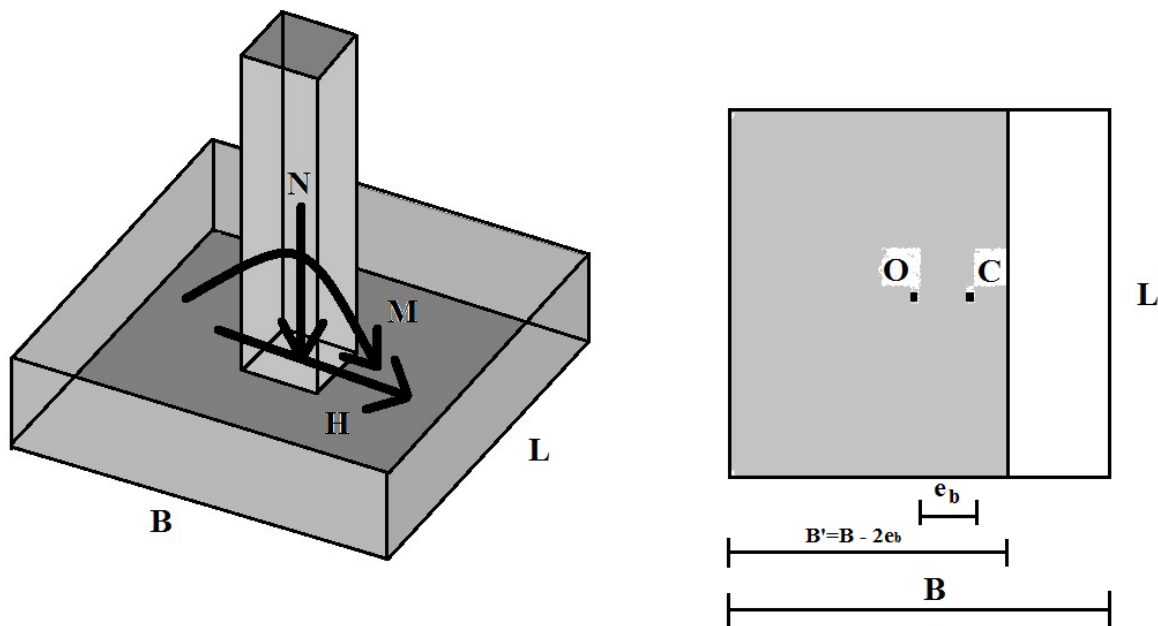


Figura 2.5: azioni sulla fondazione

Essendo la risultante dei carichi verticali eccentrica, il lato B sarà ridotto a:

$$B' = B - 2 \cdot e_b = 2,00\text{m} - 2 \cdot 0,40\text{m} = 1,20\ \text{m}.$$

dove:

$$e_b = \frac{M}{N} = \frac{29500\text{Nm}}{72800\text{N}} = 0,40\ \text{m} = \text{eccentricità dei carichi verticali}.$$

Quindi, la pressione sul terreno ( $E_d = Q_{Ed}$ ), corrispondente alla combinazione 1, vale:

$$Q_{Ed} = \frac{N}{B' \cdot L} = \frac{72800\text{N}}{1200\text{mm} \cdot 2000\text{mm}} = 0,030\ \text{N/mm}^2.$$

Tab. 2.4: riepilogo parametri per il calcolo di  $Q_{Ed}$  e confronto con Edilus

Calcolo Manuale						Edilus				
M	N	$e_b$	B	B'	L	$Q_{Ed}$	$N_q$	$N_c$	$N_\gamma$	
[Nm]	[N]	[mm]	[mm]	[mm]	[mm]	[N/mm <sup>2</sup> ]	Coef. Cor.			
29500	72800	400	2000	1200	2000	0,030	0,96	0,00	0,35	
							$N_{q,c,\gamma}$	23,18	35,49	30,21
							$Q_{Ed}$			0,030
							$Q_{d,Rd}$			0,136
							$R_f$			NO

### - Determinazione del Carico Limite ( $Q_{lim}$ ) -

In assenza di sisma, per la combinazione 1, il carico limite ( $Q_{lim}$ ) viene determinato con la seguente espressione:

$$Q_{lim} = c \cdot N_c \cdot s_c \cdot d_c \cdot i_c \cdot g_c \cdot b_c \cdot \Psi_c + q \cdot N_q \cdot s_q \cdot d_q \cdot i_q \cdot g_q \cdot b_q \cdot \Psi_q + \frac{1}{2} \cdot B' \cdot \gamma_{T2} \cdot N_\gamma \cdot s_\gamma \cdot d_\gamma \cdot i_\gamma \cdot g_\gamma \cdot b_\gamma \cdot \Psi_\gamma$$

dove (Figura 2.6):

$c$  = coesione del terreno al disotto del piano di posa della fondazione;

$q = \gamma_{T1} \cdot D$  = pressione geostatica in corrispondenza del piano di posa della fondazione;

$\gamma_{T1}$  = peso unità di volume del terreno al di sopra del piano di posa della fondazione;

$D$  = profondità del piano di posa della fondazione;

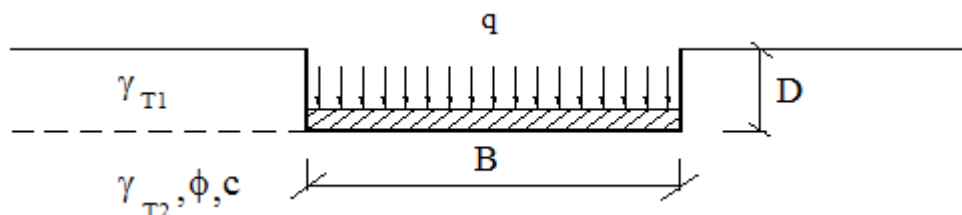
$B'$  = dimensione ridotta della fondazione per effetto dell'eccentricità dei carichi;

$L'$  = dimensione ridotta della fondazione per effetto dell'eccentricità dei carichi;

$\gamma_{T2}$  = peso unità di volume del terreno al disotto del piano di posa della fondazione;

$N_c, N_q, N_\gamma$  = fattori di capacità portante;

$s, d, i, g, b, \Psi$  = coefficienti correttivi ( $s$  -> forma;  $d$  -> profondità;  $i$  -> inclinazione;  $g$  -> inclinazione del piano di posa;  $b$  -> inclinazione del piano di campagna e  $\Psi$  -> per rottura a punzonamento).

Figura 2.6: individuazione parametri per il calcolo di  $Q_{lim}$ 

Nel caso in esame:

$$c = 0;$$

$$q = \gamma_{T1} \cdot D = 18000 \frac{N}{m^3} \cdot 0,50m = 9000 \text{ N/mm}^2 = 0,0090 \text{ N/mm}^2;$$

$$\gamma_{T1} = 18000 \text{ N/mm}^2;$$

$$D = 0,50 \text{ m.}$$

$$B' = 1,20 \text{ m};$$

$$L' = 2,00 \text{ m};$$

$$\gamma_{T2} = 18000 \text{ N/mm}^2;$$

$N_c, N_q, N_\gamma$  = da calcolare;

$s, d, i, g, b, \Psi$  = da calcolare.

### ▪ Calcolo dei fattori di capacità portante $N_c, N_q, N_\gamma$

I fattori di capacità portante, in condizioni DRENATE, si determinano dalle seguenti espressioni:

$$N_q = K_p \cdot e^{\pi \cdot \text{tg}(\phi)} = 3,25 \cdot e^{\pi \cdot \text{tg}(32)} = 23,18;$$

con:

$$k_p = \text{tg}^2 \left( 45 + \frac{\phi}{2} \right) = \text{tg}^2 \left( 45 + \frac{32}{2} \right) = \text{tg}^2(61) = 3,25;$$

$\phi$  = angolo di attrito del terreno al disotto del piano di posa della fondazione.

$$N_c = (N_q - 1) \cdot \text{ctg}(\phi) = (23,18 - 1) \cdot \text{ctg}(32) = 35,49;$$

$$N_\gamma = 2 \cdot (N_q + 1) \cdot \text{tg}(\phi) = 2 \cdot (23,18 + 1) \cdot \text{tg}(32) = 30,21.$$

Tab. 2.5: riepilogo parametri per il calcolo di  $N_q$ ,  $N_c$  ed  $N_\gamma$  e confronto con EdiLus

Calcolo Manuale					EdiLus			
$\phi$ [°]	$K_p$ [-]	$N_q$ [-]	$N_c$ [-]	$N_\gamma$ [-]	Coef. Cor.	$N_q$	$N_c$	$N_\gamma$
32	3,25	23,18	35,49	30,21	0,96	23,18	0,00	0,35
					<b><math>N_{q,c,\gamma}</math></b>	23,18	35,49	30,21

### a) Calcolo dei fattori di forma $s_{c_f}$ , $s_{q_f}$ , $s_\gamma$

I fattori di forma, per terreni INCOERENTI, si determinano dalle seguenti espressioni:

$$s_q = 1 + \frac{B'}{L'} \cdot \text{tg}(\phi) = 1 + \frac{1,20}{2,00} \cdot \text{tg}(32) = 1,374;$$

$$s_c = 1 + \frac{N_q}{N_c} \cdot \frac{B'}{L'} = 1 + \frac{23,18}{35,49} \cdot \frac{1,20}{2,00} = 1,391;$$

$$s_\gamma = 1 - 0,40 \cdot \frac{B'}{L'} = 1 - 0,40 \cdot \frac{1,20}{2,00} = 0,761.$$

Tab. 2.6: riepilogo parametri per il calcolo di  $s_q$ ,  $s_c$  ed  $s_\gamma$  e confronto con EdiLus

Calcolo Manuale								EdiLus
$B'$ [m]	$L'$ [m]	$\phi$ [°]	$N_q$ [-]	$N_c$ [-]	$s_q$ [-]	$s_c$ [-]	$s_\gamma$ [-]	In EdiLus viene riportato il prodotto tra tutti i coefficienti correttivi
1,20	2,00	32	23,18	35,49	1,374	1,391	0,761	

#### N.B. 2.1

Non essendoci eccentricità nella direzione di  $L \rightarrow L' = L = 2,00$  m.

### b) Calcolo dei fattori di profondità $d_{c_f}$ , $d_{q_f}$ , $d_\gamma$

Si definisce il parametro K dato da:

$$\text{se } \frac{D}{B'} \leq 1$$

$$K = \frac{D}{B'}$$

$$\text{se } \frac{D}{B'} > 1$$

$$K = \arctg\left(\frac{D}{B'}\right)$$

Nel caso in esame:

$$\frac{D}{B'} = \frac{0,50}{1,20} = 0,42 \leq 1 \quad \rightarrow \quad K = \frac{D}{B'} = \frac{0,50}{1,20} = \mathbf{0,42}.$$

I fattori di profondità, per terreni INCOERENTI, si determinano dalle seguenti espressioni:

$$d_q = 1 + 2 \cdot \text{tg}(\phi) \cdot (1 - \text{sen}\phi)^2 \cdot K = 1 + 2 \cdot \text{tg}(32) \cdot (1 - \text{sen}32)^2 \cdot 0,42 = 1,116;$$

$$d_c = d_q - \frac{1 - d_q}{N_c \cdot \text{tg}(\phi)} = 1,116 - \frac{1 - 1,116}{35,49 \cdot \text{tg}(32)} = 1,121;$$

$$d_\gamma = 1,000.$$

Tab. 2.7: riepilogo parametri per il calcolo di  $d_q$ ,  $d_c$  ed  $d_r$  e confronto con EdilLus

Calcolo Manuale									EdiLus	
D [m]	B' [m]	K [-]	$\phi$ [°]	$N_c$ [-]	$d_q$ [-]	$d_c$ [-]	$d_r$ [-]	In EdilLus viene riportato il prodotto tra tutti i coefficienti correttivi		
0,50	1,20	0,41	32	23,18	1,116	1,121	1,000			

### c) Calcolo dei fattori di inclinazione dei carichi $i_c$ , $i_q$ , $i_r$

E' possibile determinare i fattori di inclinazione dei carichi con le seguenti espressioni, valide per terreni INCOERENTI.

$$i_q = \left( 1 - \frac{H}{V + A_f \cdot c_a \cdot \text{ctg}(\phi)} \right)^m = \left( 1 - \frac{19500N}{72800N + 4 \cdot 10^6 \text{mm}^2 \cdot 0,00N/\text{mm}^2 \cdot \text{ctg}(32)} \right)^{1,50} = 0,626;$$

$$i_c = i_q - \frac{1 - i_q}{N_c \cdot \text{tg}(\phi)} = 0,626 - \frac{1 - 0,626}{35,49 \cdot \text{tg}(32)} = 0,609;$$

$$i_r = \left( 1 - \frac{H}{V + A_f \cdot c_a \cdot \text{ctg}(\phi)} \right)^{m+1} = \left( 1 - \frac{19500N}{72800N + 4 \cdot 10^6 \text{mm}^2 \cdot 0,00N/\text{mm}^2 \cdot \text{ctg}(32)} \right)^{2,50} = 0,459.$$

dove:

$$A_f = B \cdot L = 2,00 \text{ m} \times 2,00 \text{ m} = 4,00 \text{ m}^2 = 4\,000\,000 \text{ mm}^2;$$

H = componente orizzontale dei carichi agente sul piano di posa della fondazione (= H = 19500 N);

V = componente verticale dei carichi agente sul piano di posa della fondazione (= N = 72800 N);

$c_a$  = adesione lungo la base della fondazione ( $c_a \leq c$ , nel caso in esame  $c_a = c = 0$ );

m è dato da:

$$m = \frac{2 + \frac{B}{L}}{1 + \frac{B}{L}} = \frac{2 + \frac{2}{2}}{1 + \frac{2}{2}} = \frac{3}{2} = 1,50.$$

Tab. 2.8: riepilogo parametri per il calcolo di  $i_q$ ,  $i_c$  ed  $i_r$  e confronto con EdilLus

Calcolo Manuale										EdiLus		
B [m]	L [m]	m [-]	H [N]	V [N]	$A_f$ [mm <sup>2</sup> ]	$c_a$ [N/mm <sup>2</sup> ]	$\phi$ [°]	$N_c$ [-]	$i_q$ [-]	$i_c$ [-]	$i_r$ [-]	In EdilLus viene riportato il prodotto tra tutti i coefficienti correttivi
2,00	2,00	1,50	19500	72800	4x10 <sup>6</sup>	0,00	32	35,49	0,626	0,609	0,459	

### d) Calcolo dei fattori di inclinazione del piano di posa $g_c$ , $g_q$ , $g_r$

Avendo assunto il piano di posa orizzontale tali coefficienti sono unitari.

$$g_c = g_q = g_r = 1.$$

### e) Calcolo dei fattori di inclinazione del piano di campagna $b_c$ , $b_q$ , $b_r$

Avendo assunto il piano di campagna orizzontale tali coefficienti sono unitari.

$$b_c = b_q = b_r = 1.$$

### f) Calcolo dei fattori di riduzione per rottura a punzonamento $\Psi_c$ , $\Psi_q$ , $\Psi_r$

Si definisce indice di rigidezza del terreno la quantità:

$$I_r = \frac{G}{c + \sigma \cdot \text{tg}(\phi)}$$

dove:

G = modulo di elasticità tangenziale del terreno dato dalla seguente relazione;

$$G = \frac{E}{2 \cdot (1 + \nu)} = \frac{8}{2 \cdot (1 + 0,5)} = 2,67 \text{ N/mm}^2;$$

con:

$E$  = modulo elastico del terreno (*nei calcoli è stato utilizzato il modulo edometrico  $E_d = 8 \text{ N/mm}^2$* );  
 $\nu$  = modulo di Poisson (*assunto pari a 0,5*).

$c$  = coesione del terreno al disotto del piano di posa della fondazione;

$\sigma$  = tensione litostatica alla profondità  $D+B'/2$ :

$$\sigma = \gamma_{T1} \cdot D + \gamma_{T2} \cdot \frac{B'}{2} = 18000 \frac{\text{N}}{\text{m}^3} \cdot 0,50\text{m} + 18000 \frac{\text{N}}{\text{m}^3} \cdot \frac{1,20\text{m}}{2} = 18000\text{N/m}^3 \cdot (0,50 + 0,60)\text{m} = 0,0197 \text{ N/mm}^2;$$

con:

$\gamma_{T1}$  = peso unità di volume del terreno al di sopra del piano di posa della fondazione ( $18000 \text{ N/m}^3$ );

$D$  = profondità del piano di posa della fondazione ( $0,50 \text{ m}$ );

$\gamma_{T2}$  = peso unità di volume del terreno al disotto del piano di posa della fondazione ( $18000 \text{ N/m}^3$ );

$B'$  = dimensione ridotta della fondazione per effetto dell'eccentricità dei carichi ( $1,20 \text{ m}$ ).

Quindi, nel caso in esame:

$$I_r = \frac{G}{c + \sigma \cdot \text{tg}(\phi)} = \frac{2,67\text{N/mm}^2}{0 + 0,0197\text{N/mm}^2 \cdot \text{tg}(32)} = 215,8.$$

La rottura per punzonamento si verifica quando l'indice di rigidezza  $I_r$  si mantiene inferiore al valore critico  $I_{r,crit}$ :

$$I_{r,crit} = \frac{1}{2} \cdot e^{\left[ \left( 3,3 - 0,45 \frac{B'}{L'} \right) \cdot \text{ctg} \left( \frac{\pi \cdot \phi}{4} \right) \right]} = \frac{1}{2} \cdot e^{\left[ \left( 3,3 - 0,45 \frac{1,20}{2,00} \right) \cdot \text{ctg} \left( \frac{\pi \cdot 32}{4} \right) \right]} = 118,29.$$

Nel caso in esame è  $I_r = 215,8 > I_{r,crit} = 118,29$ , per cui i fattori di punzonamento sono unitari:

$$\Psi_c = \Psi_q = \Psi_\gamma = 1.$$

### ▪ Riepilogo finale fattori di riduzione e confronto con EdiLus

Poiché in EdiLus per  $N_q$ ,  $N_c$  ed  $N_\gamma$  viene riportato il prodotto dei vari coefficienti correttivi, nella Tab. 2.9 si riporta il prodotto tra i vari coefficienti del calcolo manuale ed il relativo prodotto riportato da EdiLus.

Tab. 2.9: riepilogo fattori di riduzione (*con relativo prodotto*) e confronto con EdiLus

	Calcolo Manuale							EdiLus			
	s	d	i	g	b	$\Psi$	Prodotto		$N_q$	$N_c$	$N_\gamma$
	[-]	[-]	[-]	[-]	[-]	[-]	[-]				
<b>x <math>N_q</math></b>	1,374	1,116	0,626	1,000	1,000	1,000	<b>0,959</b>	<b>Coef. Cor.</b>	0,96	0,00	0,35
<b>x <math>N_c</math></b>	1,391	1,121	0,609	1,000	1,000	1,000	<b>0,949</b> (N.B. 2.2)	$N_{q,c,\gamma}$	23,18	35,49	30,21
<b>x <math>N_\gamma</math></b>	0,761	1,000	0,459	1,000	1,000	1,000	<b>0,350</b>	$Q_{Ed}$			0,030
								$Q_{d,Rd}$			0,136

#### **N.B. 2.2**

In EdiLus il prodotto dei coefficienti di riduzione per " $N_c$ " viene posto pari a zero quando la coesione è nulla ( $c = 0$ ).

### ▪ Determinazione del carico limite ( $Q_{lim}$ )

Sostituendo tutti i coefficienti calcolati nell'espressione generale trinomia si ottiene:

$$Q_{lim} = 0 + 0,009 \frac{N}{mm^2} \cdot 23,18 \cdot 1,374 \cdot 1,116 \cdot 0,626 \cdot 1,000 \cdot 1,000 \cdot 1,000 + \\ + \frac{1}{2} \cdot 1200mm \cdot 18000 \cdot 10^{-6} \frac{N}{mm^3} \cdot 30,21 \cdot 0,761 \cdot 1,000 \cdot 0,459 \cdot 1,000 \cdot 1,000 \cdot 1,000 = 0,314 \text{ N/mm}^2.$$

Il primo termine della formula trinomia è nullo in quanto si è assunto  $c = 0$ .

Tab. 2.10: riepilogo dati dei termini (*I, II e III*) della formula trinomia per il calcolo di  $Q_{lim}$

(*)	N [-]	s [-]	d [-]	i [-]	g [-]	b [-]	$\Psi$ [-]	c [N/mm <sup>2</sup> ]	q [N/mm <sup>2</sup> ]	B/2 [mm]	$\gamma_{T2}$ [N/mm <sup>3</sup> ]	$Q_i$ [N/mm <sup>2</sup> ]
<b>I</b>	35,49	1,391	1,121	0,609	1,000	1,000	1,000	0	-	-	-	0,000
<b>II</b>	23,18	1,374	1,116	0,626	1,000	1,000	1,000	-	0,009	-	-	0,200
<b>III</b>	30,21	0,761	1,000	0,459	1,000	1,000	1,000	-	-	600	0,000018	0,114
											<b><math>Q_{lim}</math></b>	<b>0,314</b>

(\*) Termini della formula trinomia utilizzata per il calcolo del  $Q_{lim}$

### - Determinazione della Resistenza di Progetto ( $R_d = Q_{Rd}$ ) -

La resistenza di progetto si ricava dividendo il  $Q_{lim}$  per il coefficiente parziale  $\gamma_R$  relativo alla capacità portante del complesso fondazione terreno.

Operando con l'**Approccio 2** ->  $\gamma_R = 2,3$ , pertanto:

$$Q_{Rd} = \frac{Q_{lim}}{2,3} = \frac{0,314 \text{ N/mm}^2}{2,3} = 0,136 \text{ N/mm}^2.$$

Tab. 2.11: Riepilogo parametri per il calcolo di  $Q_{Rd}$  e confronto con EdILus

Calcolo Manuale			EdiLus			
$Q_{lim}$ [N/mm <sup>2</sup> ]	$\gamma_R$ [-]	$Q_{Rd}$ [N/mm <sup>2</sup> ]	$N_q$	$N_c$	$N_\gamma$	
0,314	2,3	<b>0,136</b>	0,96	0,00	0,35	
			<b><math>N_{q,c,\gamma}</math></b>	23,18	35,49	30,21
			<b><math>Q_{Ed}</math></b>	0,030		
			<b><math>Q_{Rd}</math></b>	<b>0,136</b>		

### - Verifica di sicurezza -

Per la **combinazione 1** risulta il seguente coefficiente di sicurezza:

$$CS = \frac{Q_{d,Rd}}{Q_{Ed}} = \frac{0,136 \text{ N/mm}^2}{0,030 \text{ N/mm}^2} = 4,50.$$

Tab. 2.12: riepilogo parametri per il calcolo del CS per la combinazione 1 e confronto con EdILus

Calcolo Manuale			EdiLus			
$Q_{Rd}$ [N/mm <sup>2</sup> ]	$Q_{Ed}$ [N/mm <sup>2</sup> ]	CS [-]	Plinto 1 Fondazione			
0,136	0,030	<b>4,50</b>	<b>CS</b>	<b>4,48</b>		
				X	Y	
			<b>Dim.</b>	2,00	2,00	
			<b>Rtz</b>	0,00		
			<b><math>Z_{p,cmp}</math></b>	0,50		
			<b><math>Z_{fid}</math></b>	-		
			<b><math>C_{mpT}</math></b>	NON Coesivo		
				$N_q$	$N_c$	$N_\gamma$
			<b>Coef. Cor.</b>	0,96	0,00	0,35
			<b><math>N_{q,c,\gamma}</math></b>	23,18	35,49	30,21
			<b><math>Q_{Ed}</math></b>	0,030		
			<b><math>Q_{Rd}</math></b>	<b>0,136</b>		

**N.B. 2.3**

La **COMBINAZIONE 2** determina le seguenti azioni:

$$N = (P_{\text{pilastro}} + P_{\text{plinto}}) \cdot 1,00 = (6000 + 50000) \text{ N} \cdot 1,00 = 56000 \cdot 1,00 = 56\ 000 \text{ N};$$

$$H = F_X \cdot 1,00 = 15000 \text{ N} \cdot 1,00 = 15\ 000 \text{ N};$$

$$M = (F_X \cdot h) \cdot 1,00 = (15000 \text{ N} \cdot 1,50 \text{ m}) \cdot 1,00 = 22\ 500 \text{ Nm}.$$

L'eccentricità dei carichi verticali rimane invariata, infatti:

$$e_b = \frac{M}{N} = \frac{22500 \text{ Nm}}{56000} = 0,40 \text{ m}.$$

Quindi, anche il lato B ridotto sarà ancora pari a:

$$B' = B - 2 \cdot e_b = 2,00 \text{ m} - 2 \cdot 0,40 \text{ m} = 1,20 \text{ m}.$$

Pertanto, la pressione sul terreno ( $E_d = Q_{Ed}$ ), corrispondente alla combinazione 2, vale:

$$Q_{Ed} = \frac{N}{B' \cdot L} = \frac{56000 \text{ N}}{1200 \text{ mm} \cdot 2000 \text{ mm}} = 0,023 \text{ N/mm}^2.$$

Essendo invariato il  $Q_{lim}$  (anche  $Q_{Rd}$ ), il coefficiente di sicurezza relativo alla **COMBINAZIONE 2** vale:

$$CS = \frac{Q_{Rd}}{Q_{Ed}} = \frac{0,136 \text{ N/mm}^2}{0,023 \text{ N/mm}^2} = 5,91.$$

Quindi, la **COMBINAZIONE 1** è quella più gravosa.

## Esempio 2 (Con Falda; Terreno -> Incoerente; Calcolo $Q_{lim}$ -> Drenate)

Il file di EdilLus (CA) è: **CA\_Validazione\_QLimite\_02.EDL**.

A partire dagli stessi dati dell'esempio precedente si verifica il carico limite in presenza di falda con pelo libero compreso fra il piano campagna ed il piano di posa della fondazione (Figura 2.9).

### - Terreno (Figura 2.7) -

- Vedi Esempio 1.

### - "Settaggi" per il calcolo del "Carico Limite" (Figura 2.8) -

- Profondità rispetto al piano di campagna (*profondità del piano di posa - D*): **0,50 m**.
- Presenza della falda: **SI**.
- Comportamento del Terreno: **Incoerente**.
- Condizioni di calcolo del Carico Limite: **Drenate**.

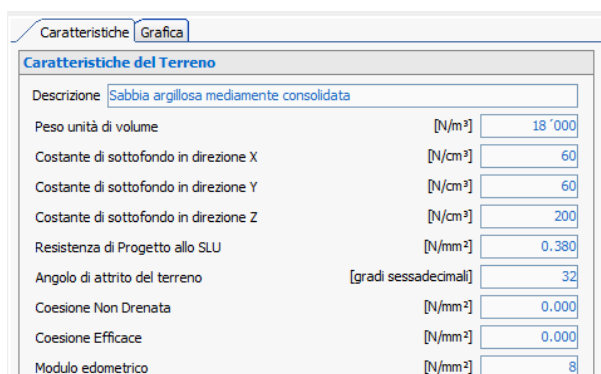


Figura 2.7: caratteristiche Terreno

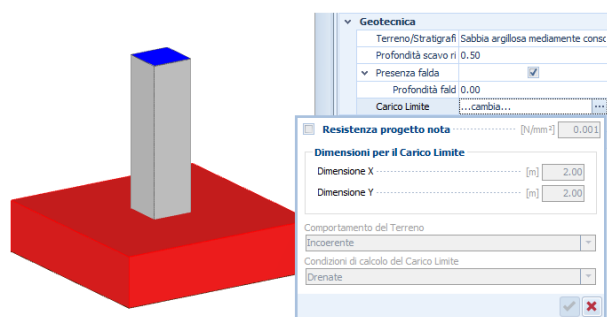


Figura 2.8: settaggio per calcolo "Carico Limite"

### - Determinazione delle Azioni ( $E_d = Q_{Ed}$ ) -

Per quanto esposto nell'esempio 1 si ha che la pressione sul terreno ( $E_d = Q_{Ed}$ ), corrispondente alla combinazione 1, vale:

$$Q_{Ed} = \frac{N}{B \cdot L} = \frac{72800N}{1200mm \cdot 2000mm} = 0,030 \text{ N/mm}^2.$$

Tab. 2.13: riepilogo parametri per il calcolo di  $Q_{Ed}$  e confronto con EdilLus

Calcolo Manuale							EdiLus			
M	N	e <sub>b</sub>	B	B'	L	$Q_{Ed}$		$N_q$	$N_c$	$N_\gamma$
[Nm]	[N]	[mm]	[mm]	[mm]	[mm]	[N/mm <sup>2</sup> ]	Coef. Cor.			
29500	72800	400	2000	1200	2000	0,030		0,96	0,00	0,35
							$N_{q,c,\gamma}$	23,18	35,49	30,21
							$Q_{Ed}$			0,030
							$Q_{d,Rd}$			0,063

### - Determinazione del Carico Limite ( $Q_{lim}$ ) -

L'espressione generale del carico limite, valutato in termini di tensioni effettive, è:

$$Q_{lim} = c' \cdot N_c \cdot s_c \cdot d_c \cdot i_c \cdot g_c \cdot b_c \cdot \Psi_c + q \cdot N_q \cdot s_q \cdot d_q \cdot i_q \cdot g_q \cdot b_q \cdot \Psi_q + \frac{1}{2} \cdot B' \cdot \gamma'_{T2} \cdot N_\gamma \cdot s_\gamma \cdot d_\gamma \cdot i_\gamma \cdot g_\gamma \cdot b_\gamma \cdot \Psi_\gamma + \gamma_{H2O} \cdot a$$

dove (Figura 2.9):

$c'$  = coesione efficace del terreno al disotto del piano di posa della fondazione;

$q = \gamma_{T1} \cdot D_f + \gamma'_{T1} \cdot a$  = pressione geostatica in corrispondenza del piano di posa della fondazione;

$\gamma_{T1}$  = peso unità di volume del terreno al di sopra del piano di posa della fondazione;

$D_f$  = profondità del pelo libero della falda dal piano campagna;

$\gamma'_{T1}$  = peso unità di volume, in termini di tensioni effettive ( $\gamma_{T1} - 10000 \text{ N/m}^3$ ), del terreno al di sopra del piano di posa della fondazione;

$a = D - D_f$ , con  $D$  = profondità del piano di posa della fondazione;

$B'$  = dimensione ridotta della fondazione per effetto dell'eccentricità dei carichi;

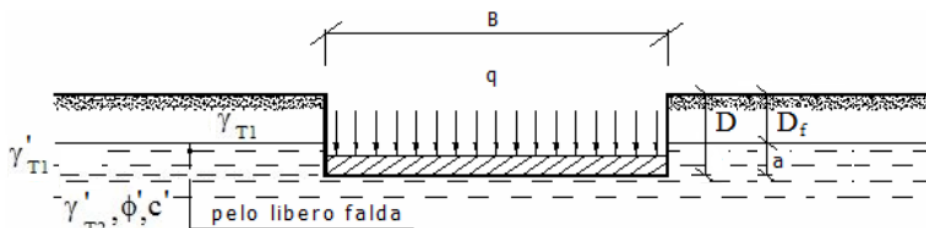
$L'$  = dimensione ridotta della fondazione per effetto dell'eccentricità dei carichi;

$\gamma'_{T2}$  = peso unità di volume, in termini di tensioni effettive ( $\gamma_{T2} - 10000 \text{ N/m}^3$ ), del terreno al disotto del piano di posa della fondazione;

$\gamma_{H2O}$  = peso unità di volume dell'acqua;

$N_c, N_q, N_\gamma$  = fattori di capacità portante;

$s, d, i, g, b, \Psi$  = coefficienti correttivi ( $s$  -> forma;  $d$  -> profondità;  $i$  -> inclinazione;  $g$  -> inclinazione del piano di posa;  $b$  -> inclinazione del piano di campagna e  $\Psi$  -> per rottura a punzonamento).

Figura 2.9: individuazione parametri per il calcolo di  $Q_{lim}$ 

Nel caso in esame:

$$c' = 0;$$

$$q = \gamma_{T1} \cdot D_f + \gamma'_{T1} \cdot a = 18000 \frac{\text{N}}{\text{m}^3} \cdot 0,00\text{m} + 8000 \frac{\text{N}}{\text{m}^3} \cdot 0,50\text{m} = 4000 \text{ N/m}^2 = 0,0040 \text{ N/mm}^2;$$

$$\gamma_{T1} = 18000 \text{ N/mm}^2;$$

$D_f = 0$  (pelo libero della falda coincidente con il piano di campagna);

$$\gamma'_{T1} = (18000 - 10000) \text{ N/m}^3 = 8000 \text{ N/m}^3;$$

$$a = D - D_f = 0,50 - 0 = 0,50 \text{ m};$$

$$B' = 1,20 \text{ m};$$

$$L' = 2,00 \text{ m};$$

$$\gamma'_{T2} = (18000 - 10000) \text{ N/m}^3 = 8000 \text{ N/m}^3;$$

$$\gamma_{H2O} = 10000 \text{ N/m}^3;$$

$N_c, N_q, N_\gamma$  = da calcolare;

$s, d, i, g, b, \Psi =$  da calcolare.

▪ **Calcolo dei fattori di capacità portante  $N_c, N_q, N_\gamma$**

Vedi Esempio 1.

**a) Calcolo dei fattori di forma  $s_{c_f}, s_{q_f}, s_{\gamma_f}$**

Vedi Esempio 1.

**b) Calcolo dei fattori di profondità  $d_{c_f}, d_{q_f}, d_{\gamma_f}$**

Vedi Esempio 1.

**c) Calcolo dei fattori di inclinazione dei carichi  $i_{c_f}, i_{q_f}, i_{\gamma_f}$**

Vedi Esempio 1.

**d) Calcolo dei fattori di inclinazione del piano di posa  $g_{c_f}, g_{q_f}, g_{\gamma_f}$**

Vedi Esempio 1.

**e) Calcolo dei fattori di inclinazione del piano di campagna  $b_{c_f}, b_{q_f}, b_{\gamma_f}$**

Vedi Esempio 1.

**f) Calcolo dei fattori di riduzione per rottura a punzonamento  $\Psi_{c_f}, \Psi_{q_f}, \Psi_{\gamma_f}$**

Vedi Esempio 1.

▪ **Riepilogo finale fattori di riduzione e confronto con EdiLus**

Tab. 2.14: riepilogo fattori di riduzione (*con relativo prodotto*) e confronto con EdiLus

	Calcolo Manuale							EdiLus			
	s	d	i	g	b	$\Psi$	Prodotto		$N_q$	$N_c$	$N_\gamma$
	[-]	[-]	[-]	[-]	[-]	[-]	[-]				
<b>x <math>N_q</math></b>	1,374	1,116	0,626	1,000	1,000	1,000	<b>0,959</b>	<b>Coef. Cor.</b>	0,96	0,00	0,35
<b>x <math>N_c</math></b>	1,391	1,121	0,609	1,000	1,000	1,000	<b>0,949</b> (N.B. 2.2)	<b><math>N_{q,c,\gamma}</math></b>	23,18	35,49	30,21
<b>x <math>N_\gamma</math></b>	0,761	1,000	0,459	1,000	1,000	1,000	<b>0,350</b>	<b><math>Q_{Ed}</math></b>			0,030
								<b><math>Q_{d,Rd}</math></b>			0,063

▪ **Determinazione del carico limite ( $Q_{lim}$ )**

Sostituendo tutti i coefficienti calcolati nell'espressione generale trinomia si ottiene:

$$\begin{aligned}
 Q_{lim} = & 0 + 0,004 \frac{N}{mm^2} \cdot 23,18 \cdot 1,374 \cdot 1,116 \cdot 0,626 \cdot 1,000 \cdot 1,000 \cdot 1,000 + \\
 & + \frac{1}{2} \cdot 1200mm \cdot 8000 \cdot 10^{-9} \frac{N}{mm^3} \cdot 30,21 \cdot 0,761 \cdot 1,000 \cdot 0,459 \cdot 1,000 \cdot 1,000 \cdot 1,000 + \\
 & + 10000 \cdot 10^{-9} \frac{N}{mm^3} \cdot 500mm = 0,145 N/mm^2.
 \end{aligned}$$

Il primo termine della formula trinomia è nullo in quanto si è assunto  $c' = 0$ .

Tab. 2.15: riepilogo dati dei termini (*I, II, III e IV*) della formula trinomia per il calcolo di  $Q_{lim}$ 

(*)	N [-]	s [-]	d [-]	i [-]	g [-]	b [-]	$\Psi$ [-]	c' [N/mm <sup>2</sup> ]	q [N/mm <sup>2</sup> ]	B/2 [mm]	$\gamma_{T2}$ [N/mm <sup>3</sup> ]	$\gamma_{H2O}$ [N/mm <sup>3</sup> ]	a [mm]	$Q_i$ [N/mm <sup>2</sup> ]	
<b>I</b>	35,49	1,391	1,121	0,609	1,000	1,000	1,000	0	-	-	-	-	-	0,000	
<b>II</b>	23,18	1,374	1,116	0,626	1,000	1,000	1,000	-	0,004	-	-	-	-	0,089	
<b>III</b>	30,21	0,761	1,000	0,459	1,000	1,000	1,000	-	-	600	0,000008	-	-	0,051	
<b>IV</b>	-	-	-	-	-	-	-	-	-	-	-	0,00001	500	0,005	
														<b><math>Q_{lim}</math></b>	<b>0,145</b>

(\*) Termini della formula trinomia utilizzata per il calcolo del  $Q_{lim}$ 

### - Determinazione della Resistenza di Progetto ( $R_d = Q_{Rd}$ ) -

La resistenza di progetto si ricava dividendo il  $Q_{lim}$  per il coefficiente parziale  $\gamma_R$  relativo alla capacità portante del complesso fondazione terreno.

Operando con l'**Approccio 2** ->  $\gamma_R = 2,3$ , pertanto:

$$Q_{Rd} = \frac{Q_{lim}}{2,3} = \frac{0,145 \text{ N/mm}^2}{2,3} = 0,063 \text{ N/mm}^2.$$

Tab. 2.16: riepilogo parametri per il calcolo di  $Q_{d,Rd}$  e confronto con EdiLus

Calcolo Manuale			EdiLus		
$Q_{lim}$ [N/mm <sup>2</sup> ]	$\gamma_R$ [-]	$Q_{Rd}$ [N/mm <sup>2</sup> ]	$N_q$	$N_c$	$N_\gamma$
0,145	2,3	<b>0,063</b>	0,96	0,00	0,35
			<b>Coef. Cor.</b>		
			$N_{q,c,\gamma}$		
			23,18	35,49	30,21
			<b><math>Q_{Ed}</math></b>		0,030
			<b><math>Q_{Rd}</math></b>		<b>0,063</b>

### - Verifica di sicurezza -

Per la **combinazione 1** risulta il seguente coefficiente di sicurezza:

$$CS = \frac{Q_{Rd}}{Q_{Ed}} = \frac{0,063 \text{ N/mm}^2}{0,030 \text{ N/mm}^2} = 2,06.$$

Tab. 2.17: riepilogo parametri per il calcolo del CS per la combinazione 1 e confronto con EdiLus

Calcolo Manuale			EdiLus		
$Q_{Rd}$ [N/mm <sup>2</sup> ]	$Q_{Ed}$ [N/mm <sup>2</sup> ]	<b>CS</b> [-]	Plinto 1 Fondazione		
0,063	0,030	<b>2,06</b>	<b>CS</b>		
				X	Y
			<b>Dim.</b>	2,00	2,00
			<b>Rtz</b>		0,00
			<b>Z<sub>p,cmp</sub></b>		0,50
			<b>Z<sub>Fld</sub></b>		-
			<b>C<sub>mpT</sub></b>	NON Coesivo	
				$N_q$	$N_c$
			<b>Coef. Cor.</b>	0,96	0,00
			$N_{q,c,\gamma}$	23,18	35,49
			<b><math>Q_{Ed}</math></b>		0,030
			<b><math>Q_{Rd}</math></b>		<b>0,063</b>

### 3 (GEO) - Test di Validazione n.03 (Spinta Terreno)

Titolo: **Spinta del terreno statica/sismica.**

Il file di EdiLus (CA) è: **GEO\_Spinta\_Terreno.EDL.**

#### Dati Generali

##### - Parete - (Figura 3.1)

- Lunghezza (B) = 5,00 m.
- Spessore (t) = 0,30 m.
- Altezza (H) = 3,00 m.

##### - Terreno - (Figura 3.2)

- Descrizione "Sabbia argillosa mediamente consolidata".
- Peso specifico ( $\gamma_T$ ) = 18 000 N/m<sup>3</sup>.
- Angolo di attrito ( $\phi$ ) = 32°.
- Coesione Non drenata ( $c_u$ ) = 0 N/mm<sup>2</sup>.
- Coesione Efficace ( $c'$ ) = 0,003 N/mm<sup>2</sup> = 3 000 N/m<sup>2</sup>.
- Modulo Edometrico ( $E_d$ ) = 60 N/mm<sup>2</sup>.
- Sovraccarico (Q) = 25 000 N/m<sup>2</sup>.

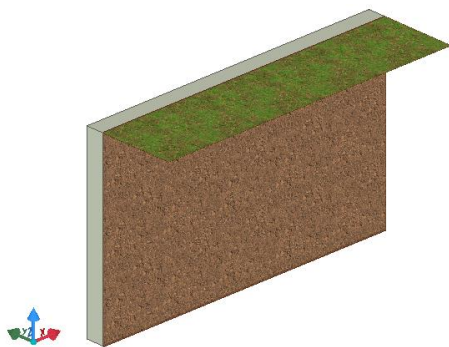


Figura 3.1: parete con spinta del terreno - vista "Editor 3D"

Caratteristiche del Terreno	
Descrizione	T1-Sabbia argillosa mediamente consolidata
Peso unità di volume	[N/m <sup>3</sup> ] 18'000
Costante di sottofondo in direzione X	[N/cm <sup>2</sup> ] 60
Costante di sottofondo in direzione Y	[N/cm <sup>2</sup> ] 60
Costante di sottofondo in direzione Z	[N/cm <sup>2</sup> ] 200
Resistenza di Progetto allo SLU	[N/mm <sup>2</sup> ] 0.380
Angolo di attrito del terreno	[gradi sessadecimali] 32
Coesione Non Drenata	[N/mm <sup>2</sup> ] 0.000
Coesione Efficace	[N/mm <sup>2</sup> ] 0.003
Modulo edometrico	[N/mm <sup>2</sup> ] 60

Figura 3.2: caratteristiche Terreno a tergo della parete

##### - Sovraccarico (Q) -

A tergo del muro si ipotizza la presenza di un sovraccarico (Q) di 25 000 N/m<sup>2</sup>.

##### - Parametri Sismici -

Il calcolo è stato svolto con le NTC 2018 in analisi "Dinamica solo orizzontale" utilizzando i seguenti parametri:

Tab. 3.1: parametri Edificio

Classe	Vita Nominale	Periodo di Riferimento	Tipo Terreno
[-]	[anni]	[anni]	[-]
2	50	50	C

Tab. 3.2: coordinate Geografiche (datum ED50)

Provincia	Comune	Latitudine	Longitudine	Altitudine
Avellino	Avellino	14.7925	40.9155555555556	348

Tab. 3.3: parametri Sismici

Stato Limite	T <sub>r</sub>	a <sub>g</sub> /g	F <sub>0</sub>	T <sub>c</sub> *	S <sub>s</sub>	C <sub>c</sub>	S <sub>T</sub>	ξ	η
	[anni]	[-]	[-]	[s]	[-]	[-]			
Stato Limite Operatività	30	0,0528	2,344	0,280	1,500	1,602	1,00	5,00	1,00
Stato Limite Danno	50	0,0694	2,321	0,309	1,500	1,551			
Stato Limite Salvaguardia Vita	475	0,1934	2,372	0,402	1,425	1,465			
Stato Limite Prevenzione Collasso	975	0,2495	2,432	0,423	1,336	1,452			

Legenda:

$T_r$ : periodo di ritorno dell'azione sismica;	$S_s$ : coefficiente di amplificazione stratigrafica;
$a_g/g$ : accelerazione orizzontale massima del terreno;	$C_c$ : coefficiente di amplificazione di $T_c$ ;
$F_0$ : valore massimo del fattore di amplificazione dello spettro in accelerazione orizzontale;	$S_T$ : coefficiente di amplificazione topografica;
$T_c^*$ : periodo di ritorno del tratto a velocità costante dello spettro in accelerazione orizzontale;	$\xi$ : coefficiente viscoso equivalente;
	$\eta$ : fattore che altera lo spettro elastico per coefficienti di smorzamento viscosi convenzionali $\xi$ diversi dal 5%.

## Spinta Terreno in assenza di sisma (Statica)

La spinta del terreno in assenza di sisma (statica) nel caso più generale possibile è data da:

$$\sigma_t(z) = \sigma_{t,T}(z) \pm \sigma_{t,C}(z) + \sigma_{t,Q}(z);$$

dove:

$\sigma_{t,T}(z)$  = spinta statica del terreno;  
 $\sigma_{t,C}(z)$  = spinta dovuta alla coesione efficace;  
 $\sigma_{t,Q}(z)$  = spinta dovuta al sovraccarico a tergo del muro;

in EdiLus la somma di tali contributi rappresenta la "**Spinta Terreno (statica)**"

### - Contributo Terreno ( $\sigma_{t,T}$ ) -

La spinta statica del terreno è data dalla relazione:

$$\sigma_{t,T}(z) = K \cdot \gamma_{\text{terreno}} \cdot Z;$$

dove:

$\gamma_{\text{terreno}}$  = peso specifico del terreno a monte del muro;  
 $Z$  = profondità del terreno misurata a partire dalla testa del muro;  
 $K$  = coefficiente di spinta, dato dalle seguenti relazioni:

$$K_a = \tan^2\left(\frac{90 - \phi}{2}\right) \Rightarrow \text{coefficiente di spinta } \textit{attiva} \quad [1]$$

$$K_0 = 1 - \text{sen}\phi \Rightarrow \text{coefficiente di spinta a } \textit{riposo} \quad [2]$$

$$K_p = \tan^2\left(\frac{90 + \phi}{2}\right) \Rightarrow \text{coefficiente di spinta } \textit{passiva} \quad [3]$$

$$K_{\text{utente}} \Rightarrow \text{coefficiente di spinta stabilito dall' } \textit{utente}$$

con:

$\phi$  = angolo d'attrito del terreno.

Nel programma la parete su cui agisce la spinta presenta le seguenti caratteristiche:

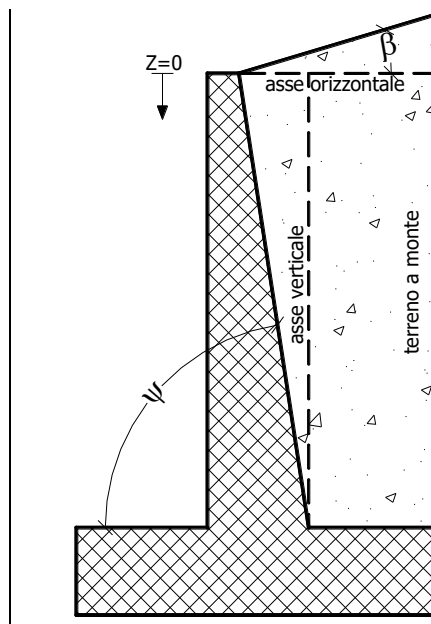
- angolo  $\psi$  pari a  $90^\circ$  (parete verticale);
- terreno a monte schematizzato con un angolo  $\beta$  pari a  $0^\circ$  (terreno orizzontale).

Pertanto rientriamo nelle ipotesi per l'utilizzo delle formule [1], [2] e [3].

La spinta calcolata da EdiLus è una spinta a "*gradini*" (simulazione dell'andamento reale triangolare), rappresentata da un carico uniformemente distribuito sulla superficie ( $N/m^2$ ) della singola "*HPSHELL*", in cui la parete è stata schematizzata.

In particolare, la spinta sulla singola "*HPSHELL*" viene calcolata come media delle tensioni presenti nei tre nodi (Figura 3.4 e Figura 3.5):

$$\sigma_i = \frac{1}{3} \cdot \sum_{k=1}^3 \sigma_{i,k}(z)$$



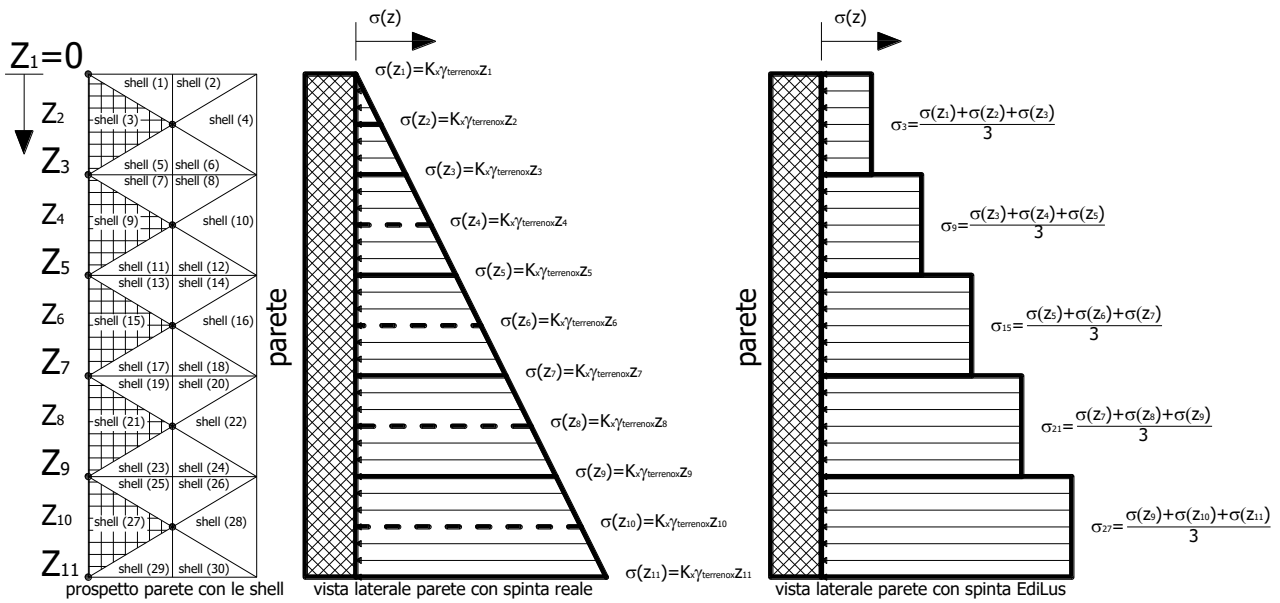


Figura 3.4: spinta del terreno "reale" e come schematizzata in EdILus

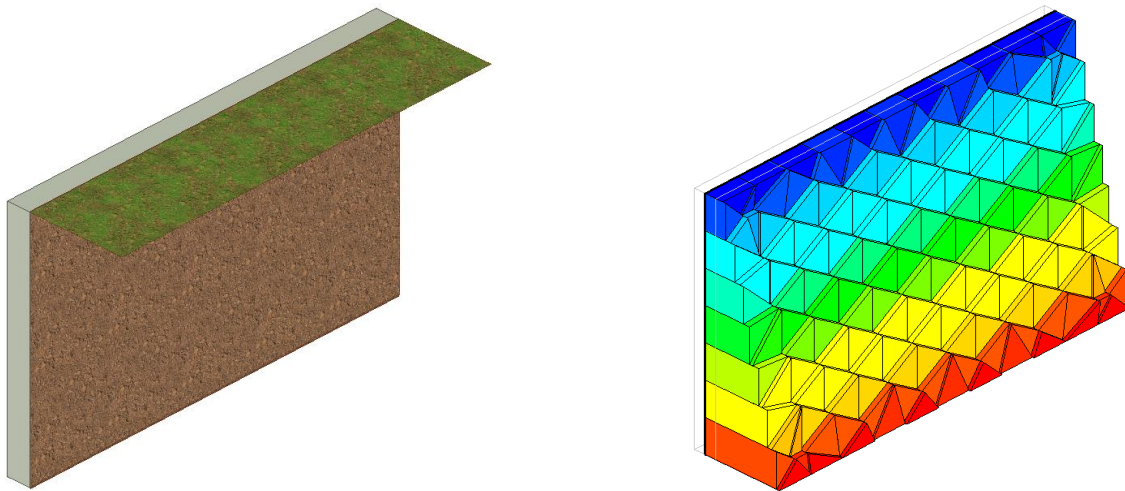


Figura 3.5: spinta del terreno in EdILus

### - Contributo Coesione ( $\sigma_{t,c}$ ) -

Tale azione è rappresentata da un'azione costante su tutta l'altezza della parete e di segno opposto alla spinta statica (la spinta statica del terreno *attiva* e a *riposo* si riduce in seguito all'azione di "*autosostentamento*" che la coesione genera - *N.B. 3.1*), data dalla seguente relazione:

$$\sigma_{t,c} = 2 \cdot c \cdot \sqrt{K}$$

Con:

$c = c'$  = coesione efficace del terreno a tergo della parete;

$K = K_a, K_0, K_p$  o  $K_{utente}$ .

Nel caso di spinta *attiva* e a *riposo*, si ottiene una spinta (triangolare - Figura 3.6) ridotta, rispetto al caso in cui  $c = 0$ , con vertice alto del triangolo posizionato ad una distanza  $Z^*$  (dalla testa delle parete) data dalla relazione:

$$Z^* = \frac{2 \cdot c \cdot \sqrt{K}}{\gamma_{\text{terreno}}}$$

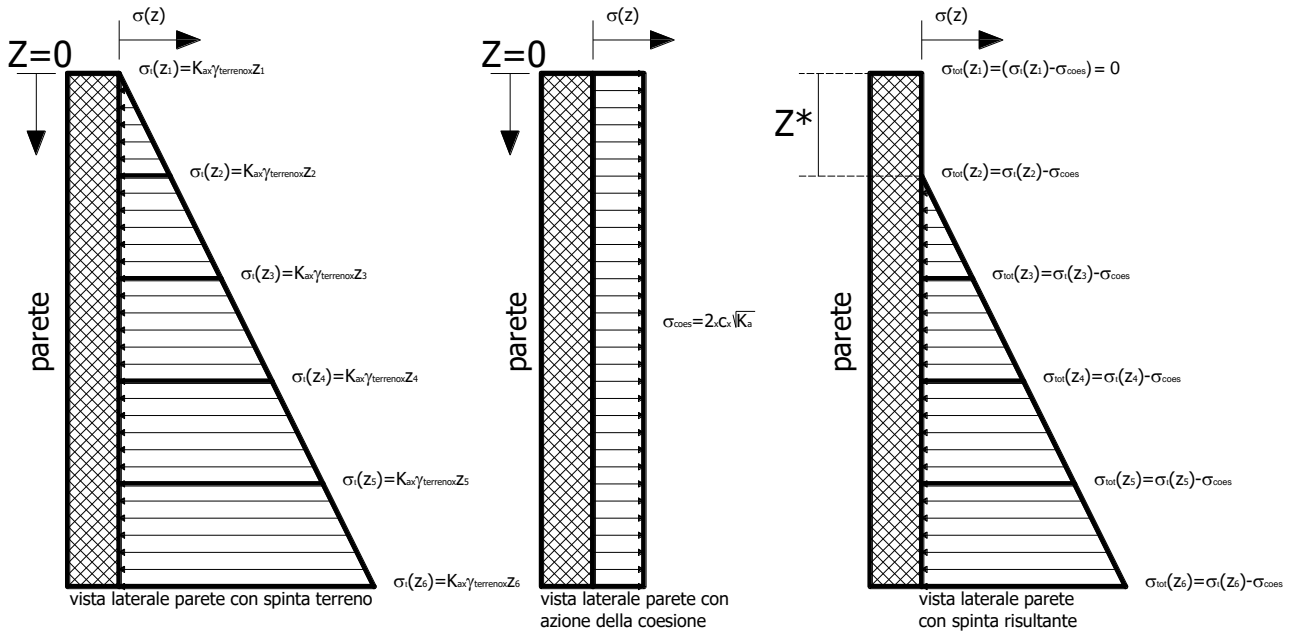


Figura 3.6: spinta (attiva/riposo) con coesione

É chiaro che se l'altezza della parete è inferiore a  $Z^*$  non abbiamo nessuna spinta sulla parete.

**N.B. 3.1**

La coesione **riduce** la spinta nel caso di spinta **attiva** e a **riposo** mentre **l'augmenta** nel caso di spinta **passiva**.  
 Nel caso di spinta **utente** se:

- $K_{utente}$  è più vicino a  $K_a$  -> il contributo della coesione si sottrae;
- $K_{utente}$  è più vicino a  $K_p$  -> il contributo della coesione si somma.

**- Contributo Sovraccarico ( $\sigma_{t,Q}$ ) -**

Nel caso in cui sul terreno a tergo della parete agisce un sovraccarico  $Q$  (Figura 3.7), sulla parete si genera un'ulteriore spinta data dalla relazione:

$$\sigma_{t,Q} = K \cdot Q;$$

Con:

- $Q$  = sovraccarico a tergo della parete;
- $K = K_a, K_0, K_p$  o  $K_{utente}$ .

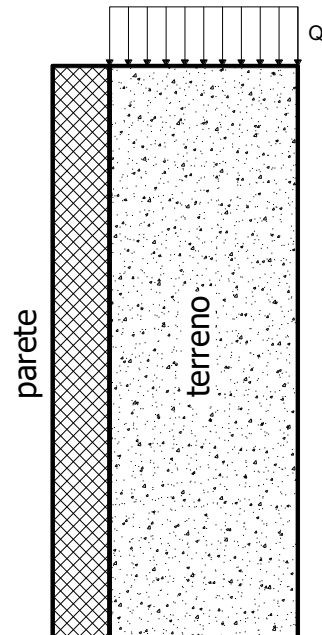


Figura 3.7: vista laterale con sovraccarico

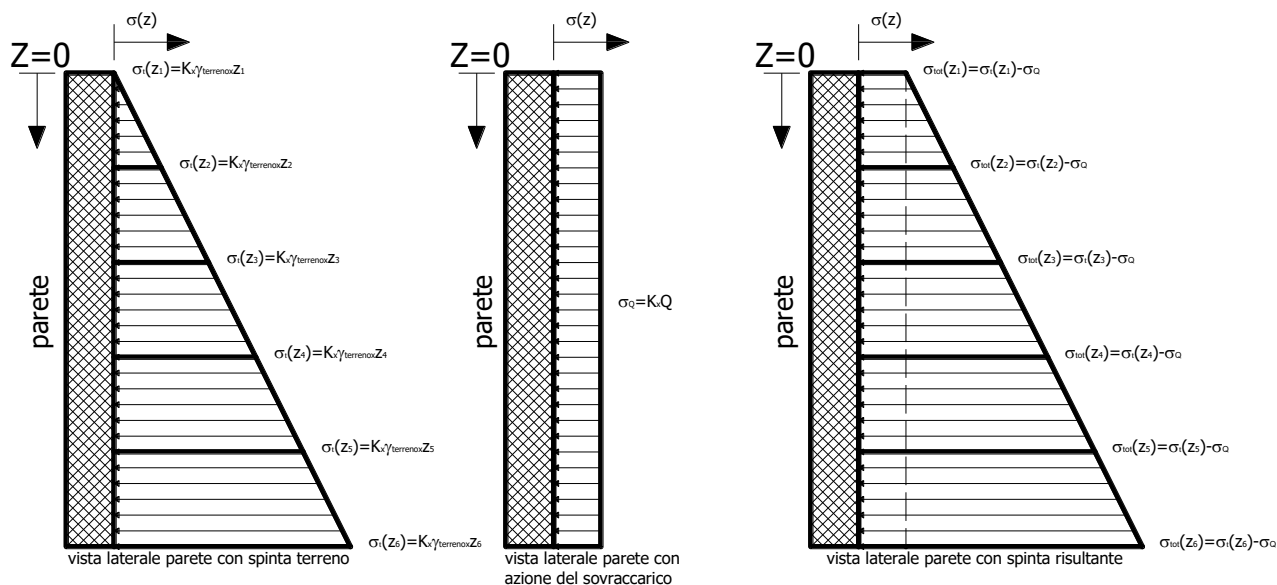


Figura 3.8: spinta del terreno con sovraccarico

## Spinta in presenza di sisma (Sismica)

La spinta del terreno in presenza di sisma (sismica) nel caso più generale possibile è data da:

$$\sigma_{t,Ed}(z) = \sigma_{t,T,Ed}(z) + \sigma_{t,Q,Ed}(z);$$

dove:

$\sigma_{t,T,Ed}(z)$  = spinta sismica del terreno;

$\sigma_{t,Q,Ed}(z)$  = spinta sismica del sovraccarico a tergo del muro.

in EdiLus la somma di tali contributi rappresenta la "**Spinta Terreno (sisma)**"

### - Contributo Terreno ( $\sigma_{t,T,Ed}$ ) -

In EdiLus il calcolo della spinta del terreno in condizioni **sismiche** viene eseguito secondo:

- l'allegato 4 (OPERE DI SOSTEGNO TERRENI - § 4.4.3 Spinte di calcolo del terreno e dell'acqua - *N.B. 3.2*) dell'OPCM 3274 (prima stesura);
- le indicazioni del D.M. 17/01/2018 (§ 7.11.6.2).

Nella OPCM 3274 viene definita la spinta TOTALE  $E_d$  (spinta statica comprensiva dell'azione sismica) come:

$$E_d = \frac{1}{2} \cdot \gamma_{\text{terreno}} \cdot (1 \pm k_v) \cdot K \cdot H^2 + E_{WS} \quad [4]$$

Dove:

$\gamma_{\text{terreno}}$  = peso specifico del terreno a monte della parete;

$k_v = \pm 0,5 \cdot k_h$  = coefficiente di intensità sismico verticale (*rel. 7.11.7 - NTC 2018 - N.B. 3.3*);

$$k_h = \beta_m \cdot S_T \cdot S_{S,SLV} \cdot \frac{a_{g,SLV}}{g} = \text{coefficiente di intensità sismico orizzontale (rel. 7.11.6 - NTC 2018);}$$

$\beta_m$  = coefficiente di riduzione dell'accelerazione massima attesa al sito (*N.B. 3.4*).

- Nel caso di muri liberi di traslare o di ruotare intorno al piede (*spostamenti consentiti*), si assume che la spinta dovuta al sisma agisca nello stesso punto di quella statica (andamento triangolare delle tensioni). In questo caso il coefficiente  $\beta_m$  assume i valori 0,38 per le verifiche allo SLV e 0,47 per le verifiche allo SLD.
- Per muri che non sono in grado di subire spostamenti relativi rispetto al terreno (*spostamenti non consentiti*), il coefficiente  $\beta_m$  assume valore unitario. In questo caso si assume che la spinta sia applicata a metà altezza del muro (andamento costante delle tensioni).

$S_s = S_{s,SLV}$  = coefficiente di amplificazione stratigrafico allo SLV;

$S_T$  = coefficiente di amplificazione topografico;

$a_g/g = a_{g,SLV}/g$  = coefficiente di accelerazione al suolo allo SLV.

$K = K_{s,a}$  o  $K_{s,p}$  = coefficiente di spinta "sismica", rispettivamente, attiva e passiva del terreno dati da:

$$K_{s,a} = \frac{\text{sen}^2(\psi + \phi - \theta)}{\cos \theta \cdot \text{sen}^2 \psi \cdot \text{sen}(\psi - \theta - \delta) \cdot \left[ 1 + \sqrt{\frac{\text{sen}(\phi + \delta) \cdot \text{sen}(\phi - \beta - \theta)}{\text{sen}(\psi - \theta - \delta) \cdot \text{sen}(\psi + \beta)}} \right]^2} \quad (\text{per } \beta \leq \phi - \theta);$$

$$K_{s,a} = \frac{\text{sen}^2(\psi + \phi - \theta)}{\cos \theta \cdot \text{sen}^2 \psi \cdot \text{sen}(\psi - \theta - \delta)} \quad (\text{per } \beta > \phi - \theta)$$

$$K_{s,p} = \frac{\text{sen}^2(\psi + \phi - \theta)}{\cos \theta \cdot \text{sen}^2 \psi \cdot \text{sen}(\psi + \theta) \cdot \left[ 1 - \sqrt{\frac{\text{sen} \phi \cdot \text{sen}(\phi + \beta - \theta)}{\text{sen}(\psi + \beta) \cdot \text{sen}(\psi + \theta)}} \right]^2};$$

dove:

$\phi$  = valore di calcolo dell'angolo di resistenza a taglio del terreno in condizioni di sforzo efficace (angolo di attrito del terreno);

$\psi$  = angolo di inclinazione rispetto all'orizzontale della parete del muro rivolta a monte;

$\beta$  = angolo di inclinazione rispetto all'orizzontale della superficie del terrapieno;

$\delta$  = valore di calcolo dell'angolo di resistenza a taglio tra terreno e muro (assunto pari a **0** nel programma);

$\theta$  = angolo definito dalla seguente espressione (§ 4.4.3 - rappresenta il rapporto tra accelerazione orizzontale e l'accelerazione verticale):

$$\tan \theta = \frac{k_h}{1 \pm k_v}.$$

H = altezza del muro;

$E_{ws}$ : è il contributo dell'azione dell'acqua (lo si ritiene sempre nullo nel caso di edifici civili).

### N.B. 3.2

La relazione 4 riportata dall'OPCM è quella riportata anche nell'EC8 - APPENDICE E - relazione E.1 e successive.

### N.B. 3.3

In EdILus il termine  $K_v$  viene considerato:

- diverso da **ZERO** nella relazione [4] se sia stata chiesta anche l'analisi sismica verticale ("Dinamica solo Verticale", "Dinamica Orizzontale e Verticale" e "Analisi statica") -> considerando che la spinta può subire un incremento/decremento;
- sempre diverso da **ZERO** nel calcolo del coefficiente di spinta K (calcolo  $\tan \theta$ ). Infatti, anche per sole azioni orizzontali, trattandosi di una massa (cuneo) che sta scivolando su un piano inclinato, esiste sempre una componente verticale.

Pertanto, per i casi correnti (dinamica solo Orizzontale) la formula [4] si riduce a:

$$E_d = \frac{1}{2} \cdot \gamma_{\text{terreno}} \cdot K \cdot H^2$$

### N.B. 3.4

A partire dalla v.30 in EdILus è stata data la possibilità di gestire il parametro  $\beta_m$ .

Infatti, mediante il settaggio "**Spostamenti consentiti**" presente nelle proprietà dell'oggetto "**Spinta Terreno (su pareti)**" il valore di  $\beta_m$  vale:

- 1,00 -> se viene spuntato "**Spostamenti consentiti**";
- 0,38 -> se non viene spuntato "**Spostamenti consentiti**".

## - Contributo Sovraccarico ( $\sigma_{t,Q}$ ) -

Per la presenza del sovraccarico Q sulla parete si genera un'ulteriore spinta, applicata a metà altezza del muro (andamento costante), data dalla relazione:

$$\sigma_{t,Q,Ed} = Q \cdot (1 \pm K_v) \cdot K \quad [5]$$

dove i vari parametri  $K_v$  e K sono quelli definiti nel paragrafo precedente.

## Calcolo manuale "Spinta Terreno (Statica)"

Per il caso in esame si ha:

### - Calcolo K "statico" ( $K_a$ , $K_0$ e $K_p$ ) -

I tre coefficienti di spinta valgono rispettivamente:

$$K_a = \tan^2\left(\frac{90 - \phi}{2}\right) = \tan^2\left(\frac{90 - 32}{2}\right) = \tan^2\left(\frac{58}{2}\right) = 0,307;$$

$$K_0 = 1 - \sin\phi = 1 - \sin(32) = 0,470;$$

$$K_p = \tan^2\left(\frac{90 + \phi}{2}\right) = \tan^2\left(\frac{90 + 32}{2}\right) = \tan^2\left(\frac{122}{2}\right) = 3,255.$$

### - Contributo Terreno ( $\sigma_{t,T}$ ) -

In particolare, si valuta tale contributo sulla shell con ID 128, posizionata alla base della parete, costituita dai sub nodi 5 - 6 - 41 (Figura 3.9).

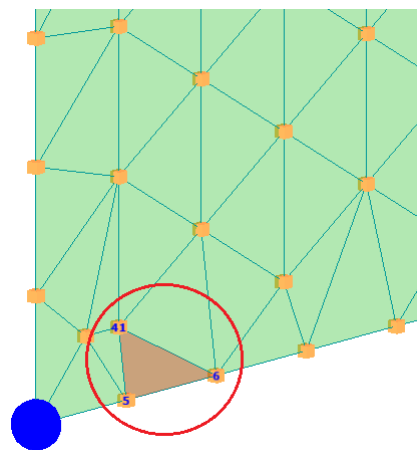


Figura 3.9: shell della parete in esame

Tab. 3.4: spinta del terreno ( $\sigma_{t,T}$ ) nei nodi 5 e 6

Tipo spinta	Nodo/subnodo [-]	K [-]	$\gamma_{\text{terreno}}$ [N/m <sup>2</sup> ]	Z [m]	$\sigma_{t,T}$ (subnodo 5 e 6) [N/m <sup>2</sup> ]
Attiva	5 e 6	0,307	18 000	3,00	<b>16 592</b>
Riposo		0,470			<b>25 384</b>
Passiva		3,255			<b>175 748</b>

Tab. 3.5: spinta del terreno ( $\sigma_{t,T}$ ) nel nodo 41

Tipo spinta	Nodo/subnodo [-]	K [-]	$\gamma_{\text{terreno}}$ [N/m <sup>2</sup> ]	Z [m]	$\sigma_{t,T}$ (subnodo 41) [N/m <sup>2</sup> ]
Attiva	41	0,307	18 000	2,75	<b>15 209</b>
Riposo		0,470			<b>23 269</b>
Passiva		3,255			<b>161 102</b>

Pertanto la tensione media sulla shell in esame, nei 3 casi, vale:

Tab. 3.6: spinta del terreno ( $\sigma_{t,T}$ ) sulla shell 128

Tipo spinta	$\sigma_{t,T}$ (subnodo 5) [N/m <sup>2</sup> ]	$\sigma_{t,T}$ (subnodo 6) [N/m <sup>2</sup> ]	$\sigma_{t,T}$ (subnodo 41) [N/m <sup>2</sup> ]	$\sigma_{t,T}$ [N/m <sup>2</sup> ]
Attiva	16 592	16 592	15 209	<b>16 131</b>
Riposo	25 384	25 384	23 269	<b>24 679</b>
Passiva	175 748	175 748	161 102	<b>170 866</b>

### - Contributo Coesione ( $\sigma_{t,c}$ ) -

Nella successiva tabella si riporta il contributo alla spinta della coesione ( $c'$ ) per i 3 casi.

Tab. 3.7: contributo alla spinta della coesione ( $\sigma_{t,c}$ )

Tipo spinta	K [-]	$c'$ [N/m <sup>2</sup> ]	$\sigma_{t,c}$ [N/m <sup>2</sup> ]
Attiva	0,307	3 000	<b>3 326</b>
Riposo	0,470		<b>4 114</b>
Passiva	3,255		<b>10 824</b>

La coesione determina un abbassamento della spinta triangolare del terreno della quota  $Z^*$  data da:

Tab. 3.8: abbassamento della spinta del terreno per effetto della coesione ( $Z^*$ )

Tipo spinta	K [-]	$c'$ [N/m <sup>2</sup> ]	$\gamma_{\text{terreno}}$ [N/m <sup>2</sup> ]	$Z^*$ [N/m <sup>2</sup> ]
Attiva	0,307	3 000	18 000	<b>0,6013</b>
Riposo	0,470			<b>0,4862</b>
Passiva	3,255			<b>0,1848</b>

### - Contributo Sovraccarico ( $\sigma_{t,Q}$ ) -

Nella successiva tabella si riporta il contributo alla spinta del sovraccarico (Q) a tergo della parete per i 3 casi.

 Tab. 3.9: contributo alla spinta del sovraccarico ( $\sigma_{t,Q}$ )

Tipo spinta	K [-]	Q [N/m <sup>2</sup> ]	$\sigma_{t,Q}$ [N/m <sup>2</sup> ]
Attiva	0,307	25 000	<b>7 682</b>
Riposo	0,470		<b>11 753</b>
Passiva	3,255		<b>81 365</b>

### - Calcolo "Spinta Terreno (Statica)" -

Pertanto, la "Spinta Terreno (statica)" visualizzata in EdiLus sulla shell in esame, nei 3 casi, vale:

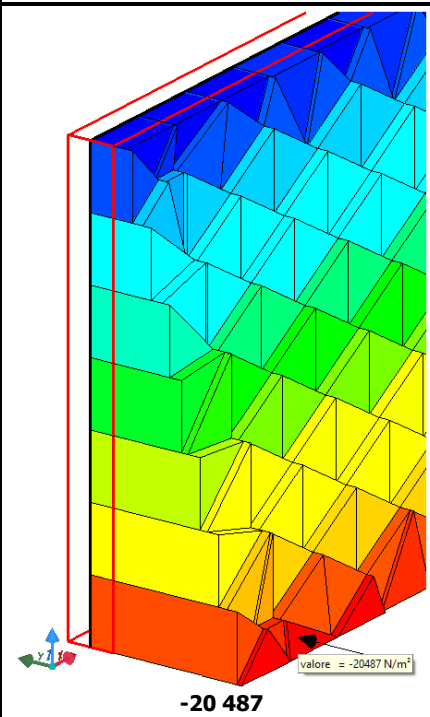
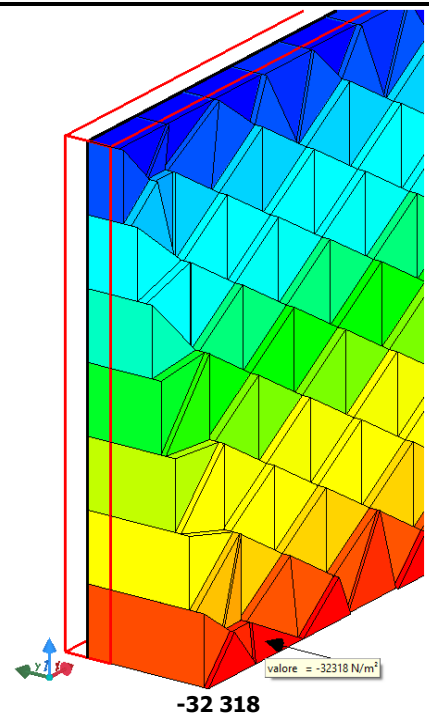
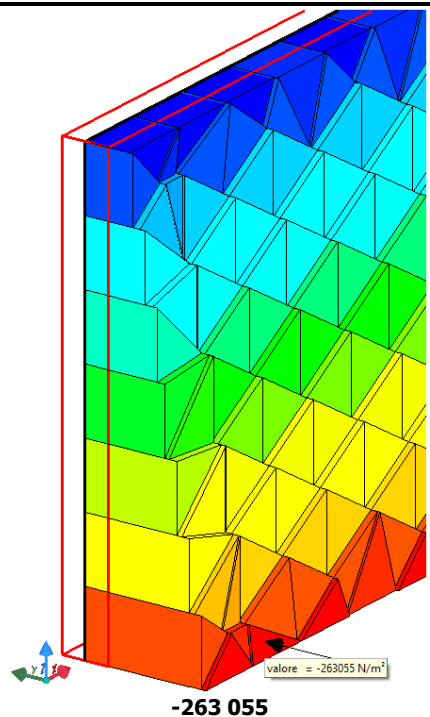
Tab. 3.10: "Spinta Terreno (Statica)" sulla shell 128

Tipo spinta	$\sigma_{t,T}$ [N/m <sup>2</sup> ]	$\sigma_{t,C}$ [N/m <sup>2</sup> ]	$\sigma_{t,Q}$ [N/m <sup>2</sup> ]	$\sigma_t$ [N/m <sup>2</sup> ]
Attiva	16 131	-3 326	7 682	<b>20 487</b>
Riposo	24 679	-4 114	11 753	<b>32 318</b>
Passiva	170 866	10 824	81 365	<b>263 055</b>

### - Confronto -

Di seguito si riporta il confronto tra il calcolo "manuale" e quello di EdiLus.

Tab. 3.11: confronto calcolo manuale - EdiLus

Spinta Attiva [N/m <sup>2</sup> ]	Spinta a Riposo [N/m <sup>2</sup> ]	Spinta Passiva [N/m <sup>2</sup> ]
<b>Calcolo Manuale</b>		
<b>20 487</b>	<b>32 318</b>	<b>263 055</b>
<b>EdiLus</b>		
 <p style="text-align: center;"><b>-20 487</b></p>	 <p style="text-align: center;"><b>-32 318</b></p>	 <p style="text-align: center;"><b>-263 055</b></p>

## Calcolo manuale "Spinta Terreno (Sisma)" - CASO 1 (Muro Libero)

### - Calcolo $K_h$ -

Tale coefficiente è dato da:

$$k_h = \beta_m \cdot S_T \cdot S_{S,SLV} \cdot \frac{a_{g,SLV}}{g}$$

dove:

$$\begin{aligned} \beta_m &= 0,38 \text{ (muro in grado di subire spostamenti relativi rispetto al terreno);} \\ S_T &= 1,00 \text{ -> Categoria topografica = T1;} \\ S_{S,SLV} &= 1,425 \text{ -> Categoria sottosuolo = C;} \\ a_{g,SLV}/g &= 0,1934. \end{aligned}$$

Quindi:

$$k_h = \beta_m \cdot S_T \cdot S_{S,SLV} \cdot \frac{a_{g,SLV}}{g} = 0,38 \cdot 1,00 \cdot 1,425 \cdot 0,1934 = 0,1047.$$

### - Calcolo $K_v$ -

Tale coefficiente è dato da:

$$k_v = 0,5 \cdot k_h = 0,5 \cdot 0,1047 = 0,0524.$$

### - Calcolo $K$ "sismico" ( $K_{s,a}$ e $K_{s,p}$ ) -

#### • Calcolo $K_{s,a}$

Tale coefficiente è dato da:

$$K_{s,a} = \frac{\text{sen}^2(\psi + \phi - \theta)}{\cos \theta \cdot \text{sen}^2 \psi \cdot \text{sen}(\psi - \theta - \delta) \cdot \left[ 1 + \sqrt{\frac{\text{sen}(\phi + \delta) \cdot \text{sen}(\phi - \beta - \theta)}{\text{sen}(\psi - \theta - \delta) \cdot \text{sen}(\psi + \beta)}} \right]^2} \quad (\text{per } \beta \leq \phi - \theta);$$

dove:

$$\begin{aligned} \phi &= 32^\circ; \\ \psi &= 90^\circ \text{ (parete sempre a } 90^\circ); \\ \beta &= 0^\circ \text{ (terreno a monte della parete sempre orizzontale);} \\ \delta &= 0^\circ; \\ \theta &\text{ è dato da:} \end{aligned}$$

$$\tan \theta = \frac{k_h}{1 \pm k_v} \left\{ \begin{array}{l} \theta_{\min} = \arctg\left(\frac{k_h}{1 + k_v}\right) = \arctg\left(\frac{0,1047}{1 + 0,0524}\right) = 5,68^\circ. \\ \theta_{\max} = \arctg\left(\frac{k_h}{1 - k_v}\right) = \arctg\left(\frac{0,1047}{1 - 0,0524}\right) = 6,31^\circ. \end{array} \right.$$

Quindi,  $K_{s,a}$  è dato da:

$\theta_{\min}$	$K_{s,a,\theta_{\min}} = \frac{\text{sen}^2(90 + 32 - 5,68)}{\cos 3,66 \cdot \text{sen}^2 90 \cdot \text{sen}(90 - 5,68 - 0) \cdot \left[ 1 + \sqrt{\frac{\text{sen}(32 + 0) \cdot \text{sen}(32 - 0 - 5,68)}{\text{sen}(90 - 5,68 - 0) \cdot \text{sen}(90 + 0)}} \right]^2} = 0,3675.$
$\theta_{\max}$	$K_{s,a,\theta_{\max}} = \frac{\text{sen}^2(90 + 32 - 6,31)}{\cos 3,91 \cdot \text{sen}^2 90 \cdot \text{sen}(90 - 6,31 - 0) \cdot \left[ 1 + \sqrt{\frac{\text{sen}(32 + 0) \cdot \text{sen}(32 - 0 - 6,31)}{\text{sen}(90 - 6,31 - 0) \cdot \text{sen}(90 + 0)}} \right]^2} = 0,3748.$

• **Calcolo  $K_{s,p}$**

Tale coefficiente è dato da:

$$K_{s,p} = \frac{\text{sen}^2(\psi + \phi - \theta)}{\cos \theta \cdot \text{sen}^2 \psi \cdot \text{sen}(\psi + \theta) \cdot \left[ 1 - \sqrt{\frac{\text{sen} \phi \cdot \text{sen}(\phi + \beta - \theta)}{\text{sen}(\psi + \beta) \cdot \text{sen}(\psi + \theta)}} \right]^2};$$

dove:

- $\phi = 32^\circ$ ;
- $\psi = 90^\circ$  (parete sempre a  $90^\circ$ );
- $\beta = 0^\circ$  (terreno a monte della parete sempre orizzontale);
- $\theta$  già calcolato in precedenza ( $\theta_{\min} = 5,68^\circ$  e  $\theta_{\max} = 6,31^\circ$ ).

Quindi,  $K_{s,p}$  è dato da:

$\theta_{\min}$	$K_{s,p,\theta_{\min}} = \frac{\text{sen}^2(90 + 32 - 5,68)}{\cos 5,68 \cdot \text{sen}^2 90 \cdot \text{sen}(90 + 5,68) \cdot \left[ 1 - \sqrt{\frac{\text{sen} 32 \cdot \text{sen}(32 + 0 - 5,68)}{\text{sen}(90 + 0) \cdot \text{sen}(90 + 5,68)}} \right]^2} = 3,0700.$
$\theta_{\max}$	$K_{s,p,\theta_{\max}} = \frac{\text{sen}^2(90 + 32 - 6,31)}{\cos 6,31 \cdot \text{sen}^2 90 \cdot \text{sen}(90 + 6,31) \cdot \left[ 1 - \sqrt{\frac{\text{sen} 32 \cdot \text{sen}(32 + 0 - 6,31)}{\text{sen}(90 + 0) \cdot \text{sen}(90 + 6,91)}} \right]^2} = 3,0489.$

- **Calcolo "Spinta Terreno (Sisma)" ( $\sigma_{t, \text{sisma}}$ ) -**

Nel caso in esame, poiché si sta eseguendo un'analisi "Dinamica solo orizzontale" ( $K_v = 0$ ), la relazione [5] diventa:

$$E_d = \frac{1}{2} \cdot \gamma_{\text{terreno}} \cdot (1 \pm k_v) \cdot K \cdot H^2 = \frac{1}{2} \cdot \gamma_{\text{terreno}} \cdot (1 \pm 0) \cdot K_s \cdot H^2 = \frac{1}{2} \cdot \gamma_{\text{terreno}} \cdot K_s \cdot H^2;$$

In termini di tensioni, considerando che la spinta dovuta al sisma agisca nello stesso punto di quella statica (spostamenti consentiti del muro -> andamento triangolare della spinta), si ha:

$$\sigma_d = \frac{2}{H} \cdot E_d = \frac{2}{H} \cdot \left( \frac{1}{2} \cdot \gamma_{\text{terreno}} \cdot K_s \cdot H^2 \right) = \gamma_{\text{terreno}} \cdot K_s \cdot H$$

per cui:

• **Spinta attiva**

$\theta_{\min}$	$E_{d,H,\theta_{\min}}^{(K_{s,a})} = \frac{1}{2} \cdot \gamma_{\text{terreno}} \cdot K_{s,a} \cdot H^2 = 0,5 \cdot 18000 \cdot 0,3675 \cdot 3,0^2 = 29\ 767 \text{ N/m.}$ $\sigma_{d,H,\theta_{\min}}^{(K_{s,a})} = \gamma_{\text{terreno}} \cdot K_{s,a} \cdot H = 18000 \cdot 0,3675 \cdot 3,0 = 19\ 845 \text{ N/m}^2.$
$\theta_{\max}$	$E_{d,H,\theta_{\max}}^{(K_{s,a})} = \frac{1}{2} \cdot \gamma_{\text{terreno}} \cdot K_{s,a} \cdot H^2 = 0,5 \cdot 18000 \cdot 0,3748 \cdot 3,0^2 = 30\ 362 \text{ N/m.}$ $\sigma_{d,H,\theta_{\max}}^{(K_{s,a})} = \gamma_{\text{terreno}} \cdot K_{s,a} \cdot H = 18000 \cdot 0,3748 \cdot 3,0 = 20\ 241 \text{ N/m}^2.$

Quindi:

$$\sigma_d(K_{s,a}) = \max(\sigma_{d,H,\theta_{\min}}^{(K_{s,a})}; \sigma_{d,H,\theta_{\max}}^{(K_{s,a})}) = \max(19\ 845; 20\ 241) = \mathbf{20\ 241 \text{ N/m}^2}.$$

• **Spinta passiva**

$\theta_{\min}$	$E_{d,H,\theta_{\min}}^{(K_{s,a})} = \frac{1}{2} \cdot \gamma_{\text{terreno}} \cdot K_{s,a} \cdot H^2 = 0,5 \cdot 18000 \cdot 3,0700 \cdot 3,0^2 = 248\ 670 \text{ N/m.}$ $\sigma_{d,H,\theta_{\min}}^{(K_{s,a})} = \gamma_{\text{terreno}} \cdot K_{s,a} \cdot H = 18000 \cdot 3,0700 \cdot 3,0 = 165\ 780 \text{ N/m}^2.$
$\theta_{\max}$	$E_{d,H,\theta_{\max}}^{(K_{s,a})} = \frac{1}{2} \cdot \gamma_{\text{terreno}} \cdot K_{s,a} \cdot H^2 = 0,5 \cdot 18000 \cdot 3,0489 \cdot 3,0^2 = 246\ 963 \text{ N/m.}$ $\sigma_{d,H,\theta_{\max}}^{(K_{s,a})} = \gamma_{\text{terreno}} \cdot K_{s,a} \cdot H = 18000 \cdot 3,0489 \cdot 3,0 = 164\ 642 \text{ N/m}^2.$

Quindi:

$$\sigma_d(K_{s,a}) = \max(\sigma_{d,H,\theta_{\min}}^{(K_{s,a})}; \sigma_{d,H,\theta_{\max}}^{(K_{s,a})}) = \max(165\ 780; 164\ 642) = \mathbf{165\ 780 \text{ N/m}^2}.$$

Quanto appena calcolato rappresenta la spinta alla base del muro e quindi nei subnodi 4 e 5.

Sfruttando la similitudine del triangolo delle pressioni tra le pressioni in tali subnodi e quella nel subnodo 41 la tensione in tale subnodo è data da:

$$\frac{\sigma_{d,Z_4}}{Z_4} = \frac{\sigma_{d,Z_5}}{Z_5} = \frac{\sigma_{d,H}}{H} = \frac{\sigma_{d,Z_{41}}}{Z_{41}} \quad \rightarrow$$

attiva	$\theta_{\min}$	$\sigma_{d,Z_{41}}^{K_{s,a}} = \sigma_{d,H,\theta_{\min}}^{(K_{s,a})} \cdot \frac{Z_{41}}{H}$
	$\theta_{\max}$	$\sigma_{d,Z_{41}}^{K_{s,a}} = \sigma_{d,H,\theta_{\max}}^{(K_{s,a})} \cdot \frac{Z_{41}}{H}$
passiva	$\theta_{\min}$	$\sigma_{d,Z_{41}}^{K_{s,p}} = \sigma_{d,H,\theta_{\min}}^{(K_{s,p})} \cdot \frac{Z_{41}}{H}$
	$\theta_{\max}$	$\sigma_{d,Z_{41}}^{K_{s,p}} = \sigma_{d,H,\theta_{\max}}^{(K_{s,p})} \cdot \frac{Z_{41}}{H}$

Dove:

$Z_5 = Z_4 = H = 3,00 \text{ m}$  (quota rispetto alla testa del muro dei subnodi 4 e 5 -> altezza del muro);

$Z_{41} = 2,75 \text{ m}$  (quota rispetto alla testa del muro del subnodo 41);

$\sigma_{d,H}$  = tensione alla base del muro.

Nelle successive tabelle si riassumono le tensioni calcolate:

Tab. 3.12: spinta del terreno ( $\sigma_{t,T}$ ) nei nodi 5 e 6

Tipo spinta		Nodo/subnodo [-]	$K_{\text{sismico}} [-]$	$\gamma_{\text{terreno}} [\text{N/m}^2]$	$Z_5 = Z_6 = H [\text{m}]$	$\sigma_{d,H} [\text{N/m}^2]$
Attiva	$\theta_{\min}$	5 e 6	0,3675	18 000	3,00	<b>19 845</b>
	$\theta_{\max}$		0,3748			<b>20 241</b>
Passiva	$\theta_{\min}$		3,0700			<b>165 780</b>
	$\theta_{\max}$		3,0489			<b>164 642</b>

Tab. 3.13: spinta del terreno ( $\sigma_{t,T}$ ) nel nodo 41

Tipo spinta		Nodo/subnodo [-]	$\sigma_{d,H} [\text{N/m}^2]$	$Z_{41} [\text{m}]$	$H [\text{m}]$	$\sigma_{d,Z_{41}} [\text{N/m}^2]$
Attiva	$\theta_{\min}$	41	19 845	2,75	3,00	<b>18 191</b>
	$\theta_{\max}$		20 241			<b>18 555</b>
Passiva	$\theta_{\min}$		165 780			<b>151 965</b>
	$\theta_{\max}$		164 642			<b>150 922</b>

Pertanto la tensione media sulla shell in esame, nei 3 casi, vale:

Tab. 3.14: spinta del terreno ( $\sigma_{t,T}$ ) sulla shell 128

Tipo spinta		$\sigma_{t,H}(\text{subnodo } 5) [\text{N/m}^2]$	$\sigma_{t,H}(\text{subnodo } 6) [\text{N/m}^2]$	$\sigma_{t,Z_{41}}(\text{subnodo } 41) [\text{N/m}^2]$	$\sigma_{d,Z,m} [\text{N/m}^2]$
Attiva	$\theta_{\min}$	19 845	19 845	18 191	<b>19 294</b>
	$\theta_{\max}$	20 241	20 241	18 555	<b>19 679</b>
Passiva	$\theta_{\min}$	165 780	165 780	151 965	<b>161 175</b>
	$\theta_{\max}$	164 642	164 642	150 922	<b>160 068</b>

### - Contributo Sovraccarico ( $\sigma_{t,Q,Ed}$ ) -

Poiché si sta eseguendo un'analisi "Dinamica solo orizzontale" ( $K_v = 0$ ), la relazione [6] diventa:

$$\sigma_{t,Q,Ed} = Q \cdot K$$

Nella successiva tabella si riassumono le tensioni calcolate:

Tab. 3.15: contributo alla spinta del sovraccarico ( $\sigma_{t,Q}$ )

Tipo spinta		Nodo/subnodo [-]	$K_{sismico}$ [-]	Q [N/m <sup>2</sup> ]	$\sigma_{d,Q,Ed}$ [N/m <sup>2</sup> ]
Attiva	$\theta_{min}$	5, 6 e 41	0,3675	25 000	<b>9 187</b>
	$\theta_{max}$		0,3748		<b>9 371</b>
Passiva	$\theta_{min}$		3,0700		<b>76 750</b>
	$\theta_{max}$		3,0489		<b>76 223</b>

### - Calcolo "Spinta Terreno (Statica)" -

Pertanto, la "Spinta Terreno (sismica)" visualizzata in EdiLus sulla shell in esame, nei 2 casi, vale:

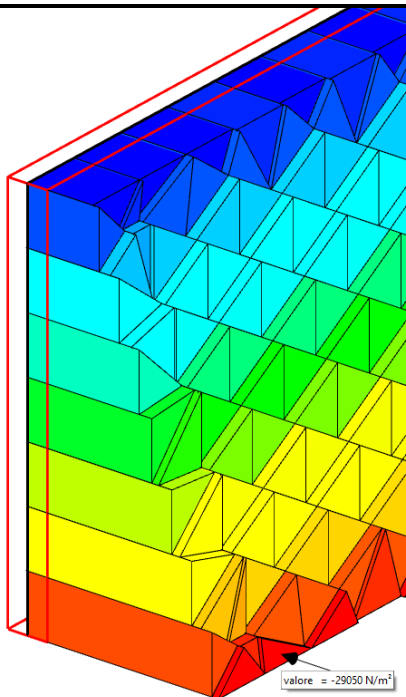
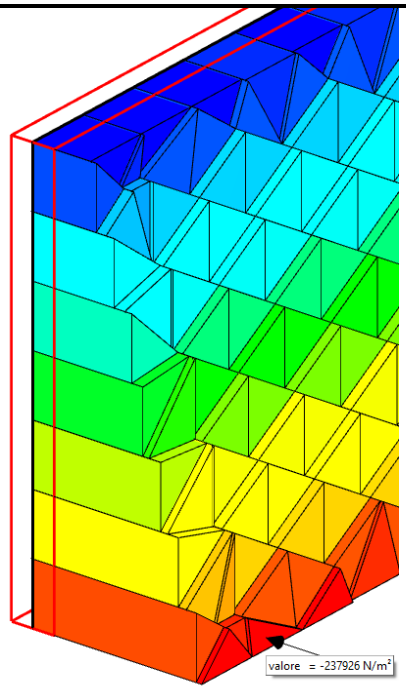
Tab. 3.16: "Spinta Terreno (Statica)" sulla shell 128

Tipo spinta		$\sigma_{t,T,Ed}$ [N/m <sup>2</sup> ]	$\sigma_{t,Q,Ed}$ [N/m <sup>2</sup> ]	$\sigma_{t,Ed}$ [N/m <sup>2</sup> ]	$\sigma_{t,Ed,max}$ [N/m <sup>2</sup> ]
Attiva	$\theta_{min}$	19 294	9 187	<b>28 481</b>	<b>29 050</b>
	$\theta_{max}$	19 679	9 371	<b>29 050</b>	
Passiva	$\theta_{min}$	161 175	76 750	<b>237 925</b>	<b>237 925</b>
	$\theta_{max}$	160 068	76 223	<b>236 291</b>	

### - Confronto -

Di seguito si riporta il confronto tra il calcolo "manuale" e quello di EdiLus.

Tab. 3.17: confronto calcolo manuale - EdiLus

Spinta Attiva [N/m <sup>2</sup> ]	Spinta Passiva [N/m <sup>2</sup> ]
<b>Calcolo Manuale</b>	
<b>29 050</b>	<b>237 925</b>
<b>EdiLus</b>	
 <p style="text-align: center;"><b>-29 050</b></p>	 <p style="text-align: center;"><b>-237 926</b></p>

## Calcolo manuale "Spinta Terreno (Sisma)" - CASO 2 (Muro Bloccato)

Per il caso in esame si ha:

### - Calcolo $K_h$ -

Tale coefficiente è dato da:

$$k_h = \beta_m \cdot S_T \cdot S_{S,SLV} \cdot \frac{a_{g,SLV}}{g}$$

dove:

$\beta_m = 1,00$  (muro impedito di subire spostamenti relativi rispetto al terreno);

$S_T = 1,00$  -> Categoria topografica = T1;

$S_{S,SLV} = 1,425$  -> Categoria sottosuolo = C;

$a_{g,SLV}/g = 0,1934$ .

Quindi:

$$k_h = \beta_m \cdot S_T \cdot S_{S,SLV} \cdot \frac{a_{g,SLV}}{g} = 1,00 \cdot 1,00 \cdot 1,425 \cdot 0,1934 = 0,2755.$$

### - Calcolo $K_v$ -

Tale coefficiente è dato da:

$$k_v = 0,5 \cdot k_h = 0,5 \cdot 0,2755 = 0,1378.$$

### - Calcolo $K$ "sismico" ( $K_{s,a}$ e $K_{s,p}$ ) -

#### • Calcolo $K_{s,a}$

Tale coefficiente è dato da:

$$K_{s,a} = \frac{\sin^2(\psi + \phi - \theta)}{\cos \theta \cdot \sin^2 \psi \cdot \sin(\psi - \theta - \delta) \cdot \left[ 1 + \sqrt{\frac{\sin(\phi + \delta) \cdot \sin(\phi - \beta - \theta)}{\sin(\psi - \theta - \delta) \cdot \sin(\psi + \beta)}} \right]^2} \quad (\text{per } \beta \leq \phi - \theta);$$

dove:

$\phi = 32^\circ$ ;

$\psi = 90^\circ$  (parete sempre a  $90^\circ$ );

$\beta = 0^\circ$  (terreno a monte della parete sempre orizzontale);

$\delta = 0^\circ$ ;

$\theta$  è dato da:

$$\tan \theta = \frac{k_h}{1 \pm k_v} \left| \begin{array}{l} \theta_{\min} = \arctg\left(\frac{k_h}{1 + k_v}\right) = \arctg\left(\frac{0,2755}{1 + 0,1378}\right) = 13,61^\circ. \\ \theta_{\max} = \arctg\left(\frac{k_h}{1 - k_v}\right) = \arctg\left(\frac{0,2755}{1 - 0,1378}\right) = 17,72^\circ. \end{array} \right.$$

Quindi,  $K_{s,a}$  è dato da:

$\theta_{\min}$	$K_{s,a,\theta_{\min}} = \frac{\sin^2(90 + 32 - 13,61)}{\cos 3,66 \cdot \sin^2 90 \cdot \sin(90 - 13,61 - 0) \cdot \left[ 1 + \sqrt{\frac{\sin(32 + 0) \cdot \sin(32 - 0 - 13,61)}{\sin(90 - 13,61 - 0) \cdot \sin(90 + 0)}} \right]^2} = 0,4763.$
$\theta_{\max}$	$K_{s,a,\theta_{\max}} = \frac{\sin^2(90 + 32 - 17,72)}{\cos 3,91 \cdot \sin^2 90 \cdot \sin(90 - 17,72 - 0) \cdot \left[ 1 + \sqrt{\frac{\sin(32 + 0) \cdot \sin(32 - 0 - 17,72)}{\sin(90 - 17,72 - 0) \cdot \sin(90 + 0)}} \right]^2} = 0,5512.$

- **Calcolo  $K_{s,p}$**

Tale coefficiente è dato da:

$$K_{s,p} = \frac{\text{sen}^2(\psi + \phi - \theta)}{\cos \theta \cdot \text{sen}^2 \psi \cdot \text{sen}(\psi + \theta) \cdot \left[ 1 - \sqrt{\frac{\text{sen} \phi \cdot \text{sen}(\phi + \beta - \theta)}{\text{sen}(\psi + \beta) \cdot \text{sen}(\psi + \theta)}} \right]^2};$$

dove:

- $\phi = 32^\circ$ ;
- $\psi = 90^\circ$  (parete sempre a  $90^\circ$ );
- $\beta = 0^\circ$  (terreno a monte della parete sempre orizzontale);
- $\theta$  già calcolato in precedenza ( $\theta_{\min} = 13,61^\circ$  e  $\theta_{\max} = 17,72^\circ$ ).

Quindi,  $K_{s,p}$  è dato da:

$\theta_{\min}$	$K_{s,p,\theta_{\min}} = \frac{\text{sen}^2(90 + 32 - 13,61)}{\cos 13,61 \cdot \text{sen}^2 90 \cdot \text{sen}(90 + 13,61) \cdot \left[ 1 - \sqrt{\frac{\text{sen} 32 \cdot \text{sen}(32 + 0 - 13,61)}{\text{sen}(90 + 0) \cdot \text{sen}(90 + 13,61)}} \right]^2} = 2,7829.$
$\theta_{\max}$	$K_{s,p,\theta_{\max}} = \frac{\text{sen}^2(90 + 32 - 17,72)}{\cos 17,72 \cdot \text{sen}^2 90 \cdot \text{sen}(90 + 17,72) \cdot \left[ 1 - \sqrt{\frac{\text{sen} 32 \cdot \text{sen}(32 + 0 - 17,72)}{\text{sen}(90 + 0) \cdot \text{sen}(90 + 17,72)}} \right]^2} = 2,6113.$

- **Calcolo "Spinta Terreno (Sisma)" ( $\sigma_d$ ) -**

Nel caso in esame, poiché si sta eseguendo un'analisi "Dinamica solo orizzontale" ( $K_v = 0$ ), la relazione [5] diventa:

$$E_d = \frac{1}{2} \cdot \gamma_{\text{terreno}} \cdot (1 \pm k_v) \cdot K \cdot H^2 = \frac{1}{2} \cdot \gamma_{\text{terreno}} \cdot (1 \pm 0) \cdot K_s \cdot H^2 = \frac{1}{2} \cdot \gamma_{\text{terreno}} \cdot K_s \cdot H^2;$$

In termini di tensioni, considerando che la spinta dovuta al sisma sia applicata a metà altezza del muro (spostamenti NON consentiti del muro -> andamento costante della spinta), si ha:

$$\sigma_d = \frac{1}{H} \cdot E_d = \frac{1}{H} \cdot \left( \frac{1}{2} \cdot \gamma_{\text{terreno}} \cdot K_s \cdot H^2 \right) = 0,5 \cdot \gamma_{\text{terreno}} \cdot K_s \cdot H$$

per cui:

- **Spinta attiva**

$\theta_{\min}$	$E_{d,H,\theta_{\min}}^{(K_{s,a})} = \frac{1}{2} \cdot \gamma_{\text{terreno}} \cdot K_{s,a} \cdot H^2 = 0,5 \cdot 18000 \cdot 0,4763 \cdot 3,0^2 = 38\,583 \text{ N/m.}$
	$\sigma_{d,H,\theta_{\min}}^{(K_{s,a})} = 0,5 \cdot \gamma_{\text{terreno}} \cdot K_{s,a} \cdot H = 0,5 \cdot 18000 \cdot 0,4763 \cdot 3,0 = 12\,861 \text{ N/m}^2.$
$\theta_{\max}$	$E_{d,H,\theta_{\max}}^{(K_{s,a})} = \frac{1}{2} \cdot \gamma_{\text{terreno}} \cdot K_{s,a} \cdot H^2 = 0,5 \cdot 18000 \cdot 0,5512 \cdot 3,0^2 = 44\,645 \text{ N/m.}$
	$\sigma_{d,H,\theta_{\max}}^{(K_{s,a})} = 0,5 \cdot \gamma_{\text{terreno}} \cdot K_{s,a} \cdot H = 0,5 \cdot 18000 \cdot 0,5512 \cdot 3,0 = 14\,882 \text{ N/m}^2.$

Quindi:

$$\sigma_d(K_{s,a}) = \max(\sigma_{d,H,\theta_{\min}}^{(K_{s,a})}; \sigma_{d,H,\theta_{\max}}^{(K_{s,a})}) = \max(12\,861; 14\,882) = \mathbf{14\,882 \text{ N/m}^2}.$$

• **Spinta passiva**

$$\begin{array}{l} \theta_{\min} \left\{ \begin{array}{l} E_{d,H,\theta_{\min}}^{(K_{s,a})} = \frac{1}{2} \cdot \gamma_{\text{terreno}} \cdot K_{s,a} \cdot H^2 = 0,5 \cdot 18000 \cdot 2,7829 \cdot 3,0^2 = 225\,411 \text{ N/m} \\ \sigma_{d,H,\theta_{\min}}^{(K_{s,a})} = 0,5 \cdot \gamma_{\text{terreno}} \cdot K_{s,a} \cdot H = 0,5 \cdot 18000 \cdot 2,7829 \cdot 3,0 = 75\,137 \text{ N/m}^2 \end{array} \right. \\ \theta_{\max} \left\{ \begin{array}{l} E_{d,H,\theta_{\max}}^{(K_{s,a})} = \frac{1}{2} \cdot \gamma_{\text{terreno}} \cdot K_{s,a} \cdot H^2 = 0,5 \cdot 18000 \cdot 2,6113 \cdot 3,0^2 = 211\,514 \text{ N/m} \\ \sigma_{d,H,\theta_{\max}}^{(K_{s,a})} = 0,5 \cdot \gamma_{\text{terreno}} \cdot K_{s,a} \cdot H = 0,5 \cdot 18000 \cdot 2,6113 \cdot 3,0 = 70\,505 \text{ N/m}^2 \end{array} \right. \end{array}$$

Quindi:

$$\sigma_d(K_{s,a}) = \max(\sigma_{d,H,\theta_{\min}}^{(K_{s,a})}; \sigma_{d,H,\theta_{\max}}^{(K_{s,a})}) = \max(75\,137; 70\,505) = \mathbf{75\,137 \text{ N/m}^2}.$$

Pertanto la tensione media sulla shell in esame vale:

Tab. 3.18: spinta del terreno ( $\sigma_{t,T}$ ) sulla shell 128

Tipo spinta		$\sigma_{t,H}$ (subnodo 5) [N/m <sup>2</sup> ]	$\sigma_{t,H}$ (subnodo 6) [N/m <sup>2</sup> ]	$\sigma_{t,Z41}$ (subnodo 41) [N/m <sup>2</sup> ]	$\sigma_{d,z,m}$ [N/m <sup>2</sup> ]	$\sigma_{t,z,m,max}$ [N/m <sup>2</sup> ]
Attiva	$\theta_{\min}$	12 861	12 861	12 861	<b>12 861</b>	<b>14 882</b>
	$\theta_{\max}$	14 882	14 882	14 882	<b>14 882</b>	
Passiva	$\theta_{\min}$	75 137	75 137	75 137	<b>75 137</b>	<b>75 137</b>
	$\theta_{\max}$	70 505	70 505	70 505	<b>70 505</b>	

- **Contributo Sovraccarico ( $\sigma_{t,Q,Ed}$ ) -**

Poiché si sta eseguendo un'analisi "Dinamica solo orizzontale" ( $K_v = 0$ ), la relazione [6] diventa:

$$\sigma_{t,Q,Ed} = Q \cdot K$$

Nella successiva tabella si riassumono le tensioni calcolate:

Tab. 3.19: contributo alla spinta del sovraccarico ( $\sigma_{t,Q}$ )

Tipo spinta		Nodo/subnodo [-]	$K_{\text{sismico}}$ [-]	Q [N/m <sup>2</sup> ]	$\sigma_{d,Q,Ed}$ [N/m <sup>2</sup> ]
Attiva	$\theta_{\min}$	5, 6 e 41	0,4763	25 000	<b>11 908</b>
	$\theta_{\max}$		0,5512		<b>13 779</b>
Passiva	$\theta_{\min}$		2,7829		<b>69 571</b>
	$\theta_{\max}$		2,6113		<b>65 282</b>

- **Calcolo "Spinta Terreno (Sismica)" -**

Pertanto, la "Spinta Terreno (sismica)" visualizzata in EdiLus sulla shell in esame, nei 2 casi, vale:

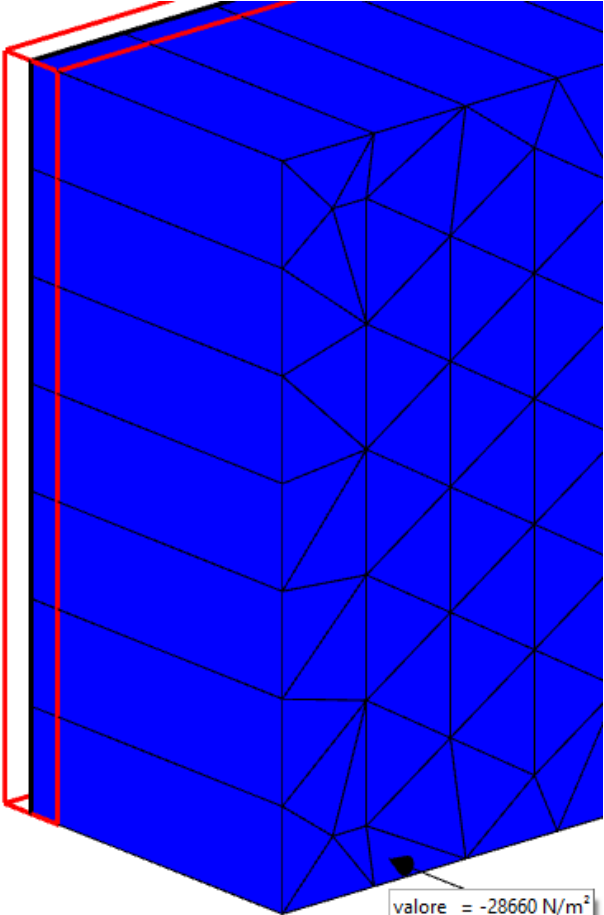
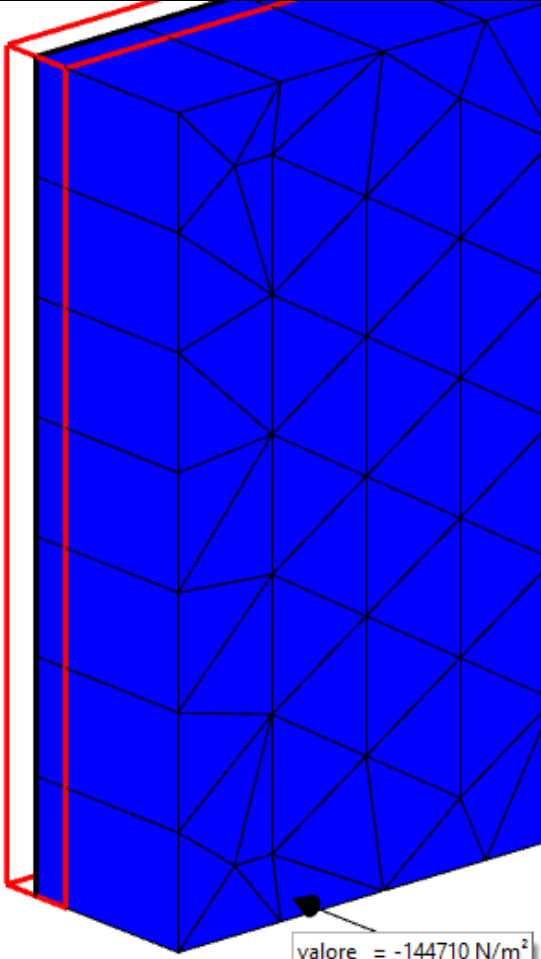
Tab. 3.20: "Spinta Terreno (Sismica)" sulla shell 128

Tipo spinta		$\sigma_{t,T,Ed}$ [N/m <sup>2</sup> ]	$\sigma_{t,Q,Ed}$ [N/m <sup>2</sup> ]	$\sigma_{t,Ed}$ [N/m <sup>2</sup> ]	$\sigma_{t,Ed,max}$ [N/m <sup>2</sup> ]
Attiva	$\theta_{\min}$	12 861	11 908	<b>24 769</b>	<b>28 661</b>
	$\theta_{\max}$	14 882	13 779	<b>28 661</b>	
Passiva	$\theta_{\min}$	75 137	69 571	<b>144 708</b>	<b>144 708</b>
	$\theta_{\max}$	70 505	65 282	<b>135 787</b>	

- **Confronto -**

Di seguito si riporta il confronto tra il calcolo "manuale" e quello di EdiLus.

Tab. 3.21: confronto calcolo manuale - EdiLus

Spinta Attiva [N/m <sup>2</sup> ]	Spinta Passiva [N/m <sup>2</sup> ]
<b>Calcolo Manuale</b>	
<b>28 661</b>	<b>144 708</b>
<b>EdiLus</b>	
 <p style="text-align: center;"><b>-28 660</b></p>	 <p style="text-align: center;"><b>-144 710</b></p>

## 4 (GEO) - Test di Validazione n.04 ( $Q_{lim}$ Pali in terreno monostrato)

Titolo: **Verifica di carico limite dei pali in terreno monostrato.**

I file di EdiLus (CA) sono: **GEO\_Palo\_Coerente(Mono).EDL** e **GEO\_Palo\_Incoerente(Mono).EDL**.

Si espone di seguito il procedimento di calcolo adottato per la verifica di carico limite dei pali in terreni monostrato.

In EdiLus il carico limite dei pali viene calcolato con la metodologia di:

- **Berezantzev**, se caricati con forze assiali.
- **Broms**, se caricati con forze orizzontali.

Per semplicità di esposizione si fa riferimento ad un esempio costituito da un plinto monopalo in un terreno omogeneo in un caso INCOERENTE e nell'altro COERENTE (i terreni possono essere anche stratificati).

### Dati

#### - Analisi/Verifiche -

- Analisi sismica: Nessuna.
- Verifiche di sicurezza: Approccio 2.

#### - Palo - (Figura 4.1 e Figura 4.3)

Caratteristiche di default, ed in particolare:

- Diametro (D) = 0,40 m.
- Lunghezza (L) = 5,00 m.
- Tipologia = Trivellato.
- Tecnologia = in opera.
- Numero indagini stratigrafiche = 3.
- Coefficiente di riduzione Attrito pali (A) = 0,80.
- Coefficiente di riduzione Coesione pali ( $\alpha$ ) = 0,80.
- Terreno = Sabbia argillosa mediamente consolidata (monostrato - coerente) e Argilla fluviolacustre sabbiosa (monostrato - incoerente).
- Profondità di scavo ( $Z_{sv}$ ) = ( $H_{pl} + s_m$ ) = (0,50 + 0,15) m = 0,65 m.
- Materiale = Cls C25/30\_B450C (con peso specifico  $\gamma_c = 25\ 000\ N/m^3$ ).

#### - Plinto monopalo - (Figura 4.1)

Caratteristiche di default, ed in particolare:

- Lunghezza ( $B_{pl}$ ) = 0,80 m.
- Larghezza ( $L_{pl}$ ) = 0,80 m.
- Altezza ( $H_{pl}$ ) = 0,50 m.
- Spessore magrone ( $s_m$ ) = 0,15 m.
- Materiale = Cls C25/30\_B450C (con peso specifico  $\gamma_c = 25\ 000\ N/m^3$ ).

#### - Pilastro - (Figura 4.1)

Caratteristiche di default, ed in particolare:

- Base ( $B_p$ ) = 0,30 m.
- Altezza sezione ( $H_p$ ) = 0,50 m.
- Altezza (h) = 3,00 m.
- Materiale = Cls C25/30\_B450C (con peso specifico  $\gamma_c = 25\ 000\ N/m^3$ ).

#### Forze (Figura 4.2)

- Forza ( $F_z$ ) concentrata verticale di **100 000 N** (Condizione di carico -> Permanente) applicata in testa al pilastro e diretta secondo -Z.
- Forza ( $F_y$ ) concentrata orizzontale di **20 000 N** (Condizione di carico -> Permanente) applicata in testa al pilastro e diretta secondo +Y.

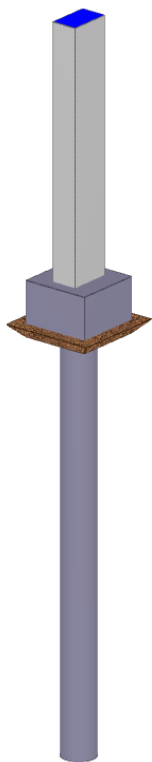


Figura 4.1: vista - "Editor 3D"



Figura 4.2: vista - "Forze e Momenti (utente)"

Plinto su Pali	
Proprietà Risultati	
Filtro entità Plinto su Pali (1)	
<b>Caratteristiche</b>	
Tipo	Quadrato (1P)
Materiale	Cls C25/30_B450C
Materiale Pali	Cls C25/30_B450C
Num. Indagini Strg. Significative	3
Tipologia Pali	Trivellato
Tecnologia Pali	In Opera
Tipo Calcolo Pali	Minimo tra Drenate e NON Drenate
Coeff. Riduz. Attrito Pali (A)	0.80
Coeff. Riduz. Coesione Pali (alfa)	0.30
<b>Geotecnica</b>	
Terreno/Stratigrafia	Sabbia argillosa mediamente consolidata
Profondità scavo rispetto a piano cam	0.65
Presenza falda	<input type="checkbox"/>
Carico Limite noto	...cambia...
<b>Geometria</b>	
Altezza	0.50
Rotazione	0.00
Diametro Pali [cm]	40
Lunghezza Pali	5.00
Interasse Pali	1.20
Sporgenza Pali	0.20
<b>Aspetto</b>	

Figura 4.3: proprietà Plinto su Pali

Anche le "Preferenze per le fondazioni profonde" sono quelle di default (Figura 4.4).

Preferenze per fondazioni DIRETTE		Preferenze per fondazioni PROFONDE																					
<b>Generali</b>																							
Numero Indagini Stratigrafiche Effettuate		3																					
<b>Coefficiente trasformazione della Pressione sui PALI da Verticale in Orizzontale</b>																							
Palo Prefabbricato Battuto in terreno Sciolto	[0.70 ~ 1.00]	0.70																					
Palo in Opera Battuto in terreno Sciolto	[0.70 ~ 1.00]	1.00																					
Palo Prefabbricato Battuto in terreno Denso	[1.00 ~ 3.00]	2.00																					
Palo in Opera Battuto in terreno Denso	[1.00 ~ 3.00]	3.00																					
Palo Trivellato in terreno Sciolto	[0.50]	0.50																					
Palo Trivellato in terreno Denso	[0.40]	0.40																					
<b>Coefficiente Parziale per Pali Battuti e Resistenze Verticali</b>																							
<table border="1"> <thead> <tr> <th>Tipo di Resistenza</th> <th>R1</th> <th>R2</th> <th>R3</th> </tr> </thead> <tbody> <tr> <td>alla Punta</td> <td>1.00</td> <td>1.45</td> <td>1.15</td> </tr> <tr> <td>Laterale in Compressione</td> <td>1.00</td> <td>1.45</td> <td>1.15</td> </tr> <tr> <td>Totale</td> <td>1.00</td> <td>1.45</td> <td>1.15</td> </tr> <tr> <td>Laterale in Trazione</td> <td>1.00</td> <td>1.60</td> <td>1.25</td> </tr> </tbody> </table>				Tipo di Resistenza	R1	R2	R3	alla Punta	1.00	1.45	1.15	Laterale in Compressione	1.00	1.45	1.15	Totale	1.00	1.45	1.15	Laterale in Trazione	1.00	1.60	1.25
Tipo di Resistenza	R1	R2	R3																				
alla Punta	1.00	1.45	1.15																				
Laterale in Compressione	1.00	1.45	1.15																				
Totale	1.00	1.45	1.15																				
Laterale in Trazione	1.00	1.60	1.25																				
<b>Coefficiente Parziale per Pali Trivellati e Resistenze Verticali</b>																							
<table border="1"> <thead> <tr> <th>Tipo di Resistenza</th> <th>R1</th> <th>R2</th> <th>R3</th> </tr> </thead> <tbody> <tr> <td>alla Punta</td> <td>1.00</td> <td>1.70</td> <td>1.35</td> </tr> <tr> <td>Laterale in Compressione</td> <td>1.00</td> <td>1.45</td> <td>1.15</td> </tr> <tr> <td>Totale</td> <td>1.00</td> <td>1.60</td> <td>1.30</td> </tr> <tr> <td>Laterale in Trazione</td> <td>1.00</td> <td>1.60</td> <td>1.25</td> </tr> </tbody> </table>				Tipo di Resistenza	R1	R2	R3	alla Punta	1.00	1.70	1.35	Laterale in Compressione	1.00	1.45	1.15	Totale	1.00	1.60	1.30	Laterale in Trazione	1.00	1.60	1.25
Tipo di Resistenza	R1	R2	R3																				
alla Punta	1.00	1.70	1.35																				
Laterale in Compressione	1.00	1.45	1.15																				
Totale	1.00	1.60	1.30																				
Laterale in Trazione	1.00	1.60	1.25																				
<b>Coefficiente Parziale per le Resistenze Orizzontali</b>																							
R1: Approccio 1, Combinazione 1	1.00																						
R2: Approccio 1, Combinazione 2	1.60																						
R3: Approccio 2	1.30																						
R4: Approccio 3	1.60																						

Figura 4.4: preferenze per fondazioni profonde

Il calcolo viene condotto secondo l'Approccio 2 (A1 + M1 + R3 - NTC 2018 § 6.4.3.1) per i due terreni omogenei:

- a) incoerente "sabbia argillosa mediamente consolidata" - senza falda, con le caratteristiche riportate nella Figura 4.5;

b) coerente "argilla fluviolacustre sabbiosa" con le caratteristiche riportate nella *Figura 4.6*.

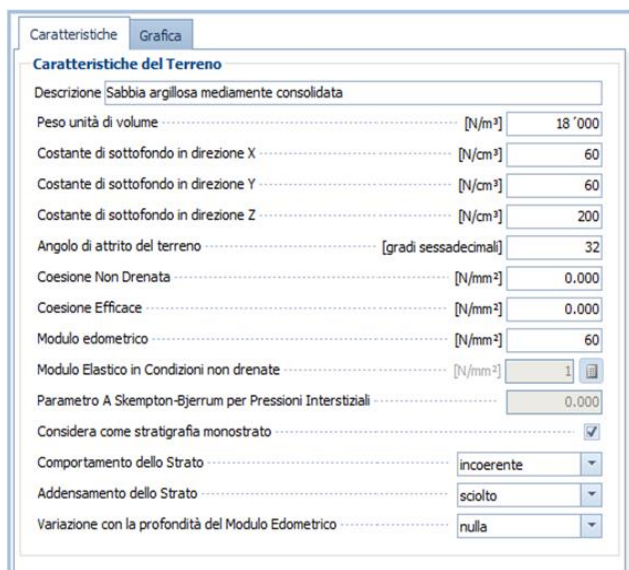


Figura 4.5: Terreno incoerente

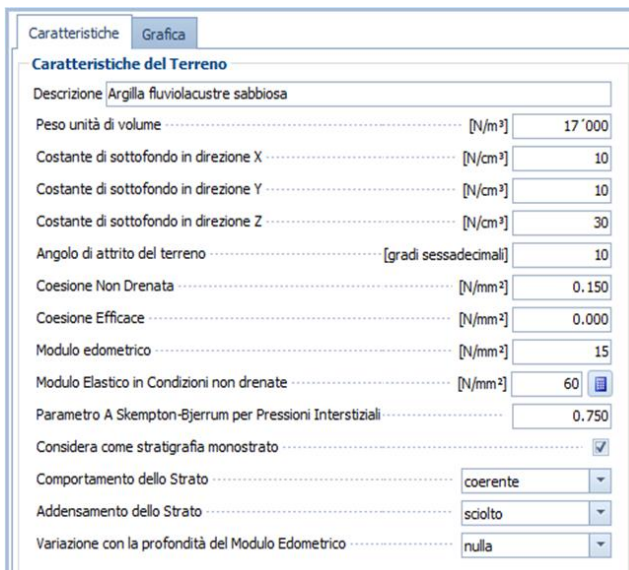


Figura 4.6: Terreno coerente

## Esempio 1 (Terreno Incoerente)

### - Carico Limite Verticale (Berezantzev) -

Il carico limite verticale ( $Q_{lim,v}$ ) secondo Berezantzev è dato dalla somma di una resistenza alla punta ( $Q_p$ ) ed una resistenza laterale ( $Q_L$ ):

$$Q_{lim,v} = Q_p + Q_L,$$

dove:

$Q_p$  = aliquota del carico limite verticale dovuto alla resistenza alla punta;

$Q_L$  = aliquota del carico limite verticale dovuto alla resistenza laterale.

Trattandosi di terreno incoerente il calcolo viene condotto in condizioni **drenate**.

### -- Resistenza alla Punta ( $Q_p$ ) --

La resistenza alla punta, in generale, vale:

$$Q_p = \frac{\pi \cdot D^2}{4} \cdot (N_q \cdot \sigma_{vL} + N_c \cdot c) \quad (\text{N.B. 4.1}).$$

Dove:

$N_q = N_q(L/D; \phi)$ : preso dalla tabella [funzione del rapporto lunghezza/diametro palo ( $L/D$ ) e dell'angolo di attrito ( $\phi$ )] proposta da **Berezantzev (N.B. 4.2)**;

$L$  = lunghezza palo;

$D$  = diametro del palo;

$\phi$  = angolo di attrito del terreno.

$\sigma_{vL} = \gamma_t \cdot Z_{pl}$  = pressione litostatica alla punta del palo;

$\gamma_t$  = peso specifico del terreno;

$Z_{pl}$  = distanza della punta del palo dal piano campagna ( $L + Z_{sv}$ );

$Z_{sv}$  = profondità di scavo;

$N_c = (N_q - 1) \cdot \text{ctg} \phi$ : relazione di trasformazione;

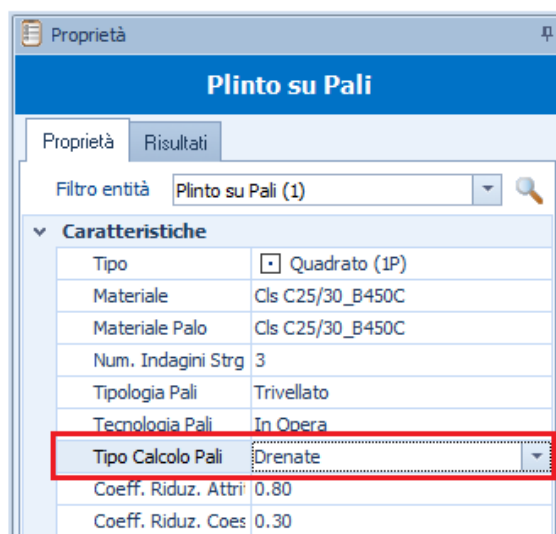
$c$  = coesione efficace.

Nel caso in esame i suddetti parametri assumono i valori:

$L = 5,00$  m;

$D = 0,40$  m;

$L/D = 12,5$ ;



$\gamma_t = 18\,000 \text{ N/m}^3$ ;  
 $\phi = 32^\circ$ ;  
 $N_q = N_q(12,5; 32) = 32,5$  (preso dalla tabella di **Berezantzev**);  
 $Z_{sv} = 0,65 \text{ m}$ ;  
 $Z_{pl} = (5,00 + 0,65) \text{ m} = 5,65 \text{ m}$ ;  
 $\sigma_v = 18000 \cdot 5,65 = 101700 \text{ N/m}^2$ ;  
 $N_c = (N_q - 1) \cdot \text{ctg} \phi = 5,0$ ;  
 $c = 0$ .

Pertanto, la resistenza alla PUNTA vale:

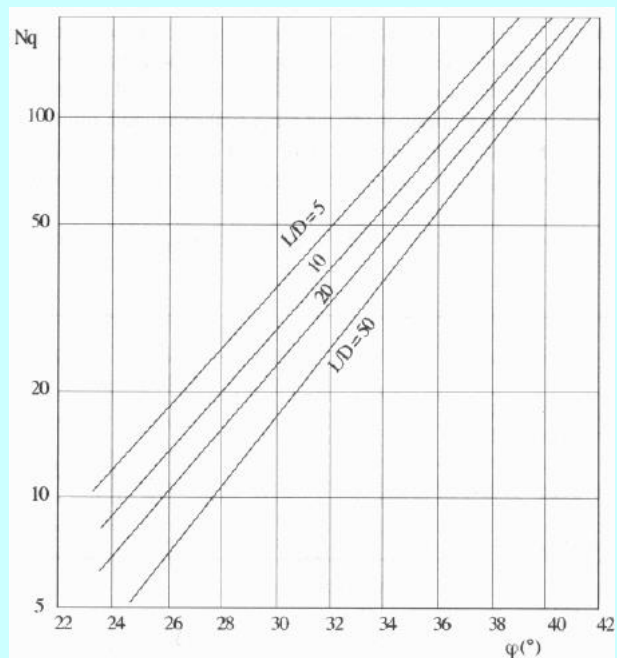
$$Q_p = \pi \cdot \frac{D^2}{4} \cdot (N_q \cdot \sigma_{vL} + N_c \cdot c) = \pi \cdot \frac{0,40^2}{4} \cdot (32,5 \cdot 101700 + 5,00 \cdot 0) = \mathbf{415\,350 \text{ N}}.$$

#### N.B. 4.1

$Q_p = 0$ , quando il palo non risulta compresso (*palo teso*).

#### N.B. 4.2

Di seguito si riporta la tabella proposta da Berezantzev per il calcolo di  $N_q$  (abaco figura 13.6 del libro "FONDAZIONI" del prof. Carlo Viggiani, editore Hevelius).



### -- Resistenza Laterale ( $Q_L$ ) --

Il calcolo della resistenza laterale viene effettuato mediante la relazione:

$$Q_L = \pi \cdot D \cdot L \cdot s,$$

dove:

$L$  = lunghezza del palo;

$D$  = diametro del palo;

$s = \alpha \cdot c + \sigma_h \cdot \mu$ : "pressione orizzontale agente lungo il fusto";

$\alpha$  = coefficiente di riduzione della coesione (**N.B. 4.3**);

$c$  = coesione;

$\sigma_h = k \cdot \sigma_v$ : tensione/pressione orizzontale nel terreno alla base del palo;

$k$  = coefficiente di trasformazione della pressione da verticale ad orizzontale (**N.B. 4.4**);

$\sigma_{vm} = \gamma_t \cdot Z_{pl,1}$  = pressione litostatica al centro del palo (poiché la pressione litostatica aumenta linearmente lungo il fusto, ci si riferisce alla pressione media al centro del palo, che si trova a quota  $Z_{pl,1}$ );

$\mu = \text{tg}(\phi \cdot A)$ : coefficiente attrito (terreno/palo). Di natura empirica dipendente dalla tecnologia usata, tiene conto della scabrezza palo-terreno riducendo l'angolo d'attrito, che al massimo può essere pari a  $\phi$  [il coefficiente  $A$  (nell'inspector valore di default 0,8) consente la taratura di detto valore];

$\phi$  = angolo di attrito del terreno;

$A$  = coefficiente attrito terreno/palo (**N.B. 4.3**).

Nel caso in esame i suddetti parametri assumono i valori:

$L = 5,00 \text{ m};$   
 $D = 0,40 \text{ m};$   
 $\alpha = 0,30;$   
 $c = 0;$   
 $\phi = 32^\circ;$   
 $A = 0,80;$   
 $k = 0,50$  (vedi Figura 4.4 - Palo Trivellato in terreno sciolto);  
 $Z_{pl,1} = (0,65 + 5,00/2) \text{ m} = 3,15 \text{ m};$   
 $\sigma_{vm} = 18000 \cdot 3,15 = 56700 \text{ N/m}^2;$   
 $\sigma_h = k \cdot \sigma_{vm} = 0,50 \cdot 56700 = 28350 \text{ N/m}^2;$   

$$\mu = \frac{\text{tg}(\phi \cdot A)}{\gamma_M} = \frac{\text{tg}(32 \cdot 0,80)}{1,0} = 0,48 \quad (\gamma_M = 1 - \text{tab. 6.2.II delle NTC 2018 - colonna M1);$$

Quindi:  
 $s = \alpha \cdot c + \sigma_h \cdot \mu = 0,30 \cdot 0 + 28350 \cdot 0,48 = 13583 \text{ N/m}^2.$

Pertanto, la resistenza LATERALE vale:

$$Q_l = \pi \cdot D \cdot L \cdot s = \pi \cdot 0,40 \cdot 5,00 \cdot 13583 = \mathbf{85\ 345 \text{ N.}}$$

**N.B. 4.3**

In EdiLus, il coefficiente di riduzione della coesione ( $\alpha$ ) e il coefficiente di attrito terreno/palo ( $A$ ) si trovano nella toolbox delle **Proprietà -> Caratteristiche**:

- $A$ : nella cella "**Coefficiente Attrito Pali (A)**" (default 0,80);
- $\alpha$ : nella cella "**Coeff. Riduz. Coesione Pali (alfa)**" (default 0,30).

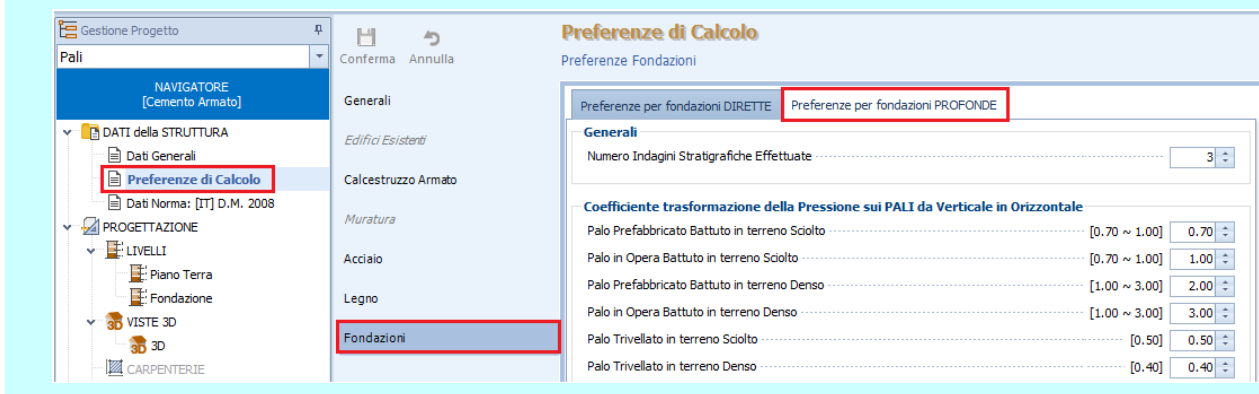


**N.B. 4.4**

In EdiLus, i Coefficienti di trasformazione della Pressione da Verticale ad Orizzontale ( $k$ ) si trovano nei **DATI della STRUTTURA -> Preferenze di Calcolo -> Fondazioni** (vedi figura).

Qui vengono proposti i valori di  $k$  in funzione delle varie tipologie di pali e dell'addensamento dello strato di terreno (definito nel Terreno/Stratigrafia).

I valori di  $K$  riportati in EdiLus sono presi dalla Tabella 13.2 del libro "FONDAZIONI" del prof. Carlo Viggiani, editore Hevelius.



**-- Resistenza verticale ( $Q_{Rd,V}$ ) --**

Alle due resistenze appena calcolate occorre applicare i coefficienti:

- di riduzione per il numero di verticali indagate (NTC 2018 - § 6.4.3.1.1. punto b).  
 Nel caso in esame sono state effettuate 3 indagini (default), per cui le resistenze vanno ridotte del coefficiente  $\xi_3 = 1,6$  (NTC 2018 - tab. 6.4.IV - N.B. 4.5).

**N.B. 4.5**
**Tabella 6.4.IV – Fattori di correlazione  $\xi$  per la determinazione della resistenza caratteristica in funzione del numero di verticali indagate.**

Numero di verticali indagate	1	2	3	4	5	7	$\geq 10$
$\xi_3$	1,70	1,65	1,60	1,55	1,50	1,45	1,40
$\xi_4$	1,70	1,55	1,48	1,42	1,34	1,28	1,21

 b) parziale ( $\gamma_R$ ) della tabella 6.4.II.

Nel caso in esame essendo i pali trivellati, dalla colonna (R3) si hanno (N.B. 4.6):

- base ->  $\gamma_R = 1,35$ ;
- laterale ->  $\gamma_R = 1,15$ .

**N.B. 4.6**
**Tab. 6.4.II – Coefficienti parziali  $\gamma_R$  da applicare alle resistenze caratteristiche a carico verticale dei pali**

Resistenza	Simbolo	Pali infissi	Pali trivellati	Pali ad elica continua
	$\gamma_R$	(R3)	(R3)	(R3)
Base	$\gamma_b$	1,15	1,35	1,3
Laterale in compressione	$\gamma_s$	1,15	1,15	1,15
Totale (*)	$\gamma$	1,15	1,30	1,25
Laterale in trazione	$\gamma_{st}$	1,25	1,25	1,25

(\*) da applicare alle resistenze caratteristiche dedotte dai risultati di prove di carico di progetto.

Tenendo conto dei suddetti coefficienti le resistenze diventano:

$$Q_{Rd,V,Pt} = \frac{Q_p}{\xi_3 \cdot \gamma_R} = \frac{415350}{1,60 \cdot 1,35} = 192\ 292\ \text{N.}$$

$$Q_{Rd,V,Lt} = \frac{Q_L}{\xi_3 \cdot \gamma_R} = \frac{85345}{1,60 \cdot 1,15} = 46\ 383\ \text{N.}$$

Per cui la resistenza totale vale:

$$Q_{Rd,V} = Q_{RdV,Pt} + Q_{RdV,Lt} = 192\ 292\ \text{N} + 46\ 383\ \text{N} = \mathbf{238\ 675\ \text{N.}}$$

**-- Carico verticale di progetto ( $Q_{Ed,V}$ ) --**

 Il carico verticale di progetto è dato dalla somma del peso del Pilastro ( $P_{Pil}$ ) + peso del Plinto ( $P_{Pln}$ ) + carico in testa ( $F_z$ ) + la differenza tra il peso del palo ( $P_{Palo}$ ) ed il peso del terreno asportato ( $P_{ta}$ ) (in presenza di falda viene sottratta l'eventuale spinta dell'acqua).

Quindi:

$$Q_{Ed,V} = P_{Pil} + P_{Pln} + F_z + (P_{Palo} - P_{ta}),$$

dove:

$$P_{Pil} = 25000\ \text{N/m}^3 \cdot (0,30\text{m} \cdot 0,50\text{m} \cdot 3,00\text{m}) = 11\ 250\ \text{N};$$

$$P_{Pln} = 25000\ \text{N/m}^3 \cdot (0,80\text{m} \cdot 0,80\text{m} \cdot 0,50\text{m}) = 8\ 000\ \text{N};$$

$$F_z = 100000\ \text{N};$$

$$P_{Palo} = \gamma_{cls} \cdot \frac{\pi \cdot D^2}{4} \cdot L = 25000 \cdot \frac{\pi \cdot 0,40^2}{4} \cdot 5,00 = 15\ 708\ \text{N};$$

$$P_{ta} = \gamma_t \cdot \frac{\pi \cdot D^2}{4} \cdot L = 18000 \cdot \frac{\pi \cdot 0,40^2}{4} \cdot 5,00 = 11\ 310\ \text{N.}$$

Quindi, ricordando che si tratta di un carico permanente (amplificare per 1,30) si ha:

$$Q_{Ed,V} = 1,30 \cdot [P_{Pil} + P_{Pln} + F_z + (P_{Palo} - P_{ta})] = 1,30 \cdot [11250\ \text{N} + 8000\ \text{N} + 100000\ \text{N} + (15708 - 11310)\ \text{N}] = 1,30 \cdot 123648\ \text{N} = \mathbf{160\ 743\ \text{N.}}$$

### -- Verifica --

Il coefficiente di sicurezza è dato da:

$$CS = \frac{Q_{Rd,V}}{Q_{Ed}} = \frac{238675}{160743} = \mathbf{1,48.}$$

### -- Confronto --

Relativamente al carico limite verticale, di seguito si riporta il confronto tra il calcolo manuale e quello di EdiLus:

Plinto su Pali 1		Fondazione	Plinto su Pali 1		Fondazione
IdNd,sup		00001	IdNd,sup		00001
Q <sub>Ed,V</sub>		160.743	Q <sub>Ed,V</sub>		160.743
Q <sub>Ed,O</sub>		-	Q <sub>Ed,O</sub>		26.000
Q <sub>Rd,V</sub>		238.675	Q <sub>Rd,V</sub>		238.675
Q <sub>Rd,V,Pt</sub>		192.292	Q <sub>Rd,V,Pt</sub>		192.292
Q <sub>Rd,V,Lt</sub>		46.383	Q <sub>Rd,V,Lt</sub>		46.383
Q <sub>Rd,O</sub>		-	Q <sub>Rd,O</sub>		55.120
M <sub>max,O</sub>		-	M <sub>max,O</sub>		69019
T.R.		-	T.R.		Palo Lungo
Z <sub>c,pls</sub>		-	Z <sub>c,pls</sub>		1,81
CS <sub>v</sub>		1,48	CS <sub>v</sub>		1,48
CS <sub>o</sub>		-	CS <sub>o</sub>		2,12

Calcolo Manuale EdiLus

### - Palo caricato da forze orizzontali (Broms) -

In questa trattazione supporremo sempre i pali vincolati in testa poiché in EdiLus essi si trovano in ogni caso ancorati alla sovrastruttura.

### -- Momento plastico del palo --

Per la determinazione del carico limite orizzontale occorre calcolare il momento plastico ( $M_Y$ ) della sezione del palo. In EdiLus ciò viene fatto interpolando opportunamente i valori della tabella della **N.B. 4.7**.

Nel caso in esame la sezione del palo è armata con 6  $\phi$  16, per cui dall'interpolazione si ottiene:

$$M_Y = \mathbf{69\ 019\ Nm.}$$

### N.B. 4.7

Di seguito si riporta la tabella 13.16 riportata nel testo "FONDAZIONI" del prof. Carlo Viggiani, editore Hevelius (edizione del '99).

Diametro (m)	Armatura	M <sub>Y</sub> (kNm)*
0,40	6 $\phi$ 16	61,8
	8 $\phi$ 20	114,7
	8 $\phi$ 24	177,5
0,50	6 $\phi$ 16	89,2
	8 $\phi$ 20	215,7
	8 $\phi$ 24	347,1
0,60	8 $\phi$ 16	154,0
	12 $\phi$ 24	384,4
	12 $\phi$ 30	600,1
0,80	10 $\phi$ 20	365,8
	20 $\phi$ 24	994,3
	22 $\phi$ 30	1 574
1,00	16 $\phi$ 20	714,9
	22 $\phi$ 26	1 672
	30 $\phi$ 30	2 778
1,20	16 $\phi$ 24	1 235
	26 $\phi$ 26	2 330
	38 $\phi$ 30	4 333
1,50	24 $\phi$ 24	2 411
	40 $\phi$ 26	4 551
	44 $\phi$ 30	6 553

(\*) Il valore di  $M_Y$  è calcolato per  $R_{ck} = 250$  e con FeB38K; si è assunto un copriferro di 5 cm.

**-- Carico Limite Orizzontale - (Hp palo vincolato e terreno incoerente) --**

Nella fase di calcolo occorre verificare se il meccanismo di rottura del palo è per:

- **Palo corto** ⇒ (plasticizzazione terreno);
- **Palo intermedio** ⇒ (plasticizzazione palo).
- **Palo lungo**

Il riferimento bibliografico di quando riportato di seguito è il § 13.2.5 del Viggiani.

**• HP1: Palo CORTO**

Con tale meccanismo si ipotizza che non si formino cerniera plastiche sul fusto del palo (*Figura 4.7*).

Affinché l'ipotesi sia valida, e procedere al calcolo di  $H_{lim}$ , occorre verificare che (*vedi § 13.2.5 del Viggiani*):

$$M_{max} \leq M_y;$$

dove:

$M_{max}$  = massimo momento flettente nel palo;  
 $M_y$  = momento di plasticizzazione.

Il massimo momento flettente ( $M_{max}$ ) in testa al palo è dato da:

$$M_{max} = \frac{2}{3} \cdot H \cdot L.$$

con:

$L$  = lunghezza/profondità del palo;

$H = 1,5 \cdot L^2 \cdot k_p \cdot \gamma \cdot D$  = azione sul palo, data dall'equilibrio alla traslazione orizzontale;

con:

$\gamma$  = peso specifico del terreno;

$D$  = diametro palo;

$k_p = \text{tg}^2\left(45 + \frac{\phi}{2}\right)$  : coefficiente di spinta passiva;

$\phi$  = angolo di attrito del terreno.

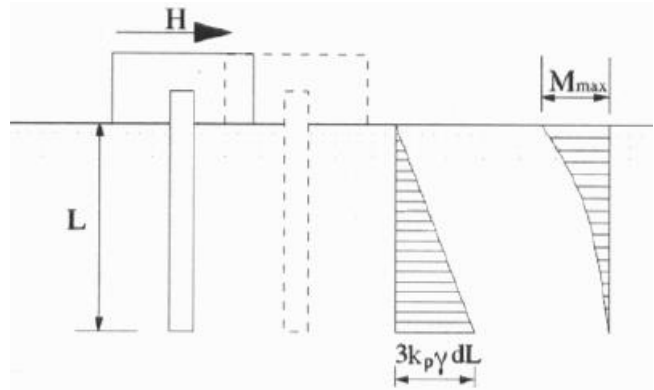


Figura 4.7: Hp palo Corto

Quindi, per il caso in esame:

$L = 5,00 \text{ m};$

$\gamma = 18\,000 \text{ N/m}^3;$

$D = 0,40 \text{ m};$

$\phi = 32^\circ;$

$$k_p = \text{tg}^2\left(45 + \frac{\phi}{2}\right) = \text{tg}^2\left(45 + \frac{32}{2}\right) = 3,25;$$

$$H = 1,5 \cdot L^2 \cdot k_p \cdot \gamma \cdot D = 1,5 \cdot 5,00^2 \cdot 3,25 \cdot 18000 \cdot 0,40 = 878\,739 \text{ N}.$$

Per cui:

$$M_{max} = \frac{2}{3} \cdot H \cdot L = \frac{2}{3} \cdot 878739 \cdot 5,00 = \mathbf{2\,929\,129 \text{ Nm}}.$$

Poiché,  $M_{max}$  è di gran lunga superiore a quello ultimo del palo l'ipotesi di palo "corto" non è valida.

**• HP2: Palo LUNGO**

Con tale meccanismo si ipotizza la formazione sul palo di due cerniere plastiche (*Figura 4.8*):

- una all'attacco palo-fondazione;
- una lungo il fusto del palo a profondità "f".

L'ipotesi è valida se  $f < L$ .

In questa ipotesi il carico limite orizzontale (H) è dato dalla relazione (13.47 del Viggiani):

$$\frac{H}{k_p \cdot \gamma \cdot d^3} = \sqrt[3]{\left(3,674 \cdot \frac{M_y}{k_p \cdot \gamma \cdot d^4}\right)^2} \quad (\text{vedi N.B. 4.8}).$$

Da cui:

$$H = \sqrt[3]{k_p \cdot \gamma \cdot d \cdot (3,674 \cdot M_y)^2}.$$

Quindi, per il caso in esame:

$$\phi = 32^\circ;$$

$$k_p = \text{tg}^2\left(45 + \frac{\phi}{2}\right) = \text{tg}^2\left(45 + \frac{32}{2}\right) = 3,25;$$

$$\gamma = 18\,000 \text{ N/m}^3;$$

$$d = D = 0,40 \text{ m};$$

$$M_y = 69\,019 \text{ Nm}.$$

Per cui:

$$H = \sqrt[3]{3,25 \cdot 18000 \cdot 0,4 \cdot (3,674 \cdot 69019)^2} = \mathbf{114\,589 \text{ N}}.$$

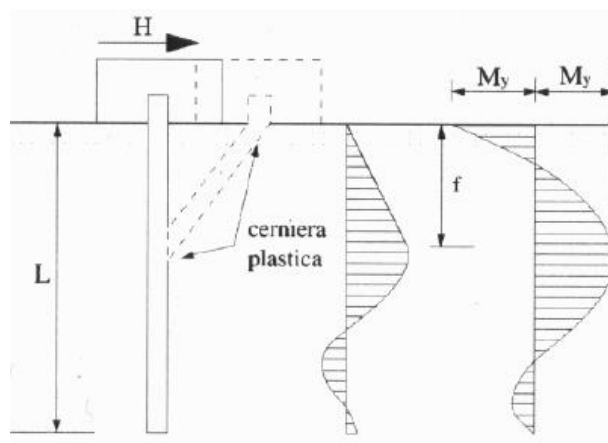


Figura 4.8: Hp palo Lungo

#### N.B. 4.8

Il valore esatto nella (13.40) del Viggiani è  $\sqrt{2/3} = 0,816496$ , per cui il valore esatto sotto radice nella (13.47) è  $3,6742346 (3/\sqrt{2/3})$  e non 3,676.

A questo punto possiamo calcolare la profondità "f" mediante la relazione:

$$f = \frac{3 \cdot M_y}{H} = \frac{3 \cdot 69019}{114589} = \mathbf{1,807 \text{ m}}.$$

Poiché  $f < L$  il palo ha effettivamente comportamento "lungo" e quindi:

$$\mathbf{H = 114\,589 \text{ N}}.$$

#### N.B. 4.9

Se la profondità "f" fosse stata  $\geq L$  -> il comportamento del palo sarebbe stato "intermedio", ossia si sarebbe formata unicamente la cerniera all'attacco con la fondazione.

In tal caso il carico limite orizzontale è dato dalla relazione:

$$H = \frac{M_y}{L} + \frac{1}{2} \cdot k_p \cdot \gamma \cdot D \cdot L^2 \quad (\text{relazione che porta alla 13.46 del Viggiani}).$$

#### -- Resistenza orizzontale ( $Q_{Rd,0}$ ) --

Alla resistenza appena calcolata occorre applicare i coefficienti:

- a) di riduzione per il numero di verticali indagate (NTC 2018 - § 6.4.3.1.1. punto b).

Nel caso in esame sono state effettuate 3 indagini (default), per cui le resistenze vanno ridotte del coefficiente  $\xi_3 = 1,6$  (NTC 2018 - tab. 6.4.IV - N.B. 4.5).

- b) parziale ( $\gamma_R$ ) della tabella 6.4.II.

Nel caso in esame essendo i pali trivellati, dalla colonna (R3) si ha  $\gamma_R = 1,30$  (N.B. 4.10).

#### N.B. 4.10

**Tab. 6.4.II – Coefficienti parziali  $\gamma_R$  da applicare alle resistenze caratteristiche a carico verticale dei pali**

Resistenza	Simbolo	Pali infissi	Pali trivellati	Pali ad elica continua
	$\gamma_R$	(R3)	(R3)	(R3)
Base	$\gamma_b$	1,15	1,35	1,3
Laterale in compressione	$\gamma_s$	1,15	1,15	1,15
Totale (*)	$\gamma$	1,15	1,30	1,25
Laterale in trazione	$\gamma_{st}$	1,25	1,25	1,25

(\*) da applicare alle resistenze caratteristiche dedotte dai risultati di prove di carico di progetto.

Tenendo conto dei suddetti coefficienti la resistenza diventa:

$$Q_{Rd,O} = \frac{H}{\xi_3 \cdot \gamma_R} = \frac{114589}{1,60 \cdot 1,30} = \mathbf{55\ 091\ N.}$$

**-- Carico orizzontale di progetto ( $Q_{Ed,O}$ ) --**

Il carico orizzontale di progetto è dato dalla forza orizzontale ( $F_Y$ ) applicata in testa al pilastro. Quindi, ricordando che si tratta di un carico permanente (*amplificare per 1,30*) si ha:

$$Q_{Ed,O} = 1,3 \cdot F_Y = 1,3 \cdot 20000\ N = \mathbf{26\ 000\ N.}$$

**-- Verifica --**

Il coefficiente di sicurezza è dato da:

$$CS = \frac{Q_{Rd,O}}{Q_{Ed,O}} = \frac{55091}{26000} = \mathbf{2,12.}$$

**-- Confronto --**

Relativamente al carico limite orizzontale, di seguito si riporta il confronto tra il calcolo manuale e quello di EdiLus:

Plinto su Pali 1	Fondazione
$Id_{Nd,sup}$	00001
$Q_{Ed,V}$	-
$Q_{Ed,O}$	26.000
$Q_{Rd,V}$	-
$Q_{Rd,V,Pt}$	-
$Q_{Rd,V,Lt}$	-
$Q_{Rd,O}$	55.091
$M_{max,O}$	69019
T.R.	Palo Lungo
$Z_{c,pls}$	1,81
$CS_V$	-
$CS_O$	2,12

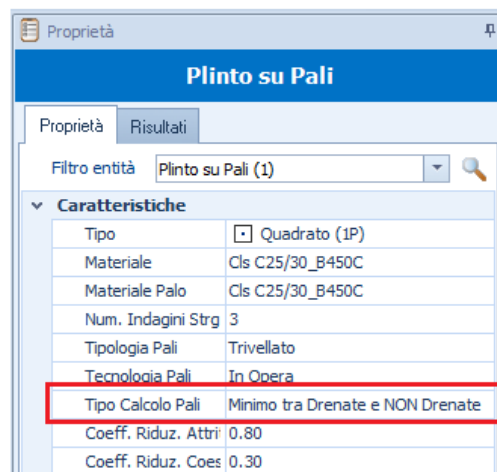
Calcolo Manuale

Plinto su Pali 1	Fondazione
$Id_{Nd,sup}$	00001
$Q_{Ed,V}$	160.743
$Q_{Ed,O}$	26.000
$Q_{Rd,V}$	238.675
$Q_{Rd,V,Pt}$	192.292
$Q_{Rd,V,Lt}$	46.383
$Q_{Rd,O}$	55.120
$M_{max,O}$	69019
T.R.	Palo Lungo
$Z_{c,pls}$	1,81
$CS_V$	1,48
$CS_O$	2,12

EdiLus

## Esempio 2 (Terreno Coerente)

Nelle proprietà del plinto su Pali è stato scelto di effettuare un calcolo che dia i valori minimi del carico limite tra quello calcolato in condizioni drenate ed in condizioni non drenate.



Proprietà	
<b>Plinto su Pali</b>	
Proprietà	Risultati
Filtro entità	Plinto su Pali (1)
<b>Caratteristiche</b>	
Tipo	Quadrato (1P)
Materiale	Cls C25/30_B450C
Materiale Palo	Cls C25/30_B450C
Num. Indagini Strg	3
Tipologia Pali	Trivellato
Tecnologia Pali	In Opera
Tipo Calcolo Pali	Minimo tra Drenate e NON Drenate
Coeff. Riduz. Attri	0.80
Coeff. Riduz. Coes	0.30

### - Condizioni Drenate e Non Drenate -

Drenate	Non Drenate
Si considera sia l'attrito ( $\phi$ ) che la coesione efficace ( $c' = 0$ nel caso in esame).	Si considera l'angolo di attrito nullo ( $\phi = 0$ ) e la coesione non drenata ( $c_u$ ).

### -- Carico Limite Verticale (Punta e Laterale) --

Il carico limite verticale ( $Q_{lim,v}$ ) secondo Berezantzev è dato:

$$Q_{lim,v} = Q_p + Q_L$$

#### • Resistenza alla Punta ( $Q_p$ )

La resistenza alla punta, in generale, vale:

$$Q_p = \frac{\pi \cdot D^2}{4} \cdot (N_q \cdot \sigma_{VL} + N_c \cdot c)$$

Drenate	Non Drenate
<p>Nel caso in esame i suddetti parametri assumono i valori:</p> <p><math>L = 5,00</math> m;  <math>D = 0,40</math> m;  <math>L/D = 12,5</math>;  <math>\gamma_t = 17000</math> N/m<sup>3</sup>;  <math>\phi = 10^\circ</math>;  <math>N_q = N_q(12,5; 10) = 2,994</math> (preso dalla tabella di <b>Berezantzev</b>);  <math>Z_{sv} = 0,65</math> m;  <math>Z_{pl} = (5,00 + 0,65)</math> m = 5,65 m;  <math>\sigma_v = 17000 \cdot 5,65 = 96050</math> N/m<sup>2</sup>;  <math>N_c = (2,994 - 1) \cdot \text{ctg}10 = 11,31</math>;  <math>c = c' = 0</math>.</p> <p>Pertanto, la resistenza alla PUNTA vale:</p> $Q_p = \pi \cdot \frac{D^2}{4} \cdot (N_q \cdot \sigma_{VL} + N_c \cdot c) =$ $= \pi \cdot \frac{0,40^2}{4} \cdot (2,994 \cdot 96050 + 11,31 \cdot 0) =$ <p><b>= 36 138 NN.</b></p>	<p>Nel caso in esame i suddetti parametri assumono i valori:</p> <p><math>L = 5,00</math> m;  <math>D = 0,40</math> m;  <math>L/D = 12,5</math>;  <math>\gamma_t = 17000</math> N/m<sup>3</sup>;  <math>\phi = 0^\circ</math>;  <math>N_q = 1,00</math> (<b>N.B. 4.11</b>);  <math>Z_{sv} = 0,65</math> m;  <math>Z_{pl} = (5,00 + 0,65)</math> m = 5,65 m;  <math>\sigma_v = 17000 \cdot 5,65 = 96050</math> N/m<sup>2</sup>;  <math>N_c = 9,00</math> (<b>N.B. 4.11</b>);  <math>c = c_u = 150000</math> N/m<sup>2</sup>.</p> <p>Pertanto, la resistenza alla PUNTA vale:</p> $Q_p = \pi \cdot \frac{D^2}{4} \cdot (N_q \cdot \sigma_{VL} + N_c \cdot c) =$ $= \pi \cdot \frac{0,40^2}{4} \cdot (1,00 \cdot 96050 + 9,00 \cdot 150000) =$ <p><b>= 181 716 N.</b></p>

#### N.B. 4.11

Per pali in terreni coerenti (argilla) in condizioni non drenate ( $\phi = 0$ ,  $c = c_u$ ) si assumono i seguenti valori di  $N_c$  e  $N_q$  proposti da Skempton:

$N_c = 9,00$  (valore in corrispondenza della punta del palo);  
 $N_q = 1,00$ .

### • Resistenza Laterale ( $Q_L$ )

Il calcolo della resistenza laterale viene effettuato mediante la relazione:

$$Q_L = \pi \cdot D \cdot L \cdot s,$$

Drenate	Non Drenate
<p>Nel caso in esame i suddetti parametri assumono i valori:</p> <p>L = 5,00 m;  D = 0,40 m;  <math>\alpha = 0,30</math>;  c = 0;  <math>\phi = 10^\circ</math>;  A = 0,80;  k = 0,50 (vedi Figura 4.4 - Palo Trivellato in terreno sciolto);  <math>Z_{pl,1} = (0,65 + 5,00/2) \text{ m} = 3,15 \text{ m}</math>;  <math>\sigma_{vm} = 17000 \cdot 3,15 = 53550 \text{ N/m}^2</math>;  <math>\sigma_h = k \cdot \sigma_{vm} = 0,50 \cdot 53550 = 26775 \text{ N/m}^2</math>;  <math>\mu = \frac{\text{tg}(\phi \cdot A)}{\gamma_M} = \frac{\text{tg}(10 \cdot 0,80)}{1,0} = 0,14</math>;</p> <p>Quindi:</p> <p><math>s = \alpha \cdot c + \sigma_h \cdot \mu = 0,30 \cdot 0 + 26775 \cdot 0,14 = 3763 \text{ N/m}^2</math>.</p> <p>Pertanto, la resistenza LATERALE vale:</p> <p><math>Q_L = \pi \cdot D \cdot L \cdot s = \pi \cdot 0,40 \cdot 5,00 \cdot 3763 = \mathbf{23\ 644\ N}</math>.</p>	<p>Nel caso in esame i suddetti parametri assumono i valori:</p> <p>L = 5,00 m;  D = 0,40 m;  <math>\alpha = 0,30</math>;  c = <math>c_u = 150000 \text{ N/m}^2</math>;  <math>\phi = 0^\circ</math>;  A = 0,80;  k = 0,50;  <math>Z_{pl,1} = (0,65 + 5,00/2) \text{ m} = 3,15 \text{ m}</math>;  <math>\sigma_{vm} = 17000 \cdot 3,15 = 53550 \text{ N/m}^2</math>;  <math>\sigma_h = k \cdot \sigma_{vm} = 0,50 \cdot 53550 = 26775 \text{ N/m}^2</math>;  <math>\mu = \frac{\text{tg}(\phi \cdot A)}{\gamma_M} = \frac{\text{tg}(0 \cdot 0,80)}{1,0} = 0</math>.</p> <p>Quindi:</p> <p><math>s = \alpha \cdot c + \sigma_h \cdot \mu = 0,30 \cdot 150000 + 26775 \cdot 0 = 4500 \text{ N/m}^2</math>.</p> <p>Pertanto, la resistenza LATERALE vale:</p> <p><math>Q_L = \pi \cdot D \cdot L \cdot s = \pi \cdot 0,40 \cdot 5,00 \cdot 4500 = \mathbf{282\ 743\ N}</math>.</p>

### • Resistenza Totale

Alle due resistenze appena calcolate occorre applicare i coefficienti  $\xi_3 (1,6)$  e  $\gamma_R$  (base 1,35 e laterale 1,15). Tenendo conto dei suddetti coefficienti le resistenze diventano:

Drenate	Non Drenate
$Q_{RdV,Pt} = \frac{Q_P}{\xi_3 \cdot \gamma_R} = \frac{36138}{1,60 \cdot 1,35} = 16\ 731 \text{ N}$	$Q_{RdV,Pt} = \frac{Q_P}{\xi_3 \cdot \gamma_R} = \frac{181716}{1,60 \cdot 1,35} = 84\ 128 \text{ N}$
$Q_{RdV,Lt} = \frac{Q_L}{\xi_3 \cdot \gamma_R} = \frac{23644}{1,60 \cdot 1,15} = 12\ 850 \text{ N}$	$Q_{RdV,Lt} = \frac{Q_L}{\xi_3 \cdot \gamma_R} = \frac{282743}{1,60 \cdot 1,15} = 153\ 665 \text{ N}$
<p>Per cui la resistenza totale vale:</p> <p><math>Q_{RdV} = Q_{RdV,Pt} + Q_{RdV,Lt} = 16\ 731 \text{ N} + 12\ 850 \text{ N} = \mathbf{29\ 581\ N}</math>.</p>	<p>Per cui la resistenza totale vale:</p> <p><math>Q_{RdV} = Q_{RdV,Pt} + Q_{RdV,Lt} = 84\ 128 \text{ N} + 153\ 665 \text{ N} = \mathbf{237\ 793\ N}</math>.</p>

### -- Resistenza verticale ( $Q_{Rd,V}$ ) --

Avendo ipotizzato il calcolo del carico limite verticale come minimo tra la condizione drenata e non drenata risulta:

Drenate	Non Drenate	Minimo
$Q_{Rd,V,Dr}$ [N] 29 581	$Q_{Rd,V,NDr}$ [N] 237 793	$Q_{Rd,V}$ [N] <b>29 581</b>

### -- Carico verticale di progetto ( $Q_{Ed,V}$ ) --

Il carico verticale di progetto è dato dalla somma del peso del Pilastro ( $P_{Pii}$ ) + peso del Plinto ( $P_{PIn}$ ) + carico in testa ( $F_Z$ ) + la differenza tra il peso del palo ( $P_{Palo}$ ) ed il peso del terreno asportato ( $P_{ta}$ ) (in presenza di falda viene sottratta l'eventuale spinta dell'acqua).

Quindi:

$$Q_{Ed,V} = P_{Pii} + P_{PIn} + F_Z + (P_{Palo} - P_{ta}),$$

dove:

$$P_{Pii} = 25000 \text{ N/m}^3 \cdot (0,30 \text{ m} \cdot 0,50 \text{ m} \cdot 3,00 \text{ m}) = 11\ 250 \text{ N};$$

$$P_{PIn} = 25000 \text{ N/m}^3 \cdot (0,80 \text{ m} \cdot 0,80 \text{ m} \cdot 0,50 \text{ m}) = 8\ 000 \text{ N};$$

$$F_Z = 100000 \text{ N};$$

$$P_{Palo} = \gamma_{cls} \cdot \frac{\pi \cdot D^2}{4} \cdot L = 25000 \cdot \frac{\pi \cdot 0,40^2}{4} \cdot 5,00 = 15\ 708 \text{ N};$$

$$P_{ta} = \gamma_t \cdot \frac{\pi \cdot D^2}{4} \cdot L = 17000 \cdot \frac{\pi \cdot 0,40^2}{4} \cdot 5,00 = 10\,681 \text{ N.}$$

Quindi, ricordando che si tratta di un carico permanente (*occorre amplificare per 1,30*) si ha:

$$Q_{Ed,V} = 1,30 \cdot [P_{Pil} + P_{Pln} + F_z + (P_{Palo} - P_{ta})] = 1,30 \cdot [11\,250 \text{ N} + 8\,000 \text{ N} + 100\,000 \text{ N} + (15\,708 - 10\,681) \text{ N}] = 1,30 \cdot 124\,276 \text{ N} = \mathbf{161\,560 \text{ N.}}$$

### -- Verifica --

Il coefficiente di sicurezza è dato da:

$$CS = \frac{Q_{Rd,V}}{Q_{Ed}} = \frac{29581}{161560} = \mathbf{0,18.}$$

### -- Confronto --

Relativamente al carico limite verticale, di seguito si riporta il confronto tra il calcolo manuale e quello di EdiLus:

Plinto su Pali 1	Fondazione
Id <sub>Nd,sup</sub>	00001
Q <sub>Ed,V</sub>	161.560
Q <sub>Ed,O</sub>	-
Q <sub>Rd,V</sub>	29.581
Q <sub>Rd,V,Pt</sub>	16.731
Q <sub>Rd,V,Lt</sub>	12.850
Q <sub>Rd,O</sub>	-
M <sub>max,O</sub>	
T.R.	-
Z <sub>c,pls</sub>	-
CS <sub>v</sub>	0,18
CS <sub>o</sub>	-

Calcolo Manuale

Plinto su Pali 1	Fondazione
Id <sub>Nd,sup</sub>	00001
Q <sub>Ed,V</sub>	161.560
Q <sub>Ed,O</sub>	26.000
Q <sub>Rd,V</sub>	29.582
Q <sub>Rd,V,Pt</sub>	16.732
Q <sub>Rd,V,Lt</sub>	12.850
Q <sub>Rd,O</sub>	86.561
M <sub>max,O</sub>	69019
T.R.	Palo Lungo
Z <sub>c,pls</sub>	0,93
CS <sub>v</sub>	0,18
CS <sub>o</sub>	3,33

**Il coefficiente di sicurezza per carichi verticali è inferiore al minimo consentito.**

EdiLus

### - Palo caricato da forze orizzontali (Broms) -

Anche in questo caso valgono le considerazioni fatte per il terreno incoerente.

### -- Momento plastico del palo --

Nel caso in esame la sezione del palo è armata con 6  $\phi$  16, per cui dall'interpolazione (**N.B. 4.7**) si ottiene:

$$M_y = \mathbf{69\,019 \text{ Nm.}}$$

### -- Carico Limite Orizzontale - (Hp palo vincolato e terreno incoerente) --

Il riferimento bibliografico di quando riportato di seguito è il § 13.2.3 del Viggiani.

#### • HP1: Palo CORTO

Con tale meccanismo si ipotizza che non si formano cerniera plastiche sul fusto del palo (*Figura 4.9*).

Affinché l'ipotesi sia valida, e procedere al calcolo di  $H_{lim}$ , occorre verificare che (vedi § 13.2.5 del Viggiani):

$$M_{max} \leq M_y;$$

dove:

$M_{max}$  = massimo momento flettente nel palo;

$M_y$  = momento di plasticizzazione.

Il massimo momento flettente ( $M_{max}$ ) in testa al palo in caso di terreno incoerente è dato da:

$$M_{max} = c_u \cdot d^3 \cdot \left[ 4,5 \cdot \left( \frac{L}{d} \right)^2 - 10,125 \right].$$

con:

$c_u$  = coesione non drenata;

$D$  = diametro palo;

$L$  = lunghezza/profondità del palo.

Quindi, per il caso in esame:

$$c_u = 5,00 \text{ N/mm}^2 = 150\,000 \text{ N/m}^2;$$

$$d = D = 0,40 \text{ m};$$

$$L = 5,00 \text{ m}.$$

Per cui:

$$M_{max} = c_u \cdot d^3 \cdot \left[ 4,5 \cdot \left( \frac{L}{d} \right)^2 - 10,125 \right] = 150000 \cdot 0,40^3 \cdot \left[ 4,5 \cdot \left( \frac{5,00}{0,40} \right)^2 - 10,125 \right] = \mathbf{6\,652\,800 \text{ Nm}}.$$

Poiché,  $M_{max}$  è di gran lunga superiore a quello ultimo del palo l'ipotesi di palo "corto" non è valida.

### • HP2: Palo LUNGO

Con tale meccanismo si ipotizza la formazione sul palo di due cerniere plastiche (Figura 4.10):

- una all'attacco palo-fondazione;
- una lungo il fusto del palo a profondità "f".

L'ipotesi è valida se  $f < L$ .

In questa ipotesi il carico limite orizzontale ( $H$ ) è dato dalla relazione (13.36 del Viggiani):

$$\frac{H}{c_u \cdot d^2} = -13,5 + \sqrt{182,25 + 36 \cdot \frac{M_y}{c_u \cdot d^3}}.$$

Da cui:

$$H = c_u \cdot d^2 \cdot \left[ -13,5 + \sqrt{182,25 + 36 \cdot \frac{M_y}{c_u \cdot d^3}} \right].$$

Quindi, per il caso in esame:

$$c_u = 5,00 \text{ N/mm}^2 = 150\,000 \text{ N/m}^2;$$

$$d = D = 0,40 \text{ m};$$

$$M_y = 69\,019 \text{ Nm}.$$

Per cui:

$$H = c_u \cdot d^2 \cdot \left[ -13,5 + \sqrt{182,25 + 36 \cdot \frac{M_y}{c_u \cdot d^3}} \right] = 150000 \cdot 0,4^2 \cdot \left[ -13,5 + \sqrt{182,25 + 36 \cdot \frac{69019}{150000 \cdot 0,4^3}} \right] = 180\,183 \text{ N}.$$

A questo punto possiamo calcolare la profondità "f" mediante la relazione (13.33 - Viggiani):

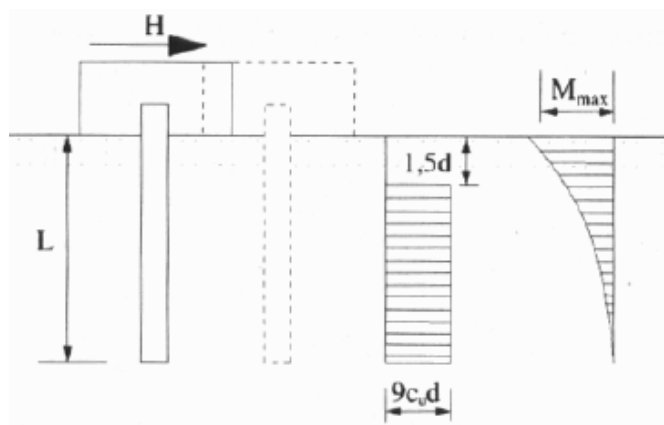


Figura 4.9: Hp palo Corto

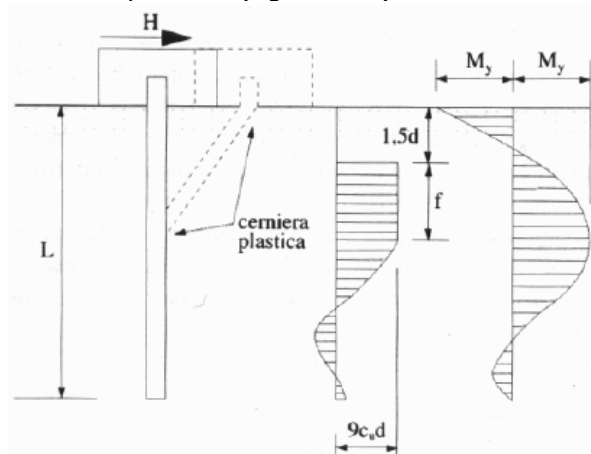


Figura 4.10: Hp palo Lungo

$$f = \frac{H}{9 \cdot c_u \cdot d} = \frac{164005}{9 \cdot 150000 \cdot 0,40} = 0,334 \text{ m,}$$

a cui bisogna sommare  $1,5 \cdot d = 0,600 \text{ m}$  per considerare la parte inefficiente di inizio palo, ottenendo in totale:

$$f_{\text{tot}} = 0,334 \text{ m} + 0,600 \text{ m} = 0,934 \text{ m.}$$

Poiché  $f_{\text{tot}} < L$  il palo ha effettivamente comportamento "lungo" e quindi:

$$H = 180\,183 \text{ N.}$$

### -- Resistenza orizzontale ( $Q_{Rd,O}$ ) --

Alla resistenza appena calcolata occorre applicare i coefficienti  $\xi_3$  (1,6) e  $\gamma_R$  (1,30). Tenendo conto dei suddetti coefficienti la resistenza diventa:

$$Q_{Rd,O} = \frac{H}{\xi_3 \cdot \gamma_R} = \frac{180183}{1,60 \cdot 1,30} = 86\,626 \text{ N.}$$

### -- Carico orizzontale di progetto ( $Q_{Ed,O}$ ) --

Il carico orizzontale di progetto è dato dalla forza orizzontale ( $F_Y$ ) applicata in testa al pilastro. Quindi, ricordando che si tratta di un carico permanente (*amplificare per 1,30*) si ha:

$$Q_{Ed,O} = 1,3 \cdot F_Y = 1,3 \cdot 20000 \text{ N} = 26\,000 \text{ N.}$$

### -- Verifica --

Il coefficiente di sicurezza è dato da:

$$CS = \frac{Q_{Rd,O}}{Q_{Ed,O}} = \frac{86626}{26000} = 3,33.$$

### -- Confronto --

Relativamente al carico limite orizzontale, di seguito si riporta il confronto tra il calcolo manuale e quello di EdiLus:

Plinto su Pali 1	Fondazione
<b>Id<sub>Nd,sup</sub></b>	00001
<b>Q<sub>Ed,V</sub></b>	-
<b>Q<sub>Ed,O</sub></b>	26.000
<b>Q<sub>Rd,V</sub></b>	-
<b>Q<sub>Rd,V,Pt</sub></b>	-
<b>Q<sub>Rd,V,Lt</sub></b>	-
<b>Q<sub>Rd,O</sub></b>	86.626
<b>M<sub>max,O</sub></b>	69019
<b>T.R.</b>	Palo Lungo
<b>Z<sub>c,pls</sub></b>	0,93
<b>CS<sub>v</sub></b>	-
<b>CS<sub>o</sub></b>	3,33

Calcolo Manuale

Plinto su Pali 1	Fondazione
<b>Id<sub>Nd,sup</sub></b>	00001
<b>Q<sub>Ed,V</sub></b>	161.560
<b>Q<sub>Ed,O</sub></b>	26.000
<b>Q<sub>Rd,V</sub></b>	29.582
<b>Q<sub>Rd,V,Pt</sub></b>	16.732
<b>Q<sub>Rd,V,Lt</sub></b>	12.850
<b>Q<sub>Rd,O</sub></b>	86.561
<b>M<sub>max,O</sub></b>	69019
<b>T.R.</b>	Palo Lungo
<b>Z<sub>c,pls</sub></b>	0,93
<b>CS<sub>v</sub></b>	0,18
<b>CS<sub>o</sub></b>	3,33

**Il coefficiente di sicurezza per carichi verticali è inferiore al minimo consentito.**

EdiLus

## 5 (GEO) - Test di Validazione n.05 (Q<sub>lim</sub> Pali in stratigrafia)

Titolo: **Verifica di carico limite dei pali in stratigrafia.**

I file di EdiLus (CA) sono: **GEO\_Palo\_Stratigrafia.EDL.**

Si espone di seguito il procedimento di calcolo adottato per la verifica di carico limite dei pali in presenza di stratigrafia.

In EdiLus il carico limite dei pali viene calcolato con la metodologia di:

- **Berezantzev**, se caricati con forze assiali.
- **Broms**, se caricati con forze orizzontali.

Per semplicità di esposizione si fa riferimento ad un esempio costituito da un plinto monopalo in un terreno omogeneo costituito da due strati.

### Dati

#### - Analisi/Verifiche -

- Analisi sismica: Nessuna.
- Verifiche di sicurezza: Approccio 2 ( $A1 + M1 + R3$  - NTC 2018 § 6.4.3.1).

#### - Palo - (Figura 5.1 e Figura 5.2)

- Diametro (D) = 0,40 m.
- Lunghezza (L) = 5,00 m.
- Tipologia = Trivellato.
- Tecnologia = in opera.
- Numero indagini stratigrafiche = 3.
- Coefficiente di riduzione Attrito pali (A) = 0,80.
- Coefficiente di riduzione Coesione pali ( $\alpha$ ) = 0,80.
- Terreno/Stratigrafia = Val\_Stratigrafia.
- Profondità di scavo ( $Z_{sv}$ ) = 0,00 m.
- Materiale = Cls C25/30\_B450C (con peso specifico  $\gamma_c = 25\ 000\ N/m^3$ ).

#### - Plinto monopalo - (Figura 5.1)

- Lunghezza ( $B_{pl}$ ) = 0,80 m.
- Larghezza ( $L_{pl}$ ) = 0,80 m.
- Altezza ( $H_{pl}$ ) = 0,50 m.
- Spessore magrone ( $s_m$ ) = 0,00 m.
- Materiale = Cls C25/30\_B450C (con peso specifico  $\gamma_c = 25\ 000\ N/m^3$ ).

#### - Pilastro - (Figura 5.1)

Caratteristiche di default, ed in particolare:

- Base ( $B_p$ ) = 0,30 m.
- Altezza sezione ( $H_p$ ) = 0,50 m.
- Altezza (h) = 3,00 m.
- Materiale = Cls C25/30\_B450C (con peso specifico  $\gamma_c = 25\ 000\ N/m^3$ ).

#### - Forze - (Figura 5.2)

- Forza ( $F_z$ ) concentrata verticale di **100 000 N** (Condizione di carico -> Permanente) applicata in testa al pilastro e diretta secondo -Z.
- Forza ( $F_y$ ) concentrata orizzontale di **20 000 N** (Condizione di carico -> Permanente) applicata in testa al pilastro e diretta secondo +Y.

#### - Terreni/Stratigrafia - (Figura 5.5)

La stratigrafia è costituita dai seguenti terreni omogenei:

Strato I -> per una profondità di 2,00 m, il terreno "S1-Argilla fluviolacustre sabbiosa", con le caratteristiche riportate nella Figura 5.6;

Strato II -> per una profondità infinita (3,00 m sul palo), il terreno "S2-Pozzolana sciolta (sabbia limosa)", con

le caratteristiche riportate nella *Figura 5.7*.

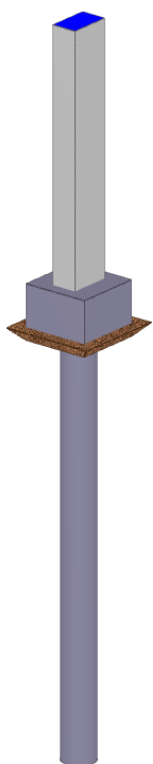


Figura 5.1: vista - "Editor 3D"



Figura 5.2: vista - "Forze e Momenti (utente)"

Plinto su Pali	
Proprietà	Risultati
Filtro entità Plinto su Pali (1)	
<b>Caratteristiche</b>	
Tipo	Quadrato (1P)
Materiale	Cls C25/30_B450C
Materiale Pali	Cls C25/30_B450C
Num. Indagini Strg. Significative	3
Tipologia Pali	Trivellato
Tecnologia Pali	In Opera
Tipo Calcolo Pali	Minimo tra Drenate e NON Drenate
Coeff. Riduz. Attrito Pali (A)	0.80
Coeff. Riduz. Coesione Pali (alfa)	0.30
<b>Geotecnica</b>	
Terreno/Stratigrafia	Val_Stratigrafia
Profondità scavo rispetto a piano	0.00
Presenza falda	<input type="checkbox"/>
Carico Limite noto	...cambia...
<b>Geometria</b>	
Altezza	0.50
Rotazione	0.00
Diametro Pali [cm]	40
Lunghezza Pali	5.00
Interasse Pali	1.20
Sporgenza Pali	0.20

Figura 5.3: proprietà Plinto su Pali

Le "Preferenze per le fondazioni profonde" sono quelle di default (*Figura 5.4*).

Preferenze per fondazioni DIRETTE		Preferenze per fondazioni PROFONDE	
<b>Generali</b>			
Numero Indagini Stratigrafiche Effettuate	3		
<b>Coefficiente trasformazione della Pressione sui PALI da Verticale in Orizzontale</b>			
Palo Prefabbricato Battuto in terreno Sciolto	[0.70 ~ 1.00]	0.70	
Palo in Opera Battuto in terreno Sciolto	[0.70 ~ 1.00]	1.00	
Palo Prefabbricato Battuto in terreno Denso	[1.00 ~ 3.00]	2.00	
Palo in Opera Battuto in terreno Denso	[1.00 ~ 3.00]	3.00	
Palo Trivellato in terreno Sciolto	[0.50]	0.50	
Palo Trivellato in terreno Denso	[0.40]	0.40	
<b>Coefficiente Parziale per Pali Battuti e Resistenze Verticali</b>			
Tipo di Resistenza	R1	R2	R3
alla Punta	1.00	1.45	1.15
Laterale in Compressione	1.00	1.45	1.15
Totale	1.00	1.45	1.15
Laterale in Trazione	1.00	1.60	1.25
<b>Coefficiente Parziale per Pali Trivellati e Resistenze Verticali</b>			
Tipo di Resistenza	R1	R2	R3
alla Punta	1.00	1.70	1.35
Laterale in Compressione	1.00	1.45	1.15
Totale	1.00	1.60	1.30
Laterale in Trazione	1.00	1.60	1.25
<b>Coefficiente Parziale per le Resistenze Orizzontali</b>			
R1: Approccio 1, Combinazione 1	1.00		
R2: Approccio 1, Combinazione 2	1.60		
R3: Approccio 2, Combinazione 2	1.30		
R4: Approccio 3	1.60		

Figura 5.4: preferenze per fondazioni profonde

Stratigrafia Terreni	
Stratigrafia terreni	
<b>Caratteristiche Generiche</b>	
Descrizione Val_Stratigrafia	
Quota iniziale della Stratigrafia	[m] -0.50
<input type="checkbox"/> Profondità della FALDA (dalla quota iniziale)	[m] 0.00
N.B. La quota iniziale ha lo stesso riferimento delle QUOTE dei Piani (riferita alla quota 0.00 dell'Edificio)	
Strato	Quota Spessore
S1-Argilla fluviolacustre sabbiosa	-0.50
S2-Pozzolana sciolta (sabbia limosa)	2.00
	-2.50
Spessore dello Strato	[m] 2.00
Comportamento dello Strato	coerente
Addensamento dello Strato	sciolto
Variazione con la profondità del Modulo Edometrico	nulla

Figura 5.5: stratigrafia terreni

Caratteristiche		Grafica	
<b>Caratteristiche del Terreno</b>			
Descrizione: S1-Argilla fluviolacustre sabbiosa			
Peso unità di volume	[N/m³]	17	000
Costante di sottofondo in direzione X	[N/cm²]	10	
Costante di sottofondo in direzione Y	[N/cm²]	10	
Costante di sottofondo in direzione Z	[N/cm²]	30	
Angolo di attrito del terreno	[gradi sessadecimali]	10	
Coesione Non Drenata	[N/mm²]	0.150	
Coesione Efficace	[N/mm²]	0.000	
Modulo edometrico	[N/mm²]	15	
Modulo Elastico in Condizioni non drenate	[N/mm²]	60	
Parametro A Skempton-Bjerrum per Pressioni Interstiziali		0.750	
Considera come stratigrafia monostrato <input checked="" type="checkbox"/>			
Comportamento dello Strato		coerente	
Addensamento dello Strato		sciolto	
Variazione con la profondità del Modulo Edometrico		nulla	

Figura 5.6: Terreno I Strato

Caratteristiche		Grafica	
<b>Caratteristiche del Terreno</b>			
Descrizione: S2-Pozzolana sciolta (sabbia limosa)			
Peso unità di volume	[N/m³]	18	000
Costante di sottofondo in direzione X	[N/cm²]	60	
Costante di sottofondo in direzione Y	[N/cm²]	60	
Costante di sottofondo in direzione Z	[N/cm²]	200	
Angolo di attrito del terreno	[gradi sessadecimali]	32	
Coesione Non Drenata	[N/mm²]	0.000	
Coesione Efficace	[N/mm²]	0.000	
Modulo edometrico	[N/mm²]	60	
Modulo Elastico in Condizioni non drenate	[N/mm²]	1	
Parametro A Skempton-Bjerrum per Pressioni Interstiziali		0.000	
Considera come stratigrafia monostrato <input checked="" type="checkbox"/>			
Comportamento dello Strato		incoerente	
Addensamento dello Strato		sciolto	
Variazione con la profondità del Modulo Edometrico		nulla	

Figura 5.7: Terreno II Strato

## Carico Limite Verticale (Berezantzev)

Il carico limite verticale ( $Q_{lim,V}$ ) secondo Berezantzev è dato dalla somma di una resistenza alla punta ( $Q_p$ ) ed una resistenza laterale ( $Q_L$ ):

$$Q_{lim,V} = Q_p + Q_L$$

dove:

$Q_p$  = aliquota del carico limite verticale dovuto alla resistenza alla punta;

$Q_L$  = aliquota del carico limite verticale dovuto alla resistenza laterale.

### - Resistenza alla Punta ( $Q_p$ ) -

La resistenza alla punta, in generale, vale:

$$Q_p = \frac{\pi \cdot D^2}{4} \cdot (N_q \cdot \sigma_{VL} + N_c \cdot c)$$

Dove:

$N_q = N_q(L/D; \phi)$ : preso dalla tabella [funzione del rapporto lunghezza/diametro palo ( $L/D$ ) e dell'angolo di attrito ( $\phi$ )] proposta da **Berezantzev (N.B. 4.11)**;

$L$  = lunghezza palo;

$D$  = diametro del palo;

$\phi$  = angolo di attrito del terreno.

$\sigma_{VL} = \gamma_t \cdot Z_{pl}$  = pressione litostatica alla punta del palo;

$\gamma_t$  = peso specifico del terreno;

$Z_{pl}$  = distanza della punta del palo dal piano campagna ( $L + Z_{sv}$ );

$Z_{sv}$  = profondità di scavo;

$N_c = (N_q - 1) \cdot \text{ctg} \phi$ : relazione di trasformazione;

$c$  = coesione efficace.

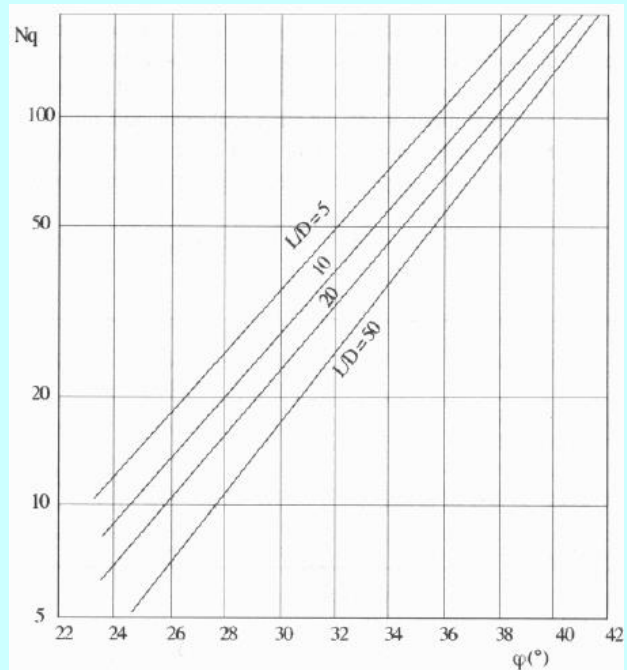
Nel caso in esame, a tale resistenza fornisce contributo esclusivamente il terreno (*incoerente*) dello Strato II:

**Contributo Strato II (Incoerente)**

Drenate	Non Drenate
<p>Nel caso in esame i suddetti parametri assumono i valori:</p> <p> <math>L = 5,00 \text{ m};</math>  <math>D = 0,40 \text{ m};</math>  <math>L/D = 12,5;</math>  <math>\phi = 32^\circ;</math>  <math>N_q = N_q(12,5; 32) = 32,5</math> (preso dalla tabella di <b>Berezantzev</b>);  <math>N_c = (N_q - 1) \cdot \text{ctg}\phi = 50,41;</math>  <math>\sigma_{VL} = \sigma_{VL,I} + \sigma_{VL,II} = 17000 \cdot 2,00 + 18\ 000 \cdot 3,00 = 88\ 000 \text{ N/m}^2;</math>  <math>\sigma_{VL,I} = \gamma_{t,I} \cdot Z_I = 17000 \cdot Z_I = 17\ 000 \cdot 2,00 = 34\ 000 \text{ N/m}^2;</math>  <math>\sigma_{VL,II} = \gamma_{t,II} \cdot Z_{II} = 18000 \cdot 3,00 = 54\ 000 \text{ N/m}^2;</math>  <math>Z_I = (h_1 - Z_{sv}) \text{ m} = 2,00 \text{ m}</math> (profondità del I strato);  <math>Z_{II} = h_2 = 3,00 \text{ m}</math> (altezza II strato);  <math>c = c_{II} = 0</math> (coesione II strato).                 </p> <p>Pertanto, la resistenza alla PUNTA vale:</p> $Q_p = \pi \cdot \frac{D^2}{4} \cdot (N_q \cdot \sigma_{VL} + N_c \cdot c) =$ $= \pi \cdot \frac{0,40^2}{4} \cdot (32,5 \cdot 88000 + 50,41 \cdot 0) = \mathbf{359\ 398 \text{ N.}}$	<p>Contributo non calcolato (<b>N.B. 5.2</b>). Si considera quello ottenuto in condizioni DRENATE.</p>

**N.B. 5.1**

Di seguito si riporta la tabella proposta da **Berezantzev** per il calcolo di  $N_q$  (abaco figura 13.6 del libro "FONDAZIONI" del prof. Carlo Viggiani, editore Hevelius).


**N.B. 5.2**

In EdiLus, quando un terreno è **INCOERENTE** viene eseguito il calcolo sempre in condizioni **DRENATE**.

**- Resistenza Laterale (Ql) -**

Il calcolo della resistenza laterale viene effettuato mediante la relazione:

$$Q_l = \pi \cdot D \cdot L \cdot s,$$

dove:

L = lunghezza del palo;

D = diametro del palo;

$s = \alpha \cdot c + \sigma_h \cdot \mu$  : "pressione orizzontale agente lungo il fusto",

$\alpha$  = coefficiente di riduzione della coesione (**N.B. 5.3**);

c = coesione;

$\sigma_h = k \cdot \sigma_v$  : tensione/pressione orizzontale nel terreno alla base del palo;

- $k$  = coefficiente di trasformazione della pressione da verticale ad orizzontale (**N.B. 5.4**);  
 $\sigma_{vm} = \gamma_t \cdot Z_{pl,1}$  = pressione litostatica al centro del palo (*poiché la pressione litostatica aumenta linearmente lungo il fusto, ci si riferisce alla pressione media al centro del palo, che si trova a quota  $Z_{pl,1}$* );  
 $\mu = \text{tg}(\phi \cdot A)$ : coefficiente attrito (*terreno/palo*). Di natura empirica dipendente dalla tecnologia usata, tiene conto della scabrezza palo-terreno riducendo l'angolo d'attrito, che al massimo può essere pari a  $\phi$  [il coefficiente  $A$  (nell'inspector valore di default 0,8) consente la taratura di detto valore];  
 $\phi$  = angolo di attrito del terreno;  
 $A$  = coefficiente attrito terreno/palo (**N.B. 5.3**).

Nel caso in esame la suddetta resistenza è data dai contributi dei due strati.  
Per cui i suddetti parametri assumono i seguenti valori:

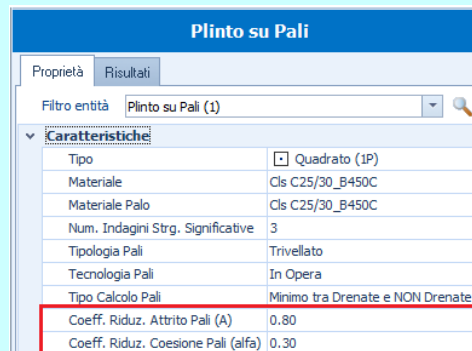
<b>Contributo Strato I (Coerente)</b>	
<b>Drenate</b>	<b>Non Drenate</b>
<p>Nel caso in esame i suddetti parametri assumono i valori:</p> <p> <math>L = Z_I = 2,00 \text{ m};</math>  <math>D = 0,40 \text{ m};</math>  <math>\alpha = 0,30;</math>  <math>c = 0;</math>  <math>\phi = 10^\circ;</math>  <math>A = 0,80;</math>  <math>k = 0,50</math> (<i>vedi Figura 5.4 - Palo Trivellato in terreno sciolto</i>);  <math>Z_I = 2,00 \text{ m};</math>  <math>\sigma_{v,m,I} = 17\,000 \cdot 2,00/2 = 17\,000 \text{ N/m}^2;</math>  <math>\sigma_h = k \cdot \sigma_{vm} = 0,50 \cdot 17\,000 = 8\,500 \text{ N/m}^2;</math>  <math>\mu = \frac{\text{tg}(\phi \cdot A)}{\gamma_M} = \frac{\text{tg}(10 \cdot 0,80)}{1,0} = 0,14.</math> </p> <p>Quindi:</p> <p><math>s = \alpha \cdot c + \sigma_h \cdot \mu = 0,30 \cdot 0 + 8\,500 \cdot 0,14 = 1195 \text{ N/m}^2.</math></p> <p>Pertanto, la resistenza LATERALE vale:</p> <p><math>Q_I = \pi \cdot D \cdot L \cdot s = \pi \cdot 0,40 \cdot 2,00 \cdot 1195 = \mathbf{3\,002 \text{ N}}</math>.</p>	<p>Nel caso in esame i suddetti parametri assumono i valori:</p> <p> <math>L = Z_I = 2,00 \text{ m};</math>  <math>D = 0,40 \text{ m};</math>  <math>\alpha = 0,30;</math>  <math>c = c_u = 150\,000 \text{ N/m}^2;</math>  <math>\phi = 0^\circ;</math>  <math>A = 0,80;</math>  <math>k = 0,50;</math>  <math>Z_I = 2,00 \text{ m};</math>  <math>\sigma_{v,m,I} = 17\,000 \cdot 2,00/2 = 17\,000 \text{ N/m}^2;</math>  <math>\sigma_h = k \cdot \sigma_{vm} = 0,50 \cdot 17\,000 = 8\,500 \text{ N/m}^2;</math>  <math>\mu = \frac{\text{tg}(\phi \cdot A)}{\gamma_M} = \frac{\text{tg}(0 \cdot 0,80)}{1,0} = 0.</math> </p> <p>Quindi:</p> <p><math>s = \alpha \cdot c + \sigma_h \cdot \mu = 0,30 \cdot 150\,000 + 8\,500 \cdot 0 = 45\,000 \text{ N/m}^2.</math></p> <p>Pertanto, la resistenza LATERALE vale:</p> <p><math>Q_I = \pi \cdot D \cdot L \cdot s = \pi \cdot 0,40 \cdot 2,00 \cdot 45\,000 = \mathbf{113\,097 \text{ N}}</math>.</p>

<b>Contributo Strato II (Incoerente)</b>	
<b>Drenate</b>	<b>Non Drenate</b>
<p>Nel caso in esame i suddetti parametri assumono i valori:</p> <p> <math>L = 3,00 \text{ m};</math>  <math>D = 0,40 \text{ m};</math>  <math>\alpha = 0,30;</math>  <math>c = 0;</math>  <math>\phi = 32^\circ;</math>  <math>A = 0,80;</math>  <math>k = 0,50</math> (<i>vedi Figura 5.4 - Palo Trivellato in terreno sciolto</i>);  <math>Z_{II} = 3,15 \text{ m};</math>  <math>\sigma_{v,m,I} = \sigma_{v,I} + \sigma_{v,m,II} = 34\,000 + 27\,000 = 61\,000 \text{ N/m}^2;</math>  <math>\sigma_{v,I} = \gamma_{t,I} \cdot Z_I = 17\,000 \cdot 2,00 = 34\,000 \text{ N/m}^2;</math>  <math>\sigma_{v,m,II} = \gamma_{t,II} \cdot Z_{II}/2 = 18\,000 \cdot 3,00/2 = 27\,000 \text{ N/m}^2;</math>  <math>Z_I = (h_1 - Z_{sv}) \text{ m} = 2,00 \text{ m}</math> (<i>profondità del I strato</i>);  <math>Z_{II} = h_2 = 3,00 \text{ m}</math> (<i>altezza II strato</i>);  <math>\sigma_h = k \cdot \sigma_{vm} = 0,50 \cdot 61\,000 = 30\,500 \text{ N/m}^2;</math>  <math>\mu = \frac{\text{tg}(\phi \cdot A)}{\gamma_M} = \frac{\text{tg}(32 \cdot 0,80)}{1,0} = 0,48.</math> </p> <p>Quindi:</p> <p><math>s = \alpha \cdot c + \sigma_h \cdot \mu = 0,30 \cdot 0 + 30\,500 \cdot 0,48 = 14\,613 \text{ N/m}^2.</math></p> <p>Pertanto, la resistenza LATERALE vale:</p> <p><math>Q_I = \pi \cdot D \cdot L \cdot s = \pi \cdot 0,40 \cdot 3,00 \cdot 14\,613 = \mathbf{55\,090 \text{ N}}</math>.</p>	<p>Contributo non calcolato (<b>N.B. 4.11</b>). Si considera quello ottenuto in condizioni DRENATE.</p>

**N.B. 5.3**

In EdiLus, il coefficiente di riduzione della coesione ( $\alpha$ ) e il coefficiente di attrito terreno/palo (A) si trovano nella toolbox delle **Proprietà** -> **Caratteristiche**:

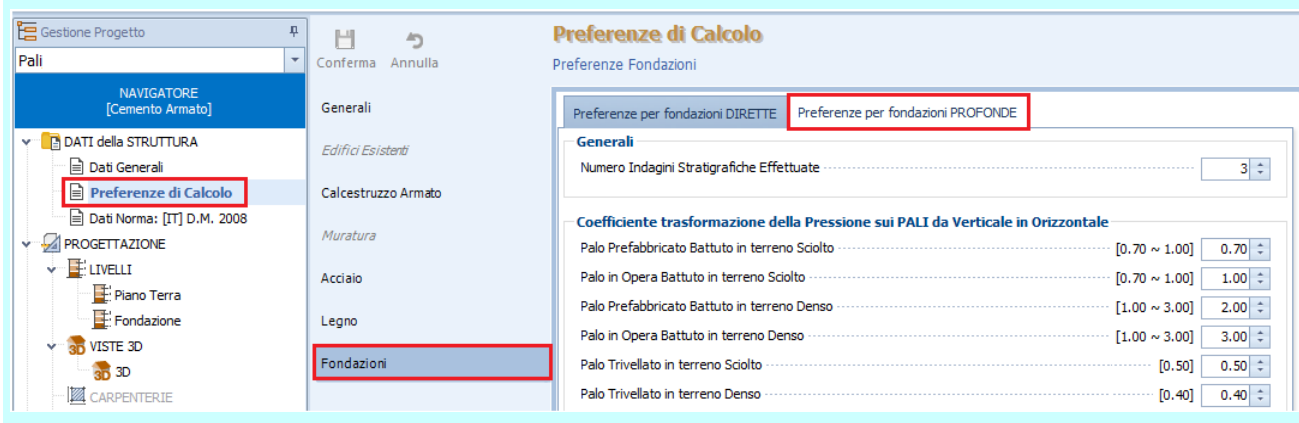
- A: nella cella "**Coefficiente Attrito Pali (A)**" (default 0,80);
- $\alpha$ : nella cella "**Coeff. Riduz. Coesione Pali (alfa)**" (default 0,30).


**N.B. 5.4**

In EdiLus, i Coefficienti di trasformazione della Pressione da Verticale ad Orizzontale (k) si trovano nei **DATI della STRUTTURA** -> **Preferenze di Calcolo** -> **Fondazioni** (vedi figura).

Qui vengono proposti i valori di k in funzione delle varie tipologie di pali e dell'addensamento dello strato di terreno (definito nel Terreno/Stratigrafia).

I valori di K riportati in EdiLus sono presi dalla Tabella 13.2 del libro "FONDAZIONI" del prof. Carlo Viggiani, editore Hevelius.


**- Resistenza Verticale ( $Q_{Rd,V}$ ) -**

Alle resistenze appena calcolate occorre applicare i coefficienti:

- a) di riduzione per il numero di verticali indagate (NTC 2018 - § 6.4.3.1.1. punto b).

Nel caso in esame sono state effettuate 3 indagini (default), per cui le resistenze vanno ridotte del coefficiente  $\xi_3 = 1,6$  (NTC 2018 - Tab. 6.4.IV - N.B. 5.5).

**N.B. 5.5**

**Tabella 6.4.IV – Fattori di correlazione  $\xi$  per la determinazione della resistenza caratteristica in funzione del numero di verticali indagate.**

Numero di verticali indagate	1	2	3	4	5	7	$\geq 10$
$\xi_3$	1,70	1,65	1,60	1,55	1,50	1,45	1,40
$\xi_4$	1,70	1,55	1,48	1,42	1,34	1,28	1,21

- b) parziale ( $\gamma_R$ ) della tabella 6.4.II.

Nel caso in esame essendo i pali trivellati, dalla colonna (R3) si hanno (**N.B. 5.6**):

- base ->  $\gamma_R = 1,35$ ;
- laterale ->  $\gamma_R = 1,15$ .

## N.B. 5.6

Tab. 6.4.II – Coefficienti parziali  $\gamma_R$  da applicare alle resistenze caratteristiche a carico verticale dei pali

Resistenza	Simbolo	Pali infissi	Pali trivellati	Pali ad elica continua
	$\gamma_R$	(R3)	(R3)	(R3)
Base	$\gamma_b$	1,15	1,35	1,3
Laterale in compressione	$\gamma_s$	1,15	1,15	1,15
Totale (*)	$\gamma$	1,15	1,30	1,25
Laterale in trazione	$\gamma_{st}$	1,25	1,25	1,25

(\*) da applicare alle resistenze caratteristiche dedotte dai risultati di prove di carico di progetto.

Tenendo conto dei suddetti coefficienti le resistenze diventano:

$Q_{Rd,V,Pt}$ $Q_{Rd,V,Lt}$	Strato I (Coerente)		Strato II (Incoerente)	
	Drenate	Non Drenate	Drenate	Non Drenate
$Q_{Rd,V,Pt}$ [N]	0	0	$\frac{Q_P}{\xi_3 \cdot \gamma_R} = \frac{359398}{1,60 \cdot 1,35} = 166388$	Contributo non calcolato (N.B. 5.2)
$Q_{Rd,V,Lt}$ [N]	$\frac{Q_L}{\xi_3 \cdot \gamma_R} = \frac{3002}{1,60 \cdot 1,15} = 1632$	$\frac{Q_L}{\xi_3 \cdot \gamma_R} = \frac{113097}{1,60 \cdot 1,15} = 61466$	$\frac{Q_L}{\xi_3 \cdot \gamma_R} = \frac{55090}{1,60 \cdot 1,15} = 29940$	Contributo non calcolato (N.B. 5.2)

Avendo ipotizzato il calcolo del carico limite verticale come minimo tra la condizione drenata e non drenata, la resistenza totale vale:

$$Q_{Rd,V} = 197\ 960\ N \text{ (vedi tabella successiva).}$$

Resistenze	Strato I (Coerente)		Strato II (Incoerente)		Resistenze Totali [N]	
	Drenate	Non Drenate	Drenate	Non Drenate	Drenate	Non Drenate
$Q_{Rd,V,Pt}$ [N]	-	-	166 338		166 338	
$Q_{Rd,V,Lt}$ [N]	1 632	61 466	29 940		31 572	91 406
$Q_{Rd,V}$ [N]					<b>197 960</b>	<b>257 794</b>

**- Carico verticale di progetto ( $Q_{Ed,V}$ ) -**

Il carico verticale di progetto è dato dalla somma del peso del Pilastro ( $P_{Pil}$ ) + peso del Plinto ( $P_{Pln}$ ) + carico in testa ( $F_z$ ) + la differenza tra il peso del palo ( $P_{Palo}$ ) ed il peso del terreno asportato ( $P_{ta}$ ) (in presenza di falda viene sottratta l'eventuale spinta dell'acqua).

Quindi:

$$Q_{Ed,V} = P_{Pil} + P_{Pln} + F_z + (P_{Palo} - P_{ta}),$$

dove:

$$P_{Pil} = 25\ 000\ N/m^3 \cdot (0,30m \cdot 0,50m \cdot 3,00m) = 11\ 250\ N;$$

$$P_{Pln} = 25\ 000\ N/m^3 \cdot (0,80m \cdot 0,80m \cdot 0,50m) = 8\ 000\ N;$$

$$F_z = 100\ 000\ N;$$

$$P_{Palo} = \gamma_{cls} \cdot \frac{\pi \cdot D^2}{4} \cdot L = 25000 \cdot \frac{\pi \cdot 0,40^2}{4} \cdot 5,00 = 15\ 708\ N;$$

$$P_{ta,I} = \gamma_{t,I} \cdot \frac{\pi \cdot D^2}{4} \cdot L_I = 17000 \cdot \frac{\pi \cdot 0,40^2}{4} \cdot 2,00 = 4\ 273\ N;$$

$$P_{ta,II} = \gamma_{t,II} \cdot \frac{\pi \cdot D^2}{4} \cdot L_{II} = 18000 \cdot \frac{\pi \cdot 0,40^2}{4} \cdot 3,00 = 6\ 786\ N.$$

Quindi, ricordando che si tratta di un carico permanente (amplificare per 1,30) si ha:

$$Q_{Ed,V} = 1,30 \cdot [P_{Pil} + P_{Pln} + F_z + (P_{Palo} - (P_{ta,I} + P_{ta,II}))] = 1,30 \cdot [11\ 250\ N + 8\ 000\ N + 100\ 000\ N + (15\ 708 - (4\ 273 + 6\ 786))\ N] = 1,30 \cdot 123\ 899\ N = 161\ 069\ N.$$

### - Verifica -

Il coefficiente di sicurezza è dato da:

$$CS = \frac{Q_{Rd,V}}{Q_{Ed,V}} = \frac{197960}{161069} = \mathbf{1,23.}$$

### - Confronto -

Relativamente al carico limite verticale, di seguito si riporta il confronto tra il calcolo manuale e quello di EdiLus:

Plinto su Pali 1	Fondazione	Plinto su Pali 1	Fondazione
<b>Id<sub>Nd,sup</sub></b>	00001	<b>Id<sub>Nd,sup</sub></b>	00001
<b>Q<sub>Ed,V</sub></b>	161.069	<b>Q<sub>Ed,V</sub></b>	161.069
<b>Q<sub>Ed,O</sub></b>	-	<b>Q<sub>Ed,O</sub></b>	26.000
<b>Q<sub>Rd,V</sub></b>	197.960	<b>Q<sub>Rd,V</sub></b>	197.960
<b>Q<sub>Rd,V,Pt</sub></b>	166.338	<b>Q<sub>Rd,V,Pt</sub></b>	166.388
<b>Q<sub>Rd,V,Lt</sub></b>	31.572	<b>Q<sub>Rd,V,Lt</sub></b>	31.572
<b>Q<sub>Rd,O</sub></b>	-	<b>Q<sub>Rd,O</sub></b>	86.561
<b>M<sub>max,O</sub></b>	-	<b>M<sub>max,O</sub></b>	69019
<b>T.R.</b>	-	<b>T.R.</b>	Palo Lungo
<b>Z<sub>c,pls</sub></b>	-	<b>Z<sub>c,pls</sub></b>	0,93
<b>CS<sub>v</sub></b>	1,23	<b>CS<sub>v</sub></b>	1,23
<b>CS<sub>o</sub></b>	-	<b>CS<sub>o</sub></b>	3,33

Calcolo Manuale

EdiLus

## Palo caricato da forze orizzontali (Broms)

In questa trattazione supporremo sempre i pali vincolati in testa poiché in EdiLus essi si trovano in ogni caso ancorati alla sovrastruttura.

### - Momento plastico del palo -

Per la determinazione del carico limite orizzontale occorre calcolare il momento plastico ( $M_p$ ) della sezione del palo. In EdiLus ciò viene fatto interpolando opportunamente i valori della tabella della **N.B. 5.7**.

Nel caso in esame la sezione del palo è armata con 6  $\phi$  16, per cui dall'interpolazione si ottiene:

$$M_p = \mathbf{69\ 019\ Nm.}$$

### N.B. 5.7

Di seguito si riporta la tabella 13.16 riportata nel testo "FONDAZIONI" del prof. Carlo Viggiani, editore Hevelius.

Diametro (m)	Armatura	M <sub>y</sub> (kNm)*
0,40	6 $\phi$ 16	61,8
	8 $\phi$ 20	114,7
	8 $\phi$ 24	177,5
0,50	6 $\phi$ 16	89,2
	8 $\phi$ 20	215,7
	8 $\phi$ 24	347,1
0,60	8 $\phi$ 16	154,0
	12 $\phi$ 24	384,4
	12 $\phi$ 30	600,1
0,80	10 $\phi$ 20	365,8
	20 $\phi$ 24	994,3
	22 $\phi$ 30	1 574
1,00	16 $\phi$ 20	714,9
	22 $\phi$ 26	1 672
	30 $\phi$ 30	2 778
1,20	16 $\phi$ 24	1 235
	26 $\phi$ 26	2 330
	38 $\phi$ 30	4 333
1,50	24 $\phi$ 24	2 411
	40 $\phi$ 26	4 551
	44 $\phi$ 30	6 553

(\*) Il valore di M<sub>y</sub> è calcolato per R<sub>ck</sub> = 250 e con FeB38K; si è assunto un copriferro di 5 cm.

### - Carico Limite Orizzontale -

Nella fase di calcolo occorre verificare se il meccanismo di rottura del palo è per:

- **Palo corto**  $\Rightarrow$  (plasticizzazione terreno);
- **Palo intermedio**  $\Rightarrow$  (plasticizzazione palo).
- **Palo lungo**

#### -- HP1: Palo CORTO --

Con tale meccanismo si ipotizza che non si formino cerniera plastiche sul fusto del palo (*Figura 5.8*).

Sotto l'azione della forza  $H$  il palo subisce una traslazione rigida.

Nell'ipotesi di cui in *Figura 5.8* le resistenze laterali valgono:

$$\begin{aligned} p_1 &= 9 \cdot c_{u,1} \cdot D; \\ p_2 &= 3 \cdot k_{p,2} \cdot D \cdot \gamma_1 \cdot h_1; \\ p_3 &= 3 \cdot k_{p,2} \cdot D \cdot (\gamma_1 \cdot h_1 + \gamma_2 \cdot h_2). \end{aligned}$$

da cui:

$$\begin{aligned} F_1 &= p_1 \cdot (h_1 - 1,5 \cdot D); \\ F_2 &= (p_2 + p_3) \cdot h_2 / 2. \end{aligned}$$

con:

$$\begin{aligned} c_{u,1} &= \text{coesione non drenata strato 1;} \\ D &= \text{diametro palo;} \end{aligned}$$

$$k_{p,2} = \text{tg}^2 \left( 45 + \frac{\phi_2}{2} \right): \text{coefficiente di spinta passiva dello strato 2;}$$

$$\begin{aligned} \phi_2 &= \text{angolo di attrito dello strato 2;} \\ \gamma_1 &= \text{peso specifico dello strato 1;} \\ h_1 &= \text{altezza dello strato 1;} \\ \gamma_2 &= \text{peso specifico dello strato 2;} \\ h_2 &= \text{altezza dello strato 2.} \end{aligned}$$

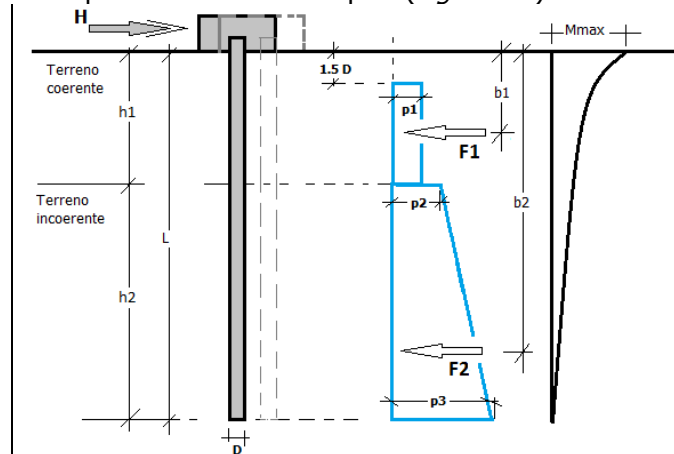


Figura 5.8: Hp palo Corto

L'ipotesi di palo corto è soddisfatta se (*equilibrio rispetto alla testa del palo*):

$$M_{\max} = F_1 \cdot b_1 + F_2 \cdot b_2 < M_p,$$

con  $M_p$  momento resistente del palo.

Quindi, per il caso in esame:

$$\begin{aligned} c_{u,1} &= 0,15 \text{ N/mm}^2 = 150 \text{ 000 N/m}^2; \\ D &= 0,40 \text{ m;} \\ k_{p,2} &= \text{tg}^2 \left( 45 + \frac{\phi_2}{2} \right) = \text{tg}^2 \left( 45 + \frac{32}{2} \right) = 3,25; \\ \phi_2 &= 32^\circ; \\ \gamma_1 &= 17 \text{ 000 N/m}^3; \\ h_1 &= 2,0 \text{ m;} \\ \gamma_2 &= 18 \text{ 000 N/m}^3; \\ h_2 &= 3,0 \text{ m.} \end{aligned}$$

Per cui:

$$\begin{aligned} p_1 &= 9 \cdot c_{u,1} \cdot D = 9 \cdot 150 \text{ 000 N/m}^2 \cdot 0,40 \text{ m} = 540 \text{ 000 N/m;} \\ p_2 &= 3 \cdot k_{p,2} \cdot D \cdot \gamma_1 \cdot h_1 = 3 \cdot 3,25 \cdot 0,4 \text{ m} \cdot 17 \text{ 000 N/m}^3 \cdot 2,0 \text{ m} = 132 \text{ 787 N/m;} \\ p_3 &= 3 \cdot k_{p,2} \cdot D \cdot (\gamma_1 \cdot h_1 + \gamma_2 \cdot h_2) = 3 \cdot 3,25 \cdot 0,4 \text{ m} \cdot (17 \text{ 000 N/m}^3 \cdot 2,0 \text{ m} + 18 \text{ 000 N/m}^3 \cdot 3,0 \text{ m}) = 343 \text{ 685 N/m.} \end{aligned}$$

Mentre:

$$\begin{aligned} F_1 &= p_1 \cdot (h_1 - 1,5 \cdot D) = 540 \text{ 000 N/m} \cdot (2,0 \text{ m} - 1,5 \cdot 0,40 \text{ m}) = 756 \text{ 000 N;} \\ F_2 &= (p_2 + p_3) \cdot h_2 / 2 = (132 \text{ 787 N/m} + 343 \text{ 685 N/m}) \cdot 3,0 \text{ m} / 2 = 714 \text{ 708 N.} \end{aligned}$$

Per agevolare il calcolo del  $M_{max}$ ,  $F_2$  (ottenuto dal diagramma trapezoidale) può essere considerato come la somma della risultante del diagramma rettangolare e quella del diagramma triangolare:

$$F_2 = F_{2,R} + F_{2,Tr} = (398\,362\text{ N} + 316\,347\text{ N}) = 714\,709\text{ N}.$$

dove:

$$F_{2,R} = p_2 \cdot h_2 = 132\,787\text{ N/m} \cdot 3,0\text{ m} = 398\,362\text{ N};$$

$$F_{2,Tr} = (p_3 - p_2) \cdot h_2 / 2 = (343\,685\text{ N/m} - 132\,787\text{ N/m}) \cdot 3,0\text{ m} / 2 = 132\,787\text{ N/m} \cdot 3,0\text{ m} = 316\,346\text{ N};$$

Per cui:

$$M_{max} = F_1 \cdot b_1 + F_{2,R} \cdot b_{2,R} + F_{2,Tr} \cdot b_{2,Tr} = 756\,000\text{ N} \cdot 1,3\text{ m} + 398\,362\text{ N} \cdot 3,5\text{ m} + 316\,346\text{ N} \cdot 4,0\text{ m} = \\ = \mathbf{3\,642\,450\text{ Nm}} > M_p = \mathbf{69\,019\text{ Nm}}.$$

dove:

$$b_1 = (h_1 - 1,5 \cdot D) / 2 + 1,5 \cdot D = (2 - 1,5 \cdot 0,4) / 2 + 1,5 \cdot 0,4 = 1,3\text{ m};$$

$$b_{2,R} = h_1 + h_2 / 2 = 2,0\text{ m} + 3,0\text{ m} / 2 = 3,5\text{ m};$$

$$b_{2,Tr} = h_1 + 2 \cdot h_2 / 3 = 2,0\text{ m} + 2 \cdot 3,0\text{ m} / 3 = 4,0\text{ m}.$$

Poiché,  $M_{max}$  è di gran lunga superiore a quello ultimo del palo ( $M_p$ ) -> l'ipotesi di palo "corto" non è valida.

### -- HP2: Palo LUNGO --

Con tale meccanismo si ipotizza la formazione sul palo di due cerniere plastiche.

Sotto l'azione della forza  $H$  il palo subisce una traslazione ed una rotazione rigida.

Nell'ipotesi di cui nella *Figura 5.9* e *Figura 5.10* (cerniera nel I strato o II strato), le resistenze laterali valgono:

**Formazione II cerniera nel I strato**  
( $0 < f \leq h_1$ )

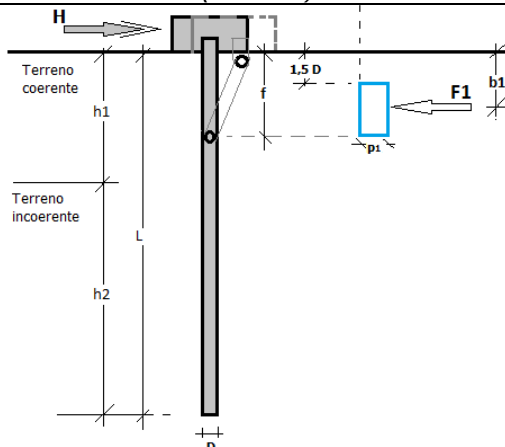


Figura 5.9: Hp palo Lungo - cerniera nel I strato

$$p_1 = 9 \cdot c_{u,1} \cdot D.$$

Da cui:

$$F_1 = p_1 \cdot (f - 1,5 \cdot D);$$

con:

$c_{u,1}$  = coesione non drenata strato 1;

$D$  = diametro palo;

$f$  = profondità della cerniera plastica.

L'equazione di equilibrio alla traslazione vale:

$$H = F_1;$$

L'equilibrio alla rotazione intorno alla II cerniera plastica vale:

$$H f - F_1 \cdot (f - b_1) - 2 \cdot M_p = 0;$$

**Formazione II cerniera nel II strato**  
( $h_1 < f \leq h_1 + h_2$ )

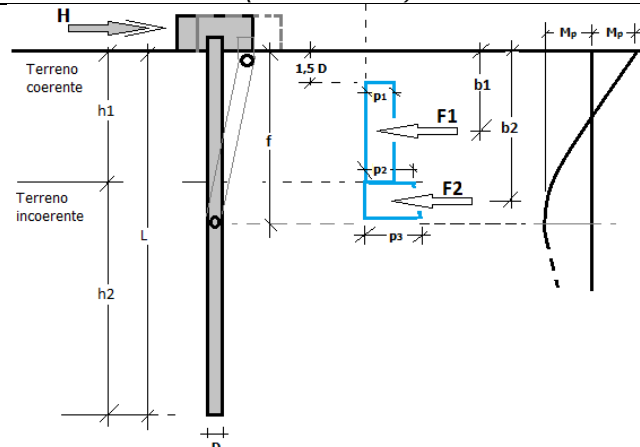


Figura 5.10: Hp palo Lungo - cerniera nel II strato

$$p_1 = 9 \cdot c_{u,1} \cdot D;$$

$$p_2 = 3 \cdot k_{p,2} \cdot D \cdot \gamma_1 \cdot h_1;$$

$$p_3 = 3 \cdot k_{p,2} \cdot D \cdot [\gamma_1 \cdot h_1 + \gamma_2 \cdot (f - h_1)].$$

Da cui:

$$F_1 = p_1 \cdot (h_1 - 1,5 \cdot D);$$

$$F_2 = (p_2 + p_3) \cdot (f - h_1) / 2;$$

con:

$c_{u,1}$  = coesione non drenata strato 1;

$D$  = diametro palo;

$k_{p,2} = \tan^2 \left( 45 + \frac{\phi_2}{2} \right)$ : coefficiente di spinta passiva dello strato 2;

$\phi_2$  = angolo di attrito dello strato 2;

$h_1$  = altezza dello strato 1;

$\gamma_1$  = peso specifico dello strato 1;

$\gamma_2$  = peso specifico dello strato 2;

$f$  = profondità della cerniera plastica.

L'equazione di equilibrio alla traslazione vale:

$$H = F_1 + F_2.$$

L'equilibrio alla rotazione intorno alla II cerniera plastica vale:

$$H f - F_1 \cdot (f - b_1) - F_2 \cdot (f - b_2) - 2 \cdot M_p = 0.$$

L'ipotesi di palo *lungo* è soddisfatta se  $f < L$ .

La risoluzione del problema è legato al calcolo di  $f$ .

Per cui:

- applicando l'equilibrio alla traslazione;
- imponendo l'equilibrio alla rotazione intorno alla seconda cerniera plastica;
- considerando le espressioni di  $F_1$  ed  $F_2$ ;

si determina la profondità "f" della seconda cerniera plastica (**N.B. 5.8**).

In EdiLus la profondità "f" non viene determinata in forma chiusa ma mediante una procedura iterativa (generalizzata) fino a trovare l'equilibrio del tronco di palo tra le due cerniere plastiche (queste reagiscono con un momento =  $M_p$ ).

Tuttavia, per il caso in esame si procede al calcolo di "f" applicando le condizioni a, b e c per le due possibili condizioni in cui si può trovare la cerniera (nello strato I o nello strato II).

Quindi, per il caso in esame si ha:

<b>Formazione II cerniera nel I strato</b> ( $0 < f \leq h_1$ )	<b>Formazione II cerniera nel II strato</b> ( $h_1 < f \leq h_1 + h_2$ )
In tale $h_p$ dalle condizioni a, b, c si ottiene la seguente posizione della cerniera plastica ( <b>N.B. 5.8</b> ):  $f = \sqrt{\frac{4 \cdot M_p}{9 \cdot c_{u,1} \cdot D} + 2,25 \cdot D^2} =$ $= \sqrt{\frac{4 \cdot 69019}{9 \cdot 150000 \cdot 0,4} + 2,25 \cdot 0,4^2} = 0,933 \text{ m.}$ <p>Soluzione accettabile.</p>	In tale $h_p$ dalle condizioni a, b, c si ottiene la seguente equazione di III grado ( <b>N.B. 5.8</b> ):  $A \cdot f^3 + B \cdot f^2 + D = 0;$ <p>dove:</p> $A = 6 \cdot k_{p,2} \cdot D \cdot \gamma_2 = 140 \ 598 \text{ N/m}^2;$ $B = 9 \cdot k_{p,2} \cdot D \cdot h_1 \cdot (\gamma_1 - \gamma_2) = -23 \ 433 \text{ N/m};$ $D = -12 \cdot M_p + 27 \cdot c_{u,1} \cdot D \cdot (h_1^2 - 2,25 \cdot D^2) - 3 \cdot k_{p,2} \cdot D \cdot h_1^3 \cdot (3 \cdot \gamma_1 - \gamma_2) =$ $= 4 \ 125 \ 898 \text{ Nm};$ <p>che NON ha soluzioni accettabili.</p>

Quindi, la cerniera si crea nello strato I alla profondità  $f = \mathbf{0,933} < L$  (5,0 m) -> il palo ha effettivamente comportamento "*lungo*".

Per cui, con:

$$c_{u,1} = 0,15 \text{ N/mm}^2 = 150 \ 000 \text{ N/m}^2;$$

$$D = 0,40 \text{ m};$$

$$\gamma_1 = 17 \ 000 \text{ N/m}^3;$$

$$f = 0,93 \text{ (cerniera nel I strato)};$$

$$p_1 = 9 \cdot 150 \ 000 \text{ N/m}^2 \cdot 0,40 \text{ m} = 540 \ 000 \text{ N/m};$$

Si ha:

$$F_1 = p_1 \cdot (f - 1,5 \cdot D) = 540 \ 000 \text{ N/m} \cdot (0,93 \text{ m} - 1,5 \cdot 0,4 \text{ m}) = 180 \ 041 \text{ N};$$

Per cui, dall'equazione di equilibrio alla traslazione si ha:

$$H = F_1 = \mathbf{180 \ 041 \ N.}$$

#### N.B. 5.8

Di seguito si riportano le espressioni della profondità della cerniera plastica (f) nel caso essa sia presente nel I strato o nel II strato.

<b>Formazione II cerniera nel I strato</b> ( $0 < f \leq h_1$ )	<b>Formazione II cerniera nel II strato</b> ( $h_1 < f \leq h_1 + h_2$ )
In tale $H_p$ l'equazione di equilibrio intorno alla seconda cerniera è:  $H f - F_1 \cdot (f - b_1) - 2 \cdot M_p = 0$ <p>con:</p> $H = F_1;$	In tale $H_p$ l'equazione di equilibrio intorno alla seconda cerniera è:  $H \cdot f - F_1 \cdot (f - b_1) - F_2 \cdot (f - b_2) - 2 \cdot M_p = 0;$ <p>con:</p> $H = F_1 + F_2;$

$$F_1 = p_1 \cdot (f-1,5 \cdot D);$$

$$p_1 = 9 \cdot c_{u,1} \cdot D;$$

$$b_1 = [f - (f-1,5 \cdot D)/2] = (f+1,5 \cdot D)/2.$$

risulta:

$$p_1 \cdot (f-1,5 \cdot D) \cdot f - p_1 \cdot (f-1,5 \cdot D) \cdot [f - (f+1,5 \cdot D)/2] - 2 \cdot M_p = 0;$$

$$9 \cdot c_{u,1} \cdot D \cdot (f-1,5 \cdot D) \cdot f - 9 \cdot c_{u,1} \cdot D \cdot (f-1,5 \cdot D) \cdot [f - (f+1,5 \cdot D)/2] - 2 \cdot M_p = 0$$

$$9 \cdot c_{u,1} \cdot D \cdot (f-1,5 \cdot D) \cdot f - 9 \cdot c_{u,1} \cdot D \cdot (f-1,5 \cdot D) \cdot (f-1,5 \cdot D)/2 - 2 \cdot M_p = 0$$

$$9 \cdot c_{u,1} \cdot D \cdot (f-1,5 \cdot D) \cdot [f - (f-1,5 \cdot D)/2] - 2 \cdot M_p = 0$$

$$9 \cdot c_{u,1} \cdot D \cdot (f-1,5 \cdot D) \cdot (f+1,5 \cdot D)/2 - 2 \cdot M_p = 0$$

$$9 \cdot c_{u,1} \cdot D \cdot (f^2 - 2,25 \cdot D^2)/2 - 2 \cdot M_p = 0$$

$$(f^2 - 2,25 \cdot D^2) = \frac{4 \cdot M_p}{9 \cdot c_{u,1} \cdot D}$$

$$f^2 = \frac{4 \cdot M_p}{9 \cdot c_{u,1} \cdot D} + 2,25 \cdot D^2$$

$$f = \sqrt{\frac{4 \cdot M_p}{9 \cdot c_{u,1} \cdot D} + 2,25 \cdot D^2}$$

$$F_1 = p_1 \cdot (h_1-1,5 \cdot D);$$

$$F_2 = (p_2+p_3) \cdot (f-h_1)/2;$$

$$F_2 = F_{2,R} + F_{2,T};$$

$$F_{2,R} = p_2 \cdot (f-h_1)$$

$$F_{2,T} = (p_3-p_2) \cdot (f-h_1)/2$$

$$p_1 = 9 \cdot c_{u,1} \cdot D;$$

$$p_2 = 3 \cdot k_{p,2} \cdot D \cdot \gamma_1 \cdot h_1;$$

$$p_3 = 3 \cdot k_{p,2} \cdot D \cdot [\gamma_1 \cdot h_1 + \gamma_2 \cdot (f-h_1)] = p_2 + 3 \cdot k_{p,2} \cdot D \cdot \gamma_2 \cdot (f-h_1);$$

$$b_1 = [h_1 - (h_1-1,5 \cdot D)/2] = (h_1+1,5 \cdot D)/2.$$

$$b_{2,R} = [h_1 + (f-h_1)/2] = (f+h_1)/2.$$

$$b_{2,T} = [h_1 + 2 \cdot (f-h_1)/3] = (2 \cdot f + h_1)/3.$$

Con la scomposizione della  $F_2$ , l'equazione di equilibrio diventa:

$$H \cdot f \cdot F_1 \cdot (f-b_1) - F_{2,R} \cdot (f-b_{2,R}) - F_{2,T} \cdot (f-b_{2,T}) - 2 \cdot M_p = 0;$$

Sostituendo:

$$(F_1 + F_2) \cdot f \cdot F_1 \cdot (f-b_1) - F_{2,R} \cdot (f-b_{2,R}) - F_{2,T} \cdot (f-b_{2,T}) - 2 \cdot M_p = 0;$$

$$[p_1 \cdot (h_1-1,5 \cdot D) + (p_2+p_3) \cdot (f-h_1)/2] \cdot f \cdot p_1 \cdot (h_1-1,5 \cdot D) \cdot (f-b_1) - p_2 \cdot (f-h_1) \cdot (f-b_{2,R}) - (p_3-p_2) \cdot (f-h_1)/2 \cdot (f-b_{2,T}) - 2 \cdot M_p = 0;$$

$$p_1 \cdot (h_1-1,5 \cdot D) \cdot f + (p_2+p_3) \cdot (f-h_1) \cdot f/2 - p_1 \cdot (h_1-1,5 \cdot D) \cdot f + p_1 \cdot (h_1-1,5 \cdot D) \cdot b_1 - p_2 \cdot (f-h_1) \cdot f + p_2 \cdot (f-h_1) \cdot b_{2,R} - (p_3-p_2) \cdot (f-h_1) \cdot f/2 + (p_3-p_2) \cdot (f-h_1) \cdot b_{2,T}/2 - 2 \cdot M_p = 0;$$

$$(p_2+p_3) \cdot (f-h_1) \cdot f/2 + p_1 \cdot (h_1-1,5 \cdot D) \cdot b_1 - p_2 \cdot (f-h_1) \cdot f + p_2 \cdot (f-h_1) \cdot b_{2,R} - (p_3-p_2) \cdot (f-h_1) \cdot f/2 + (p_3-p_2) \cdot (f-h_1) \cdot b_{2,T}/2 - 2 \cdot M_p = 0;$$

$$p_2 \cdot (f-h_1) \cdot f/2 + p_3 \cdot (f-h_1) \cdot f/2 + p_1 \cdot (h_1-1,5 \cdot D) \cdot b_1 - p_2 \cdot (f-h_1) \cdot f + p_2 \cdot (f-h_1) \cdot b_{2,R} - p_3 \cdot (f-h_1) \cdot f/2 + p_2 \cdot (f-h_1) \cdot f/2 + (p_3-p_2) \cdot (f-h_1) \cdot b_{2,T}/2 - 2 \cdot M_p = 0;$$

$$p_1 \cdot (h_1-1,5 \cdot D) \cdot b_1 + p_2 \cdot (f-h_1) \cdot b_{2,R} + (p_3-p_2) \cdot (f-h_1) \cdot b_{2,T}/2 - 2 \cdot M_p = 0;$$

$$p_1 \cdot (h_1-1,5 \cdot D) \cdot (h_1+1,5 \cdot D)/2 + p_2 \cdot (f-h_1) \cdot (f+h_1)/2 + (p_3-p_2) \cdot (f-h_1) \cdot (2 \cdot f + h_1)/6 - 2 \cdot M_p = 0;$$

$$3 \cdot p_1 \cdot (h_1^2 - 2,25 \cdot D^2) + 3 \cdot p_2 \cdot (f^2 - h_1^2) + (p_3-p_2) \cdot (f-h_1) \cdot (2 \cdot f + h_1) - 12 \cdot M_p = 0;$$

$$3 \cdot p_2 \cdot (f^2 - h_1^2) + (p_3-p_2) \cdot (2 \cdot f^2 + f \cdot h_1 - 2 \cdot f \cdot h_1 - h_1^2) - 12 \cdot M_p + 3 \cdot p_1 \cdot (h_1^2 - 2,25 \cdot D^2) = 0;$$

$$3 \cdot p_2 \cdot f^2 - 3 \cdot p_2 \cdot h_1^2 + (p_3-p_2) \cdot (2 \cdot f^2 + f \cdot h_1 - h_1^2) - 12 \cdot M_p + 3 \cdot p_1 \cdot (h_1^2 - 2,25 \cdot D^2) = 0;$$

$$3 \cdot p_2 \cdot f^2 - 3 \cdot p_2 \cdot h_1^2 + 2 \cdot (p_3-p_2) \cdot f^2 - (p_3-p_2) \cdot f \cdot h_1 - (p_3-p_2) \cdot h_1^2 - 12 \cdot M_p + 3 \cdot p_1 \cdot (h_1^2 - 2,25 \cdot D^2) = 0;$$

$$(3 \cdot p_2 + 2 \cdot p_3 - p_2) \cdot f^2 - (p_3-p_2) \cdot f \cdot h_1 - 12 \cdot M_p + 3 \cdot p_1 \cdot (h_1^2 - 2,25 \cdot D^2) - 3 \cdot p_2 \cdot h_1^2 - (p_3-p_2) \cdot h_1^2 = 0;$$

$$(p_2 + 2 \cdot p_3) \cdot f^2 - (p_3-p_2) \cdot f \cdot h_1 - 12 \cdot M_p + 3 \cdot p_1 \cdot (h_1^2 - 2,25 \cdot D^2) - 3 \cdot p_2 \cdot h_1^2 - (p_3-p_2) \cdot h_1^2 = 0;$$

$$(p_2 + 2 \cdot p_2 + 6 \cdot k_{p,2} \cdot D \cdot \gamma_2 \cdot (f-h_1)) \cdot f^2 - (p_2 + 3 \cdot k_{p,2} \cdot D \cdot \gamma_2 \cdot (f-h_1) - p_2) \cdot f \cdot h_1 - 12 \cdot M_p + 3 \cdot p_1 \cdot (h_1^2 - 2,25 \cdot D^2) - 3 \cdot p_2 \cdot h_1^2 - (p_2 + 3 \cdot k_{p,2} \cdot D \cdot \gamma_2 \cdot (f-h_1) - p_2) \cdot h_1^2 = 0;$$

$$(3 \cdot p_2 + 6 \cdot k_{p,2} \cdot D \cdot \gamma_2 \cdot (f-h_1)) \cdot f^2 - 3 \cdot k_{p,2} \cdot D \cdot \gamma_2 \cdot (f-h_1) \cdot f \cdot h_1 - 12 \cdot M_p + 3 \cdot p_1 \cdot (h_1^2 - 2,25 \cdot D^2) - 3 \cdot p_2 \cdot h_1^2 - 3 \cdot k_{p,2} \cdot D \cdot \gamma_2 \cdot (f-h_1) \cdot h_1^2 = 0;$$

$$3 \cdot p_2 \cdot f^2 + 6 \cdot k_{p,2} \cdot D \cdot \gamma_2 \cdot (f-h_1) \cdot f^2 - 3 \cdot k_{p,2} \cdot D \cdot \gamma_2 \cdot (f-h_1) \cdot f \cdot h_1 - 12 \cdot M_p + 3 \cdot p_1 \cdot (h_1^2 - 2,25 \cdot D^2) - 3 \cdot p_2 \cdot h_1^2 - 3 \cdot k_{p,2} \cdot D \cdot \gamma_2 \cdot (f-h_1) \cdot h_1^2 = 0;$$

$$3 \cdot p_2 \cdot f^2 + 6 \cdot k_{p,2} \cdot D \cdot \gamma_2 \cdot f^3 - 6 \cdot k_{p,2} \cdot D \cdot \gamma_2 \cdot h_1 \cdot f^2 - 3 \cdot k_{p,2} \cdot D \cdot \gamma_2 \cdot f^2 \cdot h_1 + 3 \cdot k_{p,2} \cdot D \cdot \gamma_2 \cdot f \cdot h_1^2 - 12 \cdot M_p + 3 \cdot p_1 \cdot (h_1^2 - 2,25 \cdot D^2) - 3 \cdot p_2 \cdot h_1^2 - 3 \cdot k_{p,2} \cdot D \cdot \gamma_2 \cdot f \cdot h_1^2 + 3 \cdot k_{p,2} \cdot D \cdot \gamma_2 \cdot h_1^3 = 0;$$

$$(6 \cdot k_{p,2} \cdot D \cdot \gamma_2) \cdot f^3 + (3 \cdot p_2 - 6 \cdot k_{p,2} \cdot D \cdot \gamma_2 \cdot h_1 - 3 \cdot k_{p,2} \cdot D \cdot \gamma_2 \cdot h_1) \cdot f^2 + (3 \cdot k_{p,2} \cdot D \cdot \gamma_2 \cdot h_1^2 - 3 \cdot k_{p,2} \cdot D \cdot \gamma_2 \cdot h_1^2) \cdot f - 12 \cdot M_p + 3 \cdot p_1 \cdot (h_1^2 - 2,25 \cdot D^2) - 3 \cdot p_2 \cdot h_1^2 + 3 \cdot k_{p,2} \cdot D \cdot \gamma_2 \cdot h_1^3 = 0;$$

Posto:

$$A = 6 \cdot k_{p,2} \cdot D \cdot \gamma_2;$$

$$B = 3 \cdot p_2 - 9 \cdot k_{p,2} \cdot D \cdot \gamma_2 \cdot h_1 = 9 \cdot k_{p,2} \cdot D \cdot \gamma_1 \cdot h_1 - 9 \cdot k_{p,2} \cdot D \cdot \gamma_2 \cdot h_1 = 9 \cdot k_{p,2} \cdot D \cdot h_1 \cdot (\gamma_1 - \gamma_2);$$

$$C = 0;$$

$$D = -12 \cdot M_p + 3 \cdot p_1 \cdot (h_1^2 - 2,25 \cdot D^2) - 3 \cdot p_2 \cdot h_1^2 + 3 \cdot k_{p,2} \cdot D \cdot \gamma_2 \cdot h_1^3 = -12 \cdot M_p + 3 \cdot 9 \cdot c_{u,1} \cdot D \cdot (h_1^2 - 2,25 \cdot D^2) - 3 \cdot 3 \cdot k_{p,2} \cdot D \cdot \gamma_1 \cdot h_1 \cdot h_1^2 + 3 \cdot k_{p,2} \cdot D \cdot \gamma_2 \cdot h_1^3 = -12 \cdot M_p + 27 \cdot c_{u,1} \cdot D \cdot (h_1^2 - 2,25 \cdot D^2) - 9 \cdot k_{p,2} \cdot D \cdot \gamma_1 \cdot h_1^3 + 3 \cdot k_{p,2} \cdot D \cdot \gamma_2 \cdot h_1^3 = -12 \cdot M_p + 27 \cdot c_{u,1} \cdot D \cdot (h_1^2 - 2,25 \cdot D^2) - 3 \cdot k_{p,2} \cdot D \cdot h_1^3 \cdot (3 \cdot \gamma_1 - \gamma_2).$$

Risulta:

$$A \cdot f^3 + B \cdot f^2 + D = 0$$

Se la profondità "f" fosse stata  $\geq L$  -> il comportamento del palo sarebbe stato "intermedio", ossia si sarebbe formata unicamente la cerniera all'attacco con la fondazione.

### - Resistenza orizzontale ( $Q_{Rd,O}$ ) -

Alla resistenza appena calcolata occorre applicare i coefficienti:

- a) di riduzione per il numero di verticali indagate (*NTC 2018 - § 6.4.3.1.1. punto b*).  
Nel caso in esame sono state effettuate 3 indagini (*default*), per cui le resistenze vanno ridotte del coefficiente  $\xi_3 = 1,6$  (*NTC 2018 - Tab. 6.4.IV - N.B. 5.5*).
- b) parziale ( $\gamma_R$ ) della tabella 6.4.II.  
Nel caso in esame essendo i pali trivellati dalla colonna (R3) si ha  $\gamma_R = 1,30$  (*N.B. 5.9*).

#### N.B. 5.9

Tab. 6.4.II – Coefficienti parziali  $\gamma_R$  da applicare alle resistenze caratteristiche a carico verticale dei pali

Resistenza	Simbolo	Pali infissi (R3)	Pali trivellati (R3)	Pali ad elica continua (R3)
	$\gamma_R$	(R3)	(R3)	(R3)
Base	$\gamma_b$	1,15	1,35	1,3
Laterale in compressione	$\gamma_s$	1,15	1,15	1,15
<b>Totale (*)</b>	$\gamma$	1,15	1,30	1,25
Laterale in trazione	$\gamma_{st}$	1,25	1,25	1,25

(\*) da applicare alle resistenze caratteristiche dedotte dai risultati di prove di carico di progetto.

Tenendo conto dei suddetti coefficienti la resistenza diventa:

$$Q_{Rd,O} = \frac{H}{\xi_3 \cdot \gamma_R} = \frac{180041}{1,60 \cdot 1,30} = \mathbf{86\ 558\ N.}$$

### - Carico orizzontale di progetto ( $Q_{Ed,O}$ ) -

Il carico orizzontale di progetto è dato dalla forza orizzontale ( $F_V$ ) applicata in testa al pilastro. Quindi, ricordando che si tratta di un carico permanente (*amplificare per 1,30*) si ha:

$$Q_{Ed,O} = 1,3 \cdot F_V = 1,3 \cdot 20\ 000\ N = \mathbf{26\ 000\ N.}$$

### - Verifica -

Il coefficiente di sicurezza è dato da:

$$CS = \frac{Q_{Rd,O}}{Q_{Ed,O}} = \frac{86558}{26000} = \mathbf{3,33.}$$

### - Confronto -

Relativamente al carico limite orizzontale, di seguito si riporta il confronto tra il calcolo manuale e quello di EdiLus:

Plinto su Pali 1	Fondazione
IdNd,sup	00001
Q <sub>Ed,V</sub>	-
<b>Q<sub>Ed,O</sub></b>	<b>26.000</b>
Q <sub>Rd,V</sub>	-
Q <sub>RdV,Pt</sub>	-
Q <sub>RdV,Lt</sub>	-
Q <sub>Rd,O</sub>	86.558
M <sub>max,O</sub>	69019
<b>T.R.</b>	<b>Palo Lungo</b>
Z <sub>c,pls</sub>	0,93
CS <sub>v</sub>	-
<b>CS<sub>o</sub></b>	<b>3,33</b>

Calcolo Manuale

Plinto su Pali 1	Fondazione
IdNd,sup	00001
Q <sub>Ed,V</sub>	161.069
Q <sub>Ed,O</sub>	26.000
Q <sub>Rd,V</sub>	197.960
Q <sub>RdV,Pt</sub>	166.388
Q <sub>RdV,Lt</sub>	31.572
Q <sub>Rd,O</sub>	86.561
M <sub>max,O</sub>	69019
<b>T.R.</b>	<b>Palo Lungo</b>
Z <sub>c,pls</sub>	0,93
CS <sub>v</sub>	1,23
<b>CS<sub>o</sub></b>	<b>3,33</b>

EdiLus

## 6 (GEO) - Test di Validazione n.06 (Rigidezze Plinto)

Titolo: **Calcolo Rigidezze vincolo "PLINTO"**.

Il file di EdiLus (CA) è: **Val\_Rg\_Plinto.EDL**.

Si espone di seguito il procedimento di calcolo adottato per la determinazione delle *Rigidezze* allo spostamento e alla rotazione del vincolo esterno denominato "PLINTO", presente al piede di un pilastro su plinto (semplice).

La struttura oggetto di studio è rappresentata da un *PILASTRO* alla base del quale è presente un *PLINTO* (Figura 6.1).

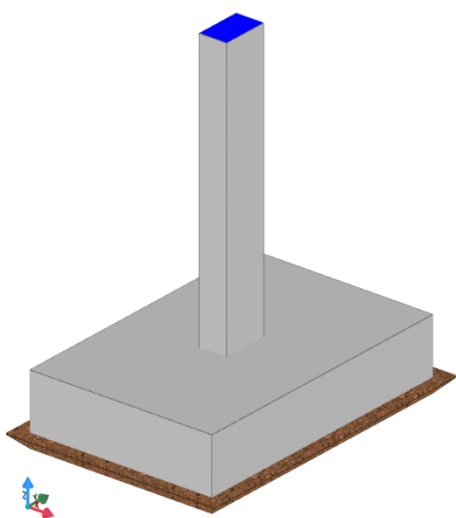


Figura 6.1: vista - "Editor 3D"

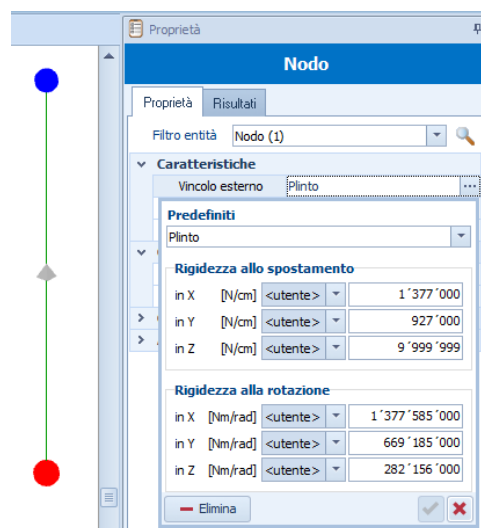


Figura 6.2: rigidezza vincolo PLINTO

### Dati Pilastro

- Base (b) = 0,30 m.
- Altezza (h) = 0,50 m.
- Lunghezza ( $H_{pil}$ ) = 3,00 m.
- Materiale = "Cls C25/30\_B450C".

### Dati Plinto

- Lunghezza ( $L_x$ ) = 2,00 m.
- Larghezza ( $L_y$ ) = 3,00 m.
- Spessore (H) = 0,50 m.
- Spessore magrone (S) = 0,15 m.
- Materiale = "Cls C25/30\_B450C".
- Terreno associato = "Sabbia argillosa mediamente consolidata".

Tab. 6.1: Caratteristiche terreno assegnato al plinto

$\gamma_T$ [N/m <sup>3</sup> ]	$K_x$ [N/cm <sup>3</sup> ]	$K_y$ [N/cm <sup>3</sup> ]	$K_z$ [N/cm <sup>3</sup> ]	$\phi$ [°]	$c_u$ [N/mm <sup>2</sup> ]	$c'$ [N/mm <sup>2</sup> ]	$E_d$ [N/mm <sup>2</sup> ]	$E_{cu}$ [N/mm <sup>2</sup> ]	$A_{s-B}$	$Q_i$ [m]	$Q_f$ [m]	Comp. Strato	Add	$\Delta E_d$
18.000	60	60	200	32	0	0	60	1	0	0,00	INF	incoerente	sciolto	nulla

#### LEGENDA:

- $\gamma_T$  Peso specifico del terreno.
- $K$  Valori della costante di sottofondo del terreno nelle direzioni degli assi del riferimento globale X ( $K_x$ ), Y ( $K_y$ ), e Z ( $K_z$ ).
- $\phi$  Angolo di attrito del terreno.
- $c_u$  Coesione non drenata.
- $c'$  Coesione efficace.
- $E_d$  Modulo edometrico.
- $E_{cu}$  Modulo elastico in condizione non drenate.
- $A_{s-B}$  Parametro "A" di Skempton-Bjerrum per pressioni interstiziali.
- $Q_i$  Quota iniziale dello strato (riferito alla quota iniziale della stratigrafia).
- $Q_f$  Quota finale dello strato (riferito alla quota iniziale della stratigrafia). INF = infinito (profondità dello strato finale).
- Comp. Strato** Comportamento dello strato.
- Strato**

**Add** Addensamento dello strato.  
 **$\Delta E_d$**  Variazione con la profondità del modulo edometrico.

## Valutazione Rigidezze

Quando viene inserito un plinto sotto un pilastro, al piede del pilastro il programma definisce il vincolo **PLINTO** (Figura 6.2) caratterizzato dalle rigidezze allo spostamento ( $R_{KX}$ ,  $R_{KY}$  e  $R_{KZ}$ ) e quelle alla rotazione ( $R_{RX}$ ,  $R_{RY}$  e  $R_{RZ}$ ).

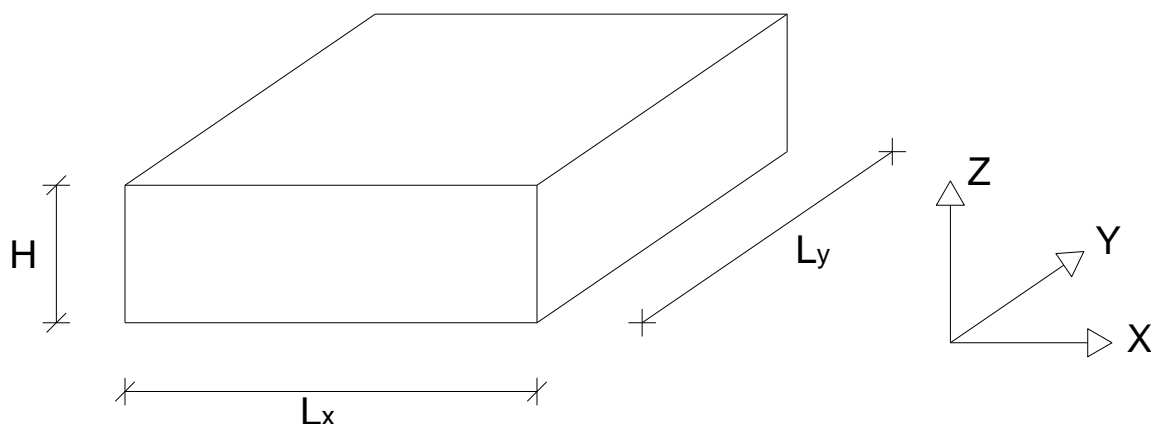


Figura 6.3: schema dimensioni plinto

Con riferimento allo schema riportato nella Figura 6.3, procediamo al calcolo delle varie rigidezze.

### - Rigidezze allo spostamento in X ( $R_{KX}$ ) -

Tale rigidezza rappresenta la forza ( $F_x$ ) che da luogo ad uno spostamento unitario ( $w = 1$ ).

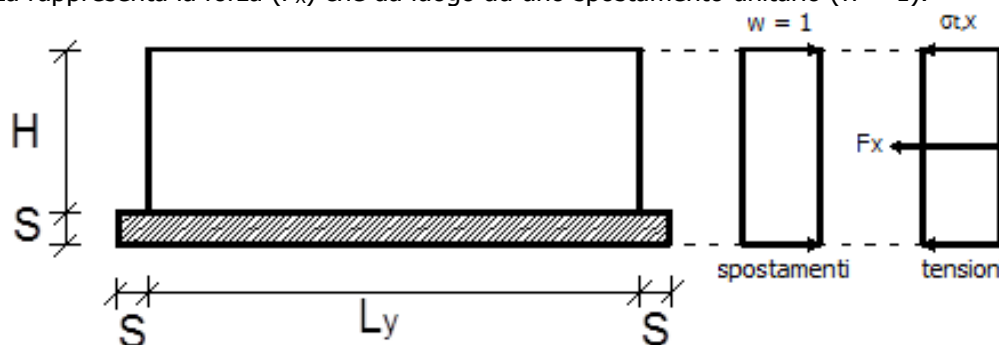


Figura 6.4: spostamenti e tensioni per calcolo di  $R_{KX}$

Con riferimento alla Figura 6.4, risulta:

- **Tensione sul terreno ( $\sigma_{t,x}$ ):**

$$\sigma_{t,x} = K_X \cdot w = K_X;$$

dove:

$w = 1$  cm: spostamento unitario;

$K_X$ : costante di sottofondo del terreno in direzione X.

- **Forza  $F_x$**

Alla precedente tensione corrisponde la forza:

$$F_x = \sigma_{t,x} \cdot A_Y = \sigma_{t,x} \cdot (A_{Y,pl} + A_{Y,mg}) = K_X \cdot [H \cdot L_Y + (L_Y + 2 \cdot S) \cdot S];$$

dove:

$A_Y = A_{Y,pl} + A_{Y,mg}$  = area totale della sezione del plinto lungo Y.

$A_{Y,pl} = H \cdot L_Y$  = area del solo plinto lungo Y.

$A_{Y,mg} = (L_Y + 2 \cdot S) \cdot S$  = area del solo magrone lungo Y.

- **Rigidezza  $R_{KX}$**

Quindi, la rigidezza allo spostamento in X è data da:

$$F_x = R_{KX} \cdot w = R_{KX} \cdot 1 \text{ cm} \quad \Rightarrow \quad R_{KX} = \frac{F_x}{1 \text{ cm}} = \{K_x \cdot [H \cdot L_y + (L_y + 2 \cdot S) \cdot S]\} / 1 \text{ cm}.$$

- **Rigidezze allo spostamento in Y ( $R_{KY}$ ) -**

Tale rigidezza rappresenta la forza ( $F_y$ ) che da luogo ad uno spostamento unitario ( $w = 1$ ).

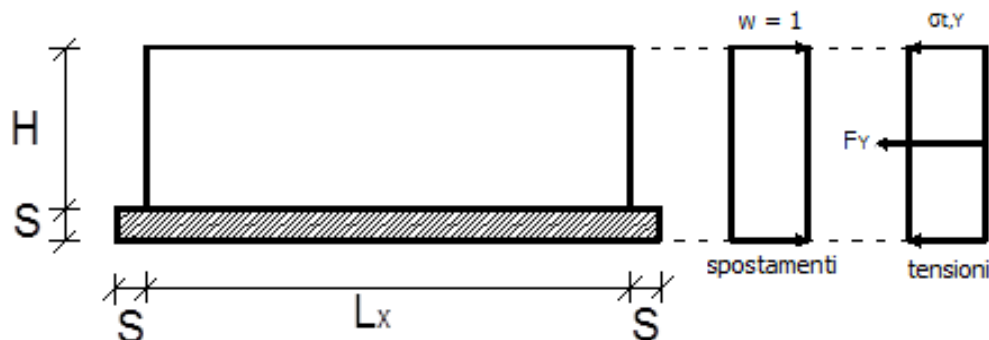


Figura 6.5: spostamenti e tensioni per calcolo di  $R_{KY}$

Con riferimento alla *Figura 6.5*, risulta:

- **Tensione sul terreno ( $\sigma_{t,Y}$ ):**

$$\sigma_{t,Y} = K_Y \cdot w = K_Y;$$

dove:

$w = 1 \text{ cm}$ : spostamento unitario;

$K_Y$ : costante di sottofondo del terreno in direzione Y.

- **Forza  $F_y$**

Alla precedente tensione corrisponde la forza:

$$F_y = \sigma_{t,Y} \cdot A_x = \sigma_{t,Y} \cdot (A_{x,pl} + A_{x,mg}) = K_Y \cdot [H \cdot L_x + (L_x + 2 \cdot S) \cdot S];$$

dove:

$A_x = A_{x,pl} + A_{x,mg}$  = area totale della sezione del plinto lungo X.

$A_{x,pl} = H \cdot L_x$  = area del solo plinto lungo X.

$A_{x,mg} = (L_x + 2 \cdot S) \cdot S$  = area del solo magrone lungo X.

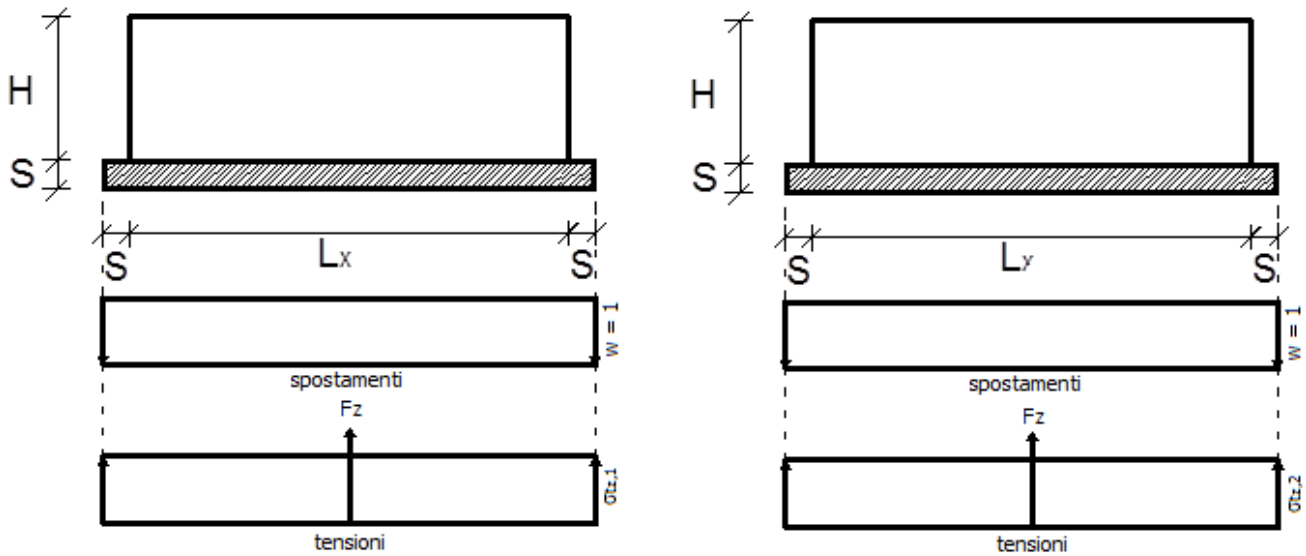
- **Rigidezza  $R_{KY}$**

Quindi, la rigidezza allo spostamento in Y è data da:

$$F_y = R_{KY} \cdot w = R_{KY} \cdot 1 \text{ cm} \quad \Rightarrow \quad R_{KY} = \frac{F_y}{1 \text{ cm}} = \{K_y \cdot [H \cdot L_x + (L_x + 2 \cdot S) \cdot S]\} / 1 \text{ cm}.$$

- **Rigidezze allo spostamento in Z ( $R_{KZ}$ ) -**

Tale rigidezza rappresenta la forza ( $F_z$ ) che da luogo ad uno spostamento unitario ( $w = 1$ ).


 Figura 6.6: spostamenti e tensioni per calcolo di  $R_{kz}$ 

Con riferimento alla *Figura 6.6*, risulta:

- **Tensione sul terreno ( $\sigma_{t,z}$ ):**

$$\sigma_{t,z} = K_z \cdot w = K_z;$$

dove:

$w = 1$  cm: spostamento unitario;

$K_z$ : costante di sottofondo del terreno in direzione Z.

- **Forza  $F_z$**

Alla precedente tensione corrisponde la forza:

$$F_z = \sigma_{t,z} \cdot A_{XY} = \sigma_{t,z} \cdot (L_x + 2 \cdot S) \cdot (L_y + 2 \cdot S);$$

dove:

$$A_{XY} = (L_x + 2 \cdot S) \cdot (L_y + 2 \cdot S) = \text{area d'impronta del plinto.}$$

- **Rigidezza  $R_{kz}$**

Quindi, la rigidezza allo spostamento in Z è data da:

$$F_z = R_{kz} \cdot w = R_{kz} \cdot 1\text{cm} \quad \Rightarrow \quad R_{kz} = \frac{F_z}{1\text{cm}} = [K_z \cdot (L_x + 2 \cdot S) \cdot (L_y + 2 \cdot S)] / 1\text{cm}.$$

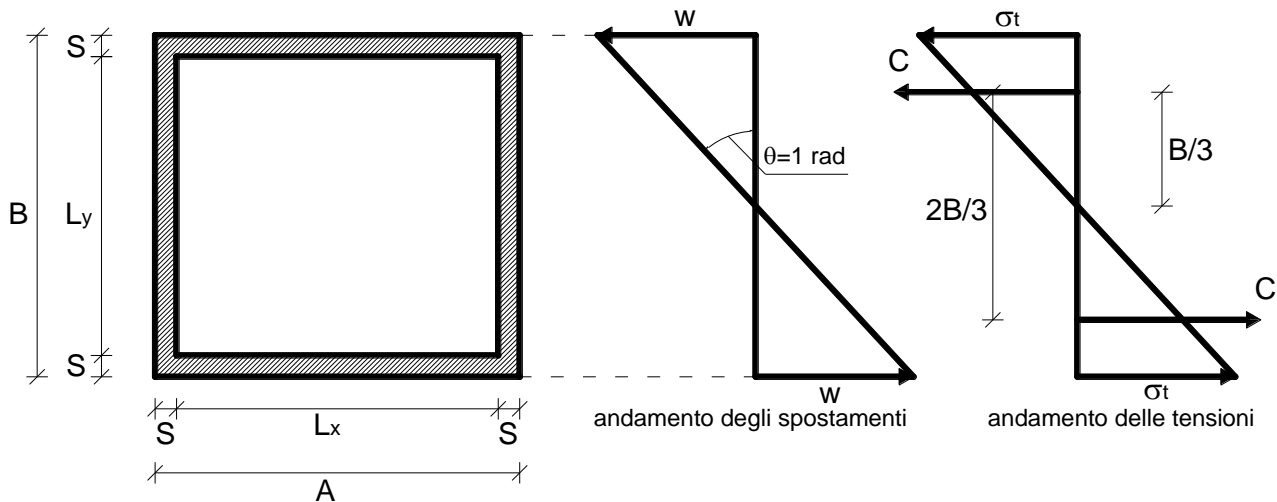
#### N.B. 6.1

Per le rigidezze alla spostamento è stato imposto un valore massimo pari a 9.999.999 N/cm.

#### - Rigidezze alla rotazione intorno a X ( $R_{rx}$ ) -

La rigidezza alla rotazione rappresenta il momento che da luogo ad una rotazione unitaria.

Consideriamo gli andamenti (a farfalla) degli spostamenti e delle tensioni (*Figura 6.7*) sul plinto (parallelamente alla direzione Y) indotti da una rotazione unitaria.


 Figura 6.7: spostamenti e tensioni per calcolo di  $R_{RX}$ 

Con riferimento alla *Figura 6.7*, risulta:

- **Tensione sul terreno ( $\sigma_{t,x}$ ):**

$$\sigma_{t,x} = K_z \cdot w = K_z \cdot B/2;$$

dove:

$$w = \frac{B}{2} \cdot \operatorname{tg}\theta = \frac{B}{2} \quad (\text{nell'ipotesi di piccoli spostamenti});$$

$K_z$ : costante di sottofondo del terreno in direzione Z.

- **Momento  $M_x$**

Alla precedente tensione corrisponde il momento:

$$M_x = C \cdot d = \left( \sigma_{t,x} \cdot \frac{B}{4} \cdot A \right) \cdot \frac{2}{3} \cdot B = \left( K_z \cdot \frac{B}{2} \cdot \frac{B}{4} \cdot A \right) \cdot \frac{2}{3} \cdot B = K_z \cdot \frac{A \cdot B^3}{12} = K_z \cdot \frac{(L_x + 2 \cdot S) \cdot (L_y + 2 \cdot S)^3}{12}$$

dove:

$$C = \sigma_{t,x} \cdot \frac{B}{2} \cdot A : \text{risultante del diagramma triangolare};$$

$A = L_x + 2 \cdot S$ : larghezza complessiva del plinto lungo X;

$B = L_y + 2 \cdot S$ : larghezza complessiva del plinto lungo Y;

$$d = \frac{2}{3} \cdot B : \text{braccio della coppia } C.$$

- **Rigidezza  $R_{Kz}$**

Quindi la rigidezza alla rotazione intorno all'asse X è data da:

$$M_x = R_{RX} \cdot \theta = R_{RX} \cdot 1 \text{ rad} \quad \Rightarrow \quad R_{RX} = \frac{M_x}{1 \text{ rad}} = \left[ K_z \cdot \frac{(L_x + 2 \cdot S) \cdot (L_y + 2 \cdot S)^3}{12} \right] / 1 \text{ rad}.$$

- **Rigidezze alla rotazione intorno a Y ( $R_{RY}$ ) -**

Facendo lo stesso discorso intorno all'asse Y otteniamo:

$$R_{RY} = \left[ K_z \cdot \frac{(L_x + 2 \cdot S)^3 \cdot (L_y + 2 \cdot S)}{12} \right] / 1 \text{ rad}.$$

- **Rigidezze alla rotazione intorno a Z ( $R_{RZ}$ ) -**

Ripetendo lo stesso ragionamento fatto in precedenza anche per le quattro superfici laterali (distinte tra plinto

e magrone) di dimensioni  $L_x \cdot H$  ed  $L_y \cdot H$  (per il plinto) e  $(L_x + 2 \cdot S) \cdot S$  ed  $(L_y + 2 \cdot S) \cdot S$  (per il magrone) si ottiene (Figura 6.8):

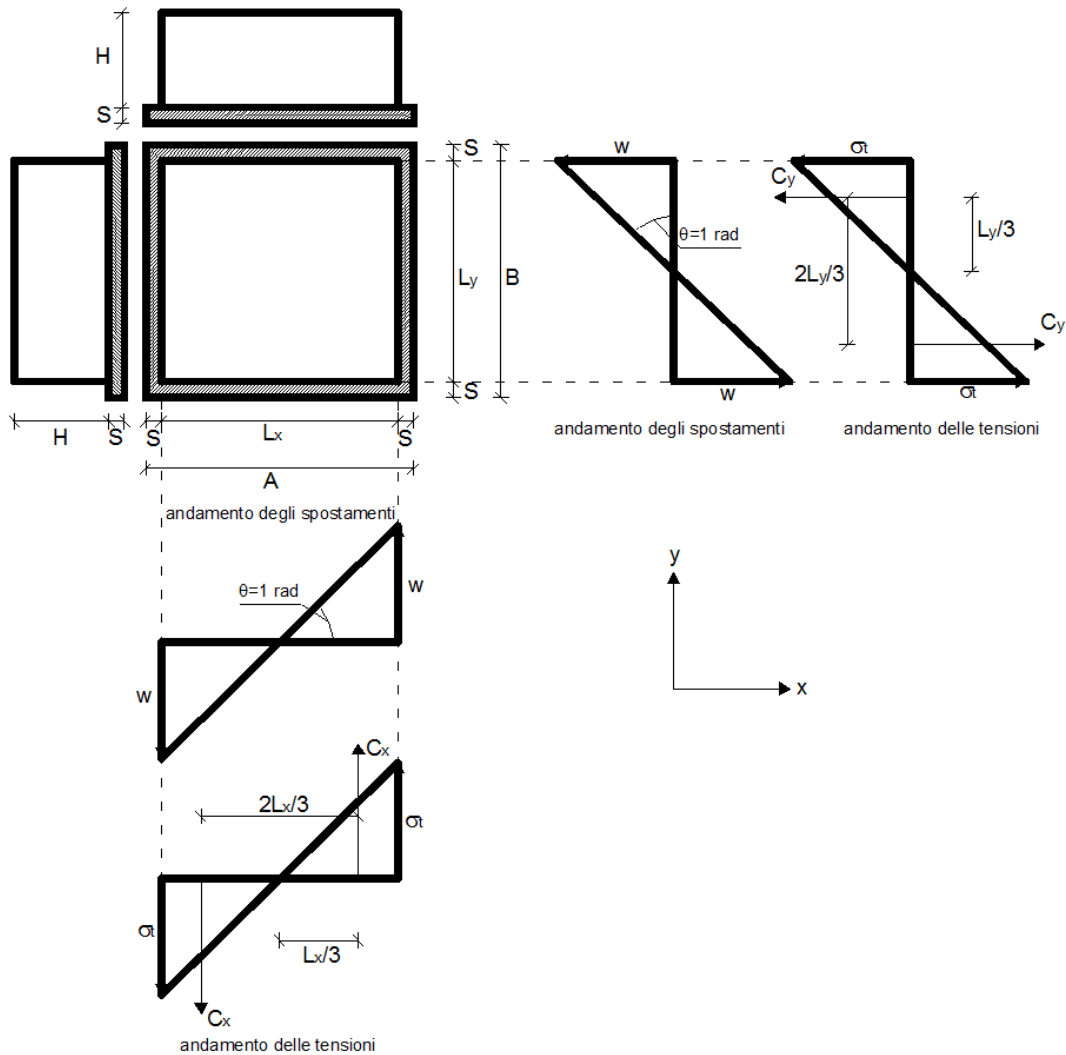


Figura 6.8: spostamenti e tensioni per calcolo di  $R_z$

<b>Superficie</b>	<b>lungo X</b>	<b>lungo Y</b>
Plinto	$R_{Z,pl}^X = 2 \cdot \left[ K_x \cdot \left( \frac{L_y^3 \cdot H}{12} \right) \right] / 1 \cdot \text{rad}$	$R_{Z,pl}^Y = 2 \cdot \left[ K_y \cdot \left( \frac{L_x^3 \cdot H}{12} \right) \right] / 1 \cdot \text{rad}$
Magrone	$R_{Z,mg}^X = 2 \cdot \left[ K_x \cdot \left( \frac{(L_y + 2 \cdot S)^3 \cdot H}{12} \right) \right] / 1 \cdot \text{rad}$	$R_{Z,mg}^Y = 2 \cdot \left[ K_y \cdot \left( \frac{(L_x + 2 \cdot S)^3 \cdot H}{12} \right) \right] / 1 \cdot \text{rad}$
Totale	$R_Z^X = R_{Z,pl}^X + R_{Z,mg}^X$	$R_Z^Y = R_{Z,pl}^Y + R_{Z,mg}^Y$

Pertanto, la rigidezza "**risultante**" intorno è data da:

$$R_z = R_z^X + R_z^Y = 2 \cdot \left[ K_x \cdot \left( \frac{L_y^3 \cdot H}{12} \right) \right] / 1 \cdot \text{rad} + 2 \cdot \left[ K_x \cdot \left( \frac{(L_y + 2 \cdot S)^3 \cdot H}{12} \right) \right] / 1 \cdot \text{rad} + 2 \cdot \left[ K_y \cdot \left( \frac{L_x^3 \cdot H}{12} \right) \right] / 1 \cdot \text{rad} + 2 \cdot \left[ K_y \cdot \left( \frac{(L_x + 2 \cdot S)^3 \cdot H}{12} \right) \right] / 1 \cdot \text{rad}.$$

**N.B. 6.2**

Per le rigidità alla rotazione è stato imposto un valore massimo pari a 9.999.999.999 Nm/rad.

**Esempio**

Si riporta di seguito il calcolo manuale delle rigidità per il caso in esame.

**- Rigidità allo spostamento in X ( $R_{KX}$ ) -**

Per quanto detto in precedenza si ha:

$$R_{KX} = \{K_X \cdot [H \cdot L_Y + (L_Y + 2 \cdot S) \cdot S]\} / 1\text{cm}.$$

Si riassume nella successiva tabella il calcolo della suddetta rigidità.

Tab. 6.2: Calcolo della rigidità allo spostamento in X

$K_X$ [N/cm <sup>3</sup> ]	$L_Y$ [cm]	H [cm]	S [cm]	$R_{KX}$ [N/cm]
60	300	60	15	<b>1.377.000</b>

Quindi:

$$R_{KX} = \mathbf{1.377.000 \text{ N/cm.}}$$

**- Rigidità allo spostamento in Y ( $R_{KY}$ ) -**

Per quanto detto in precedenza si ha:

$$R_{KY} = \{K_Y \cdot [H \cdot L_X + (L_X + 2 \cdot S) \cdot S]\} / 1\text{cm}.$$

Si riassume nella successiva tabella il calcolo della suddetta rigidità.

Tab. 6.3: Calcolo della rigidità allo spostamento in Y

$K_Y$ [N/cm <sup>3</sup> ]	$L_X$ [cm]	H [cm]	S [cm]	$R_{KY}$ [N/cm]
60	200	60	15	<b>927.000</b>

Quindi:

$$R_{KY} = \mathbf{927.000 \text{ N/cm.}}$$

**- Rigidità allo spostamento in Z ( $R_{KZ}$ ) -**

Per quanto detto in precedenza si ha:

$$R_{KZ} = [K_Z \cdot (L_X + 2 \cdot S) \cdot (L_Y + 2 \cdot S)] / 1\text{cm}.$$

Si riassume nella successiva tabella il calcolo della suddetta rigidità.

Tab. 6.4: Calcolo della rigidità allo spostamento in Z

$K_Z$ [N/cm <sup>3</sup> ]	$L_X$ [cm]	$L_Y$ [cm]	S [cm]	$R_{KZ}$ [N/cm]
200	200	300	15	<b>15.180.000</b>

Quindi:

$$R_{KZ} = \mathbf{15.180.000 \text{ N/cm} > \mathbf{9.999.999 \text{ N/cm.}}$$

Per cui:

$$R_{KZ} = \mathbf{9.999.999 \text{ N/cm}} \text{ (vedi N.B. 6.2).}$$

**- Rigidità alla rotazione in X ( $R_{RX}$ ) -**

Per quanto detto in precedenza si ha:

$$R_{RX} = \left[ K_Z \cdot \frac{(L_X + 2 \cdot S) \cdot (L_Y + 2 \cdot S)^3}{12} \right] / 1\text{rad}.$$

Si riassume nella successiva tabella il calcolo della suddetta rigidezza.

Tab. 6.5: Calcolo della rigidezza allo rotazione in X

$K_z$ [N/cm <sup>3</sup> ]	$L_x$ [cm]	$L_y$ [cm]	$S$ [cm]	$R_{RX}$ [Nm/rad]
200	200	300	15	<b>1.377.585.000</b>

Quindi:

$$R_{RX} = 1.377.585.000 \text{ Nm/rad.}$$

#### - Rigidezze alla rotazione in Y ( $R_{RY}$ ) -

Per quanto detto in precedenza si ha:

$$R_{RY} = \left[ K_z \cdot \frac{(L_x + 2 \cdot S)^3 \cdot (L_y + 2 \cdot S)}{12} \right] / 1 \text{ rad.}$$

Si riassume nella successiva tabella il calcolo della suddetta rigidezza.

Tab. 6.6: Calcolo della rigidezza allo rotazione in Y

$K_z$ [N/cm <sup>3</sup> ]	$L_x$ [cm]	$L_y$ [cm]	$S$ [cm]	$R_{RY}$ [Nm/rad]
200	200	300	15	<b>669.185.000</b>

Quindi:

$$R_{RY} = 669.185.000 \text{ Nm/rad.}$$

#### - Rigidezze alla rotazione in Z ( $R_{RZ}$ ) -

Per quanto detto in precedenza si ha:

$$R_{RZ} = 2 \cdot \left[ K_x \cdot \left( \frac{L_y^3 \cdot H}{12} \right) \right] / 1 \cdot \text{rad} + 2 \cdot \left[ K_x \cdot \left( \frac{(L_y + 2 \cdot S)^3 \cdot S}{12} \right) \right] / 1 \cdot \text{rad} + 2 \cdot \left[ K_y \cdot \left( \frac{L_x^3 \cdot H}{12} \right) \right] / 1 \cdot \text{rad} + 2 \cdot \left[ K_y \cdot \left( \frac{(L_x + 2 \cdot S)^3 \cdot S}{12} \right) \right] / 1 \cdot \text{rad} = 162.000.000 + 53.905.500 + 48.000.000 + 18.250.500.$$

Si riassume nella successiva tabella il calcolo della suddetta rigidezza.

Tab. 6.7: Calcolo della rigidezza allo rotazione in Z

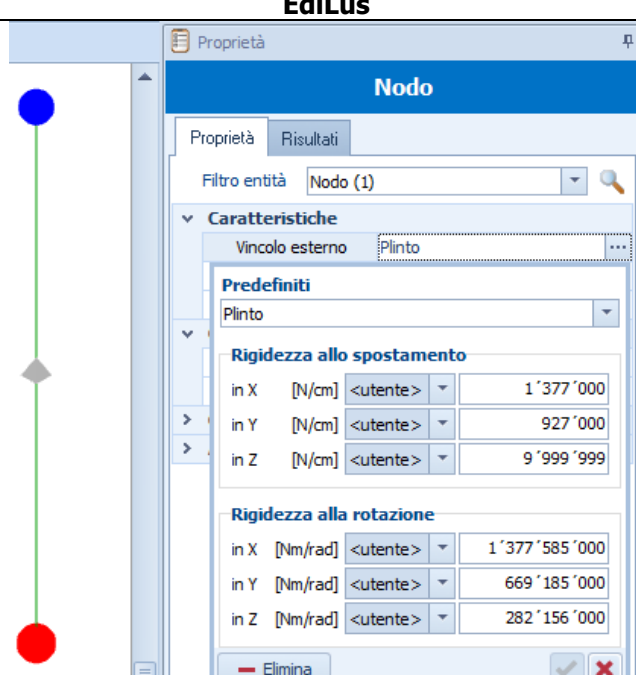
$K_x$ [N/cm <sup>3</sup> ]	$K_y$ [N/cm <sup>3</sup> ]	$L_x$ [cm]	$L_y$ [cm]	$H$ [cm]	$S$ [cm]	$R_{RZ}$ [Nm/rad]
60	60	200	300	60	15	<b>282.156.000</b>

Quindi:

$$R_{RZ} = 282.156.000 \text{ Nm/rad.}$$

**- Confronto -**

Di seguito, si riporta il confronto tra il calcolo manuale e quello di EdiLus.

Manuale	EdiLus
<p>Rigidezza allo <b>spostamento</b></p> <p>in X -&gt; <math>R_{KX} = 1.337.000 \text{ N/cm}</math></p> <p>in Y -&gt; <math>R_{KY} = 927.000 \text{ N/cm}</math></p> <p>in Z -&gt; <math>R_{KZ} = 9.999.999 \text{ N/cm}</math></p> <p>Rigidezza alla <b>rotazione</b></p> <p>in X -&gt; <math>R_{RX} = 1.377.585.000 \text{ Nm/rad}</math></p> <p>in Y -&gt; <math>R_{RY} = 669.185.000 \text{ Nm/rad}</math></p> <p>in Z -&gt; <math>R_{RZ} = 282.156.000 \text{ Nm/rad}</math></p>	

**N.B. 6.3**

Nel caso di stratigrafia le rigidezze vengono calcolate in funzione SOLO del I strato.

## 7 (GEO) - Test di Validazione n.07 (Sollecitazioni Verifiche Plinto BASSO)

Titolo: **Sollecitazioni verifica plinto BASSO.**

Il file di EdiLus (CA) è: **Validazione\_Plinto\_Basso.EDL**

Si espone di seguito il procedimento adottato per la determinazione delle sollecitazioni utilizzate per le verifiche di resistenza nel caso di plinto BASSO (Flessibile).

### Cenni Teorici

Nel caso di plinto flessibile vengono considerate le seguenti ipotesi:

**Hp. 1:** la pressione ( $\sigma$ ) lungo un lato del plinto è costante, o meglio non si tiene conto della variazione indotta dal momento nel piano ortogonale (in direzione ortogonale al diagramma delle pressioni questa viene considerata costante).

**Hp. 2:** a seconda di "piccola" o "grande" eccentricità si assume:

#### • piccola eccentricità

Direzione X	Direzione Y
<p>Se <math>e_x = M_y/N &lt; L_{pl,x}/6</math> si ha il diagramma delle pressioni riportato nella <i>Figura 7.1</i>, dove:</p> $\sigma_{min,X} = N/A - M_y/W_y;$ $\sigma_{max,X} = N/A + M_y/W_y;$ <p>dove:</p> <p>N = sforzo normale alla base del plinto;  A = area d'impronta del plinto (escluso il magrone);  M<sub>y</sub> = momento flettente, intorno all'asse Y, che agisce alla base del pilastro;  W<sub>y</sub> = modulo di resistenza intorno all'asse Y.</p>	<p>Se <math>e_y = M_x/N &lt; L_{pl,y}/6</math> si ha il diagramma delle pressioni riportato nella <i>Figura 7.2</i>, dove:</p> $\sigma_{min,Y} = N/A - M_x/W_x;$ $\sigma_{max,Y} = N/A + M_x/W_x;$ <p>dove:</p> <p>M<sub>x</sub> = momento flettente, intorno all'asse X, che agisce alla base del pilastro;  W<sub>x</sub> = modulo di resistenza intorno all'asse X.</p>

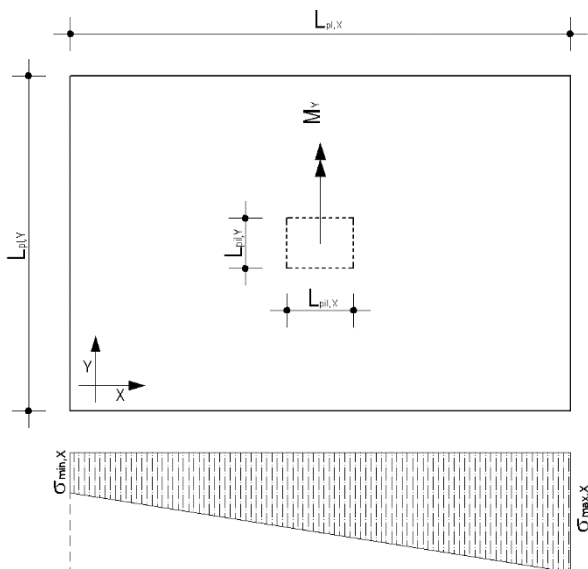


Figura 7.1: andamento delle pressioni, in direzione X, per piccola eccentricità

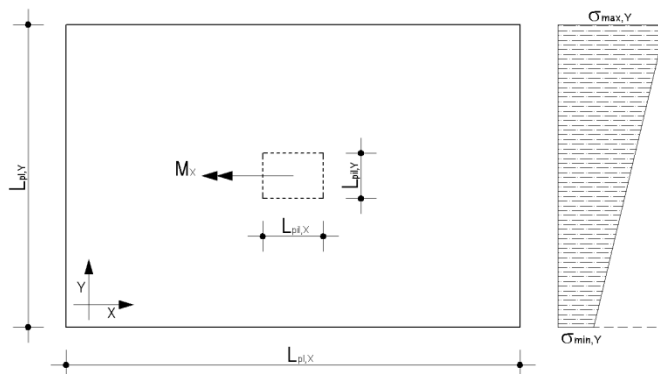


Figura 7.2: andamento delle pressioni, in direzione Y, per piccola eccentricità

#### • grande eccentricità

Direzione X	Direzione Y
<p>Se <math>e_x = M_y/N &gt; L_{pl,x}/6</math> si ha il diagramma delle pressioni riportato nella <i>Figura 7.3</i>, dove:</p> $\sigma_{min,X} = 0;$ $\sigma_{max,X} = 2 \cdot N / [3 \cdot L_{pl,y} \cdot (L_{pl,x}/2 - e_x)].$ <p>La parte di terreno compressa è data da:</p> $3 \cdot u_x = 3 \cdot (L_{pl,x}/2 - e_x).$	<p>Se <math>e_y = M_x/N &gt; L_{pl,y}/6</math> si ha il diagramma delle pressioni riportato nella <i>Figura 7.4</i>, dove:</p> $\sigma_{min,Y} = 0;$ $\sigma_{max,Y} = 2 \cdot N / [3 \cdot L_{pl,x} \cdot (L_{pl,y}/2 - e_y)].$ <p>La parte di terreno compressa è data da:</p> $3 \cdot u_y = 3 \cdot (L_{pl,y}/2 - e_y).$

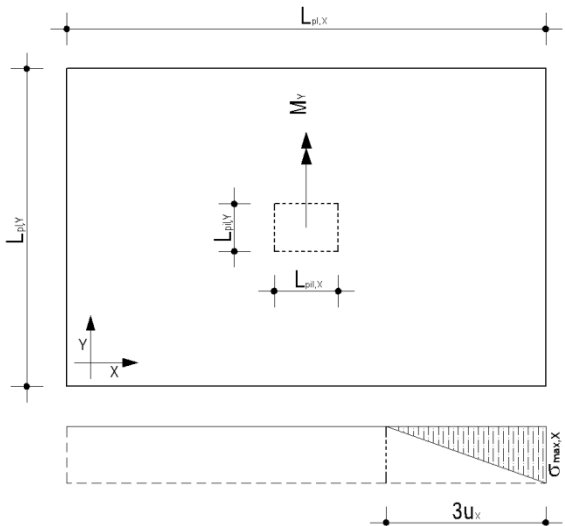


Figura 7.3: andamento delle pressione, in direzione X, nel caso di *grande* eccentricità

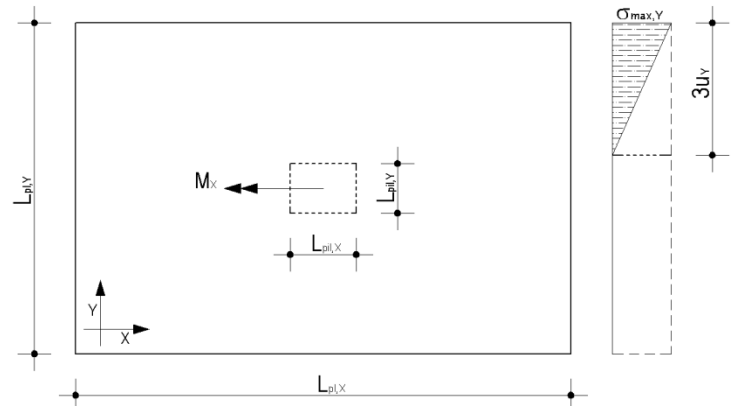


Figura 7.4: andamento delle pressione, in direzione Y, nel caso di *grande* eccentricità

**Hp. 3:** il plinto rettangolare viene diviso in quattro trapezi/mensole (Figura 7.5):

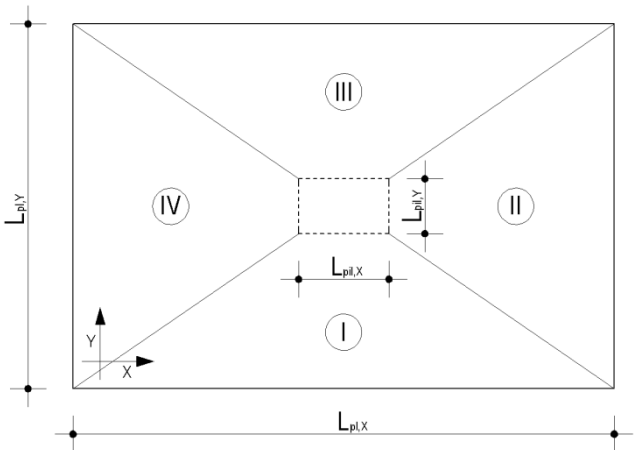


Figura 7.5: mensole/trapezi

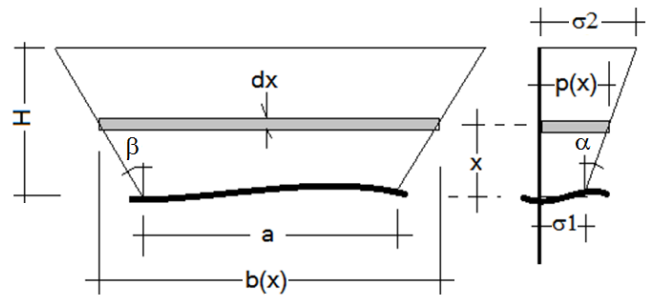


Figura 7.6: generica striscia sulla mensola/trapezio

Con riferimento alla generica striscia (Figura 7.6) di volume  $b(x) \cdot p(x) \cdot dx$  (forza), il calcolo del momento agente (F·x) nella generica sezione (funzione della distribuzione delle pressioni e dell'impronta a trapezio) viene fatto mediante la seguente relazione (integrazione del diagramma delle pressioni):

$$M(x) = \int_0^H x \cdot b(x) \cdot p(x) \cdot dx;$$

dove, essendo  $b(x) = a + 2 \cdot x \cdot \operatorname{tg}(\beta)$  e  $p(x) = \sigma_1 + x \cdot \operatorname{tg}(\alpha)$  (Figura 7.6), si ha:

$$M(x) = \int_0^H x \cdot [a + 2 \cdot x \cdot \operatorname{tg}(\beta)] \cdot [\sigma_1 + x \cdot \operatorname{tg}(\alpha)] \cdot dx = \int_0^H a \cdot \sigma_1 \cdot x + a \cdot \operatorname{tg}(\alpha) \cdot x^2 + 2 \cdot \sigma_1 \cdot \operatorname{tg}(\beta) \cdot x^2 + 2 \cdot \operatorname{tg}(\alpha) \cdot \operatorname{tg}(\beta) \cdot x^3;$$

sviluppando l'integrale diventa:

$$\begin{aligned} M(x) &= \left[ a \cdot \sigma_1 \cdot \frac{x^2}{2} + a \cdot \operatorname{tg}(\alpha) \cdot \frac{x^3}{3} + 2 \cdot \sigma_1 \cdot \operatorname{tg}(\beta) \cdot \frac{x^3}{3} + 2 \cdot \operatorname{tg}(\alpha) \cdot \operatorname{tg}(\beta) \cdot \frac{x^4}{4} \right]_0^H = \\ &= \left[ a \cdot \sigma_1 \cdot \frac{x^2}{2} + (a \cdot \operatorname{tg}(\alpha) + 2 \cdot \sigma_1 \cdot \operatorname{tg}(\beta)) \cdot \frac{x^3}{3} + 2 \cdot \operatorname{tg}(\alpha) \cdot \operatorname{tg}(\beta) \cdot \frac{x^4}{4} \right]_0^H \quad [1] \end{aligned}$$

con:

- a: larghezza della base minore del trapezio che fa riferimento alla generica sezione oggetto di studio;
- $\sigma_1$ : pressione del terreno in corrispondenza della generica sezione oggetto di studio;

$tg(\alpha)$ : inclinazione del diagramma delle pressioni;  
 $tg(\beta)$ : inclinazione dei lati del trapezio/mensola.

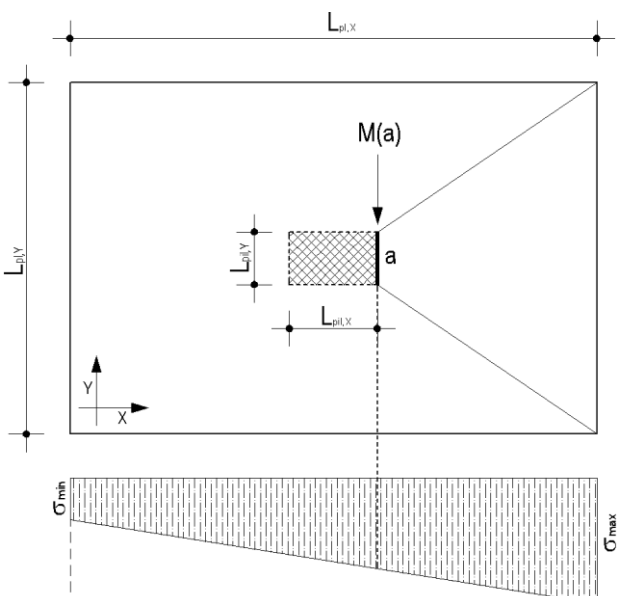
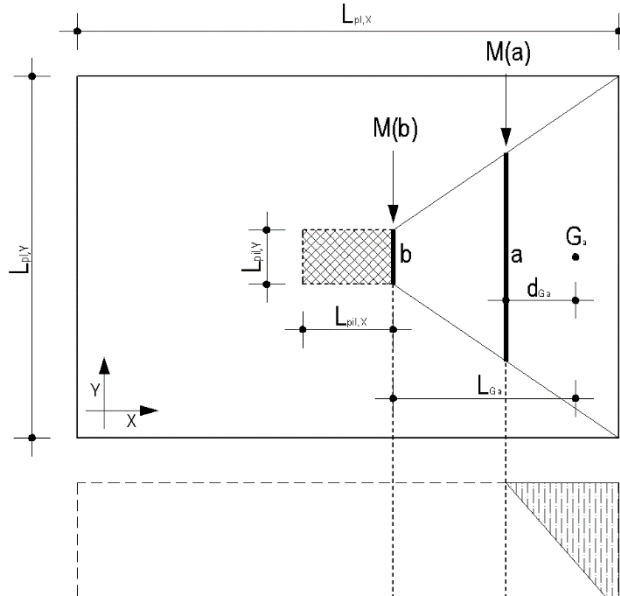
Analogamente per il taglio (volume del solido delle pressioni) si ha:

$$T(x) = \int_0^H b(x) \cdot p(x) \cdot dx = \int_0^H (a \cdot \sigma_1 + a \cdot tg(\alpha) \cdot x + 2 \cdot \sigma_1 \cdot tg(\beta) \cdot x + 2 \cdot tg(\alpha) \cdot tg(\beta) \cdot x^2) \cdot dx;$$

sviluppando l'integrale diventa:

$$\begin{aligned}
 T(x) &= \left[ a \cdot \sigma_1 \cdot x + a \cdot tg(\alpha) \cdot \frac{x^2}{2} + 2 \cdot \sigma_1 \cdot tg(\beta) \cdot \frac{x^2}{2} + 2 \cdot tg(\alpha) \cdot tg(\beta) \cdot \frac{x^3}{3} \right]_0^H = \\
 &= \left[ a \cdot \sigma_1 \cdot x + (a \cdot tg(\alpha) + 2 \cdot \sigma_1 \cdot tg(\beta)) \cdot \frac{x^2}{2} + 2 \cdot tg(\alpha) \cdot tg(\beta) \cdot \frac{x^3}{3} \right]_0^H \quad [2]
 \end{aligned}$$

In particolare, nel caso di plinto parallelepipedo si ha:

Piccola Eccentricità (impronta sul terreno tutta compressa)	Grande Eccentricità (impronta sul terreno parzializzata)
<p>Con l'espressione [1] si calcola il momento sollecitante <math>M(a)</math> direttamente nella sezione di verifica [sezione di attacco con il pilastro (Figura 7.7)]</p> 	<p>Con l'espressione [1] e [2] si calcolano il momento <math>[M(a)]</math> e il taglio <math>[T(a)]</math> nella sezione in cui si annulla il diagramma delle pressioni. Noti <math>M(a)</math> e <math>T(a)</math> si calcola il baricentro del "solido delle pressioni" <math>d_{Ga} [= M(a)/T(a)]</math>. A questo punto si può calcolare il momento sollecitante <math>M(b)</math> nella sezione di verifica [sezione di attacco con il pilastro (Figura 7.8)] come <math>T(a) \cdot L_{Ga}</math>.</p> 
<p>Figura 7.7: momento di verifica per Piccola Eccentricità</p>	<p>Figura 7.8: momento di verifica per Grande Eccentricità</p>

**Hp. 4:** Il momento viene calcolato nelle sezioni riportate nella Figura 7.9.

La sezione 2 può coincidere con la 3 (stessa cosa per 4 e 5) se non c'è il tratto a spessore costante (2-3) oppure il plinto è parallelepipedo.

La 1 e la 6 sono sempre nella mezziera della mensola.

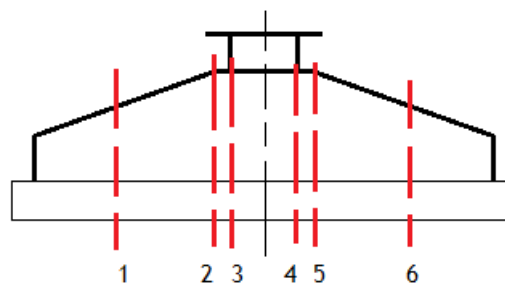


Figura 7.9: sezioni di verifica

## Dati Generali

### - Analisi -

- Analisi sismica: Nessuna.

### - Pilastro - (Figura 7.100)

- $L_{pl,X}$  = dimensione lungo X = 1,80 m.
- $L_{pl,Y}$  = dimensione lungo Y = 2,40 m.
- $H_{pl}$  = altezza/spessore = 0,30 m.
- $S_m$  = spessore magrone = 0,15 m.
- Materiale = Cls C25/30\_B450C (con peso specifico  $\gamma_c = 25\,000\text{ N/m}^3$ ).

### - Plinto - (Figura 7.100)

- $L_{pl,X}$  = dimensione lungo X = 1,80 m.
- $L_{pl,Y}$  = dimensione lungo Y = 2,40 m.
- $H_{pl}$  = altezza/spessore = 0,30 m.
- $S_m$  = spessore magrone = 0,15 m.
- Materiale = Cls C25/30\_B450C (con peso specifico  $\gamma_c = 25\,000\text{ N/m}^3$ ).

### - Forze esterne - (Figura 7.11)

- Forza ( $F_x$ ) concentrata orizzontale di **8 000 N** (Condizione di carico -> Permanente) applicata in testa al pilastro e diretta secondo +X (Blu in Figura 7.11).
- Forza ( $F_y$ ) concentrata orizzontale di **150 000 N** (Condizione di carico -> Permanente) applicata in testa al pilastro e diretta secondo +Y (Azzurra in Figura 7.11).
- Forza ( $F_z$ ) concentrata verticale di **400 000 N** (Condizione di carico -> Permanente) applicata in testa al pilastro e diretta secondo -Z (Rossa in Figura 7.11).

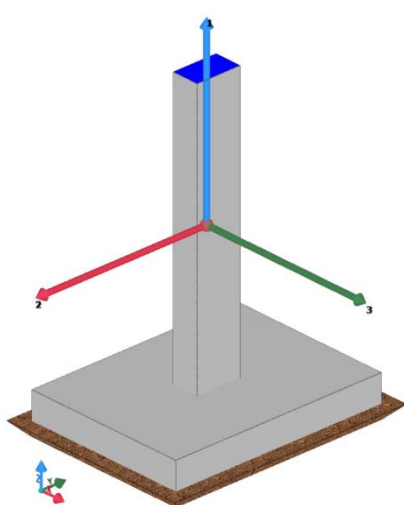


Figura 7.10: vista - "Editor 3D"



Figura 7.11: vista - "Forze e Momenti (utente)"

## Determinazione delle azioni

### - Caratteristiche -

Le azioni *caratteristiche* in gioco sono:

- Peso proprio del pilastro ( $P_{pil}$  - Condizione di carico -> Permanente):  

$$P_{pil} = L_{pil,X} \cdot L_{pil,Y} \cdot H_{pil} \cdot \gamma_c = 0,30\text{m} \cdot 0,50\text{m} \cdot 3,00\text{m} \cdot 25000\text{N/m}^3 = 11\,250\text{ N.}$$
- Peso proprio del plinto ( $P_{plinto}$  - Condizione di carico -> Permanente):  

$$P_{pl} = L_{pl,X} \cdot L_{pl,Y} \cdot H_{pl} \cdot \gamma_c = 1,80\text{m} \cdot 2,40\text{m} \cdot 0,30\text{m} \cdot 25000\text{N/m}^3 = 32\,400\text{ N.}$$
- Forza in testa al pilastro in X ( $F_x$  - Condizione di carico -> Permanente):  

$$F_x = 8\,000\text{ N.}$$

- Forza in testa al pilastro in Y ( $F_Y$  - Condizione di carico -> Permanente):

$$F_Y = 150\,000 \text{ N.}$$

- Forza in testa al pilastro in Z ( $F_Z$  - Condizione di carico -> Permanente):

$$F_Z = 400\,000 \text{ N.}$$

In assenza di sisma, allo SLU, le combinazioni di carico, con relativi coefficienti di combinazione, sono:

Combinazione	Carico Permanente
1	1,30
2	1,00

### - Combinate alla base del pilastro -

La **combinazione 1** (più gravosa) determina al piede del pilastro le seguenti azioni:

$$N_{pil} = (P_{pil} + F_Z) \cdot 1,30 = (11250 \text{ N} + 400000 \text{ N}) \cdot 1,30 = 411250 \text{ N} \cdot 1,30 = 534\,625 \text{ N};$$

$$T_{X,pil} = F_X \cdot 1,30 = 8000 \text{ N} \cdot 1,30 = 10\,400 \text{ N};$$

$$T_{Y,pil} = F_Y \cdot 1,30 = 150000 \text{ N} \cdot 1,30 = 195\,000 \text{ N};$$

$$M_{X,pil} = (F_Y \cdot H_{pil}) \cdot 1,30 = (150000 \text{ N} \cdot 3,00 \text{ m}) \cdot 1,30 = 585\,000 \text{ Nm};$$

$$M_{Y,pil} = (F_X \cdot H_{pil}) \cdot 1,30 = (8000 \text{ N} \cdot 3,00 \text{ m}) \cdot 1,30 = 31\,200 \text{ Nm.}$$

### - Combinate alla base del plinto -

La **combinazione 1** (più gravosa) determina al piede del plinto le seguenti azioni:

$$N_{pl} = (P_{pil} + F_Z + P_{pl}) \cdot 1,30 = (11250 \text{ N} + 400000 \text{ N} + 32400 \text{ N}) \cdot 1,30 = 443650 \text{ N} \cdot 1,30 = 576\,745 \text{ N};$$

$$T_{X,pl} = T_{X,pil} = 10\,400 \text{ N};$$

$$T_{Y,pl} = T_{Y,pil} = 195\,000 \text{ N};$$

$$M_{X,pl} = (T_{Y,pl} \cdot H_{pl} + M_{X,pil}) = (195000 \text{ N} \cdot 0,30 \text{ m} + 585000 \text{ Nm}) = 643\,500 \text{ Nm};$$

$$M_{Y,pl} = (T_{X,pl} \cdot H_{pl} + M_{Y,pil}) = (10400 \text{ N} \cdot 0,30 \text{ m} + 31200 \text{ Nm}) = 34\,320 \text{ Nm.}$$

### - Riassunto Sollecitazioni Combinate -

Nella successiva tabella si riassumono le sollecitazioni relative alla *combinazione 1* alla base del pilastro e alla base del plinto.

Tab. 7.1: Sollecitazioni della combinazione 1 alla base del pilastro e del plinto

Base Pilastro/Plinto	N [N]	$T_x$ [N]	$T_y$ [N]	$M_x$ [Nm]	$M_y$ [Nm]
Base Pilastro	534 625	10 400	195 000	585 000	31 200
Base Plinto	576 745			643 500	34 320

## Determinazione sollecitazioni di verifica

### - Sforzo Normale ( $N = N_{Ed}$ ) -

Tale valore corrisponde allo sforzo normale al piede del pilastro.

Quindi, con riferimento alla Tab. 7.1 si ha:

$$N = N_{Ed} = N_{pl} = \mathbf{576\,745 \text{ N.}}$$

### - Sforzo di Taglio lungo X ( $T_x$ ) - Asse locale "3" ( $V_{Ed,3}$ ) -

Tale valore corrisponde con lo sforzo di taglio lungo X al piede del pilastro.

Quindi, con riferimento alla Tab. 7.1 si ha:

$$T_x = V_{Ed,3} = T_{pil,x} = \mathbf{10\,400 \text{ N.}}$$

### - Sforzo di Taglio lungo Y ( $T_y$ ) - Asse locale "2" ( $V_{Ed,2}$ ) -

Tale valore corrisponde con lo sforzo di taglio lungo Y al piede del pilastro.

Quindi, con riferimento alla Tab. 7.1 si ha:

$$T_y = V_{Ed,2} = T_{pil,y} = \mathbf{195\,000 \text{ N.}}$$

### - Momento lungo X ( $M_x$ ) - Asse locale "3" ( $M_{Ed,3}$ ) - (Direzione A) -

A tale scopo procediamo ad analizzare il trapezio/mensola 1256 in *direzione Y* riportato nella *Figura 7.12*. Preliminarmente, valutiamo l'andamento delle pressioni, in direzione Y (direzione A di EdiLus), generato dal momento intorno all'asse X presente al piede del pilastro ( $M_{pil,x}$ ).

Per cui, si valuta l'eccentricità dovuta a tale momento:

$$e_Y = M_{pil,x}/N_{pl} = 585000 \text{ Nm}/576745 \text{ N} = 1,01431 \text{ m} > L_{pl,y}/6 = 2,40/6 = 0,400 \text{ m (sezione parzialmente compressa)}.$$

con:

$$\begin{aligned} M_{pil,x} &= 585\,000 \text{ Nm (momento intorno all'asse X alla base del pilastro);} \\ N_{pl} &= 576\,745 \text{ N (sforzo normale alla base del plinto);} \\ L_{pl,y} &= 2,40 \text{ m (dimensione del plinto in direzione Y).} \end{aligned}$$

Quindi, essendo nell'ipotesi di **grande** eccentricità ne consegue che il diagramma delle pressioni in direzione Y è triangolare.

In particolare, con riferimento alla *Figura 7.12*, per quanto detto nei cenni teorici, la minima e la massima pressione in direzione Y sono pari a:

$$\begin{aligned} \sigma_{1,Y} &= \sigma_{78} = 0 \text{ N/mm}^2; \\ \sigma_{2,Y} &= \sigma_{max,Y} = 2 \cdot N_{pl}/[3 \cdot L_{pl,x} \cdot (L_{pl,y}/2 - e_Y)] = 2 \cdot 576745/[3 \cdot 1800 \cdot (2400/2 - 1014,31)] = 1,150373 \text{ N/mm}^2. \end{aligned}$$

Dove:

$$\begin{aligned} N_{pl} &= 576\,745 \text{ N (sforzo normale alla base del plinto);} \\ L_{pl,x} &= 1,80 \text{ m} = 180 \text{ cm} = 1800 \text{ mm (dimensione del plinto in direzione X);} \\ L_{pl,y} &= 2,40 \text{ m} = 240 \text{ cm} = 2400 \text{ mm (dimensione del plinto in direzione Y);} \\ e_Y &= 1,01431 \text{ m} = 101,431 \text{ cm} = 1014,31 \text{ mm (eccentricità in direzione Y dovuto al momento intorno all'asse X).} \end{aligned}$$

L'ampiezza della parte compressa del terreno è pari a:

$$3 \cdot u = 3 \cdot (L_{pl,y}/2 - e_Y) = 3 \cdot (2400/2 - 1014,31) = 557,06 \text{ mm} = 55,706 \text{ cm} = 0,55706 \text{ m}.$$

Nella sezione in cui si annulla la pressione ( $\sigma_1 = 0$ ), la base del diagramma ( $L_{78}$ ) vale:

$$L_{78} = L_{pl,x} - 2 \cdot L_{58'} = 1800 - 2 \cdot 439,79 = 920,43 \text{ mm}.$$

Dove, ragionando sui triangoli "66'5" e "88'5" si ha:

$$\tan(\beta) = L_{56'}/L_{66'} = L_{58'}/L_{88'} \quad \text{da cui} \quad \rightarrow \quad L_{58'} = L_{88'} \cdot (L_{56'}/L_{66'}) = 557,06 \cdot (750/950) = 439,78 \text{ mm};$$

essendo:

$$\begin{aligned} L_{88'} &= 3 \cdot u = 0,55706 \text{ m} = 55,706 \text{ cm} = 557,06 \text{ mm (distanza dal bordo superiore del plinto della sezione 78).} \\ L_{56'} &= (L_{pl,x} - L_{pil,x})/2 = (1,80 - 0,30)/2 = 1,5/2 = 0,75 \text{ m} = 75 \text{ cm} = 750 \text{ mm (distanza dal bordo esterno del plinto della faccia del pilastro diretta lungo Y);} \\ L_{66'} &= L_{pl,y}/2 - L_{pil,y}/2 = 2,40/2 - 0,50/2 = 1,20 - 0,25 = 0,95 \text{ m} = 95 \text{ cm} = 950 \text{ mm (distanza dal bordo "superiore" del plinto della faccia 16 del pilastro);} \end{aligned}$$

Per quanto detto nei cenni teorici, il momento che agisce nella sezione 78 è dato da:

$$\begin{aligned} M_{78} &= L_{78} \cdot \sigma_{78} \cdot \frac{L_{88'}^2}{2} + [L_{78} \cdot \tan(\alpha) + 2 \cdot \sigma_{78} \cdot \tan(\beta)] \cdot \frac{L_{88'}^3}{3} + 2 \cdot \tan(\alpha) \cdot \tan(\beta) \cdot \frac{L_{88'}^4}{4} = \\ &= 920,43 \cdot 0 \cdot \frac{557,06^2}{2} + [920,43 \cdot 0,00206504 + 2 \cdot 0 \cdot 0,789] \cdot \frac{557,06^3}{3} + 2 \cdot 0,789 \cdot 0,00206504 \cdot \frac{557,06^4}{4} = \\ &= 0 \text{ Nmm} + 109\,525\,082 \text{ Nmm} + 78\,497\,189 \text{ Nmm} = 188\,022\,270 \text{ Nmm} = \mathbf{188\,022,270 \text{ Nm}}. \end{aligned}$$

dove:

$$\begin{aligned} L_{78} &= 920,43 \text{ mm (dimensione della sezione 78);} \\ \sigma_{78} &= \sigma_{1,Y} = 0 \text{ N/mm}^2 \text{ (pressione in corrispondenza della sezione 78);} \\ L_{88'} &= 557,06 \text{ mm (distanza dal bordo superiore del plinto della sezione 78);} \\ \tan(\alpha) &= \sigma_{2,Y}/(3 \cdot u_Y) = 1,150373/557,06 = 0,00206508 \text{ N/mm}^3 \text{ (pendenza del diagramma delle pressioni);} \\ \sigma_{2,Y} &= \sigma_{max,Y} = 1,150373 \text{ N/mm}^2 \text{ (tensione massima in direzione Y);} \\ 3 \cdot u_Y &= L_{88'} = 557,06 \text{ mm (ampiezza della parte compressa del terreno).} \\ \tan(\beta) &= L_{56'}/L_{66'} = 750/950 = 0,789 \text{ (pendenza dei lati 12 e 56 del trapezio/mensola in esame);} \\ L_{56'} &= 750 \text{ mm (distanza dal bordo esterno del plinto della faccia del pilastro diretta lungo Y);} \\ L_{66'} &= 950 \text{ mm (distanza dal bordo "superiore" del plinto della faccia 16 del pilastro);} \end{aligned}$$

Sempre per quanto detto nei cenni teorici, il taglio che agisce nella sezione 78 è dato da:

$$\begin{aligned}
 T_{78} &= L_{78} \cdot \sigma_{78} \cdot L_{88'} + \left[ L_{78} \cdot \operatorname{tg}(\alpha) + 2 \cdot \sigma_{78} \cdot \operatorname{tg}(\beta) \right] \cdot \frac{L_{88'}^2}{2} + 2 \cdot \operatorname{tg}(\alpha) \cdot \operatorname{tg}(\beta) \cdot \frac{L_{88'}^3}{3} = \\
 &= 920,43 \cdot 0 \cdot 557,06 + \left[ 920,43 \cdot 0,00206508 + 2 \cdot 0 \cdot 0,789 \right] \cdot \frac{557,06^2}{2} + 2 \cdot 0,00206508 \cdot 0,789 \cdot \frac{557,06^3}{3} = \\
 &= 0 \text{ N} + 294\,919 \text{ N} + 187\,884 \text{ N} = \mathbf{482\,803 \text{ N}}.
 \end{aligned}$$

Nota il momento ( $M_{78}$ ) ed il taglio ( $T_{78}$ ) nella sezione 78 possiamo calcolare la distanza (rispetto alla sezione 78 - *Figura 7.12*) del baricentro del "solido delle pressioni" come:

$$M_{78} = T_{78} \cdot Y_{G,II} \quad \text{da cui} \rightarrow Y_{G,II} = M_{78}/T_{78} = 188\,022 \text{ Nm}/482\,803 \text{ N} = 0,3894 \text{ m}.$$

A questo punto è possibile calcolare il momento nella sezione di attacco 16 del pilastro, come:

$$M_{16} = T_{78} \cdot L_{G,II} = 482803 \cdot 0,7824 = \mathbf{377\,734 \text{ Nm}}.$$

dove:

$$\begin{aligned}
 L_{G,II} &= (L_{66'} - L_{88'} + Y_{G,II}) = (0,950 - 0,55706 + 0,3894) = 0,7824 \text{ m (distanza del baricentro del solido delle pressioni dalla faccia 16 del pilastro - Figura 7.12);} \\
 L_{66'} &= 0,950 \text{ m = (distanza dal bordo "superiore" del plinto della faccia 16 del pilastro);} \\
 L_{88'} &= 3 \cdot u = 0,55706 \text{ m (distanza dal bordo superiore del plinto della sezione 78);} \\
 Y_{G,II} &= 0,163 \text{ m (distanza del baricentro delle pressioni dalla sezione 78).}
 \end{aligned}$$

Quindi, sulla sezione di attacco al pilastro di dimensioni  $B_A = L_{pil,X} = 30 \text{ cm}$ ;  $H_A = H_{pl} = 30 \text{ cm}$  (con copriferro 35 mm) il momento sollecitante (intorno all'asse X) che determina l'armatura a flessione è pari a:

$$M_X = M_{Ed,3} = M_{16} = \mathbf{377\,734 \text{ Nm}}.$$

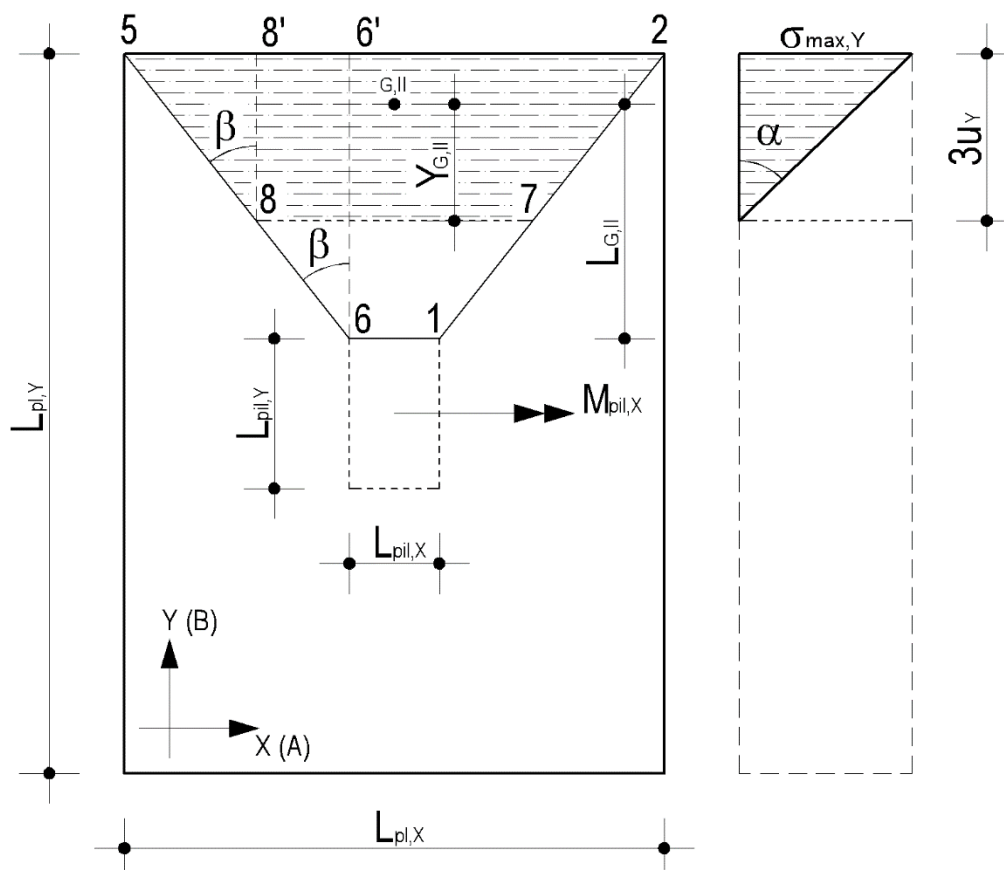


Figura 7.12: mensola in direzione Y per calcolo di  $M_X$  ( $M_{Ed,3}$ )

### - Momento Flettente lungo Y ( $M_Y$ ) - Asse locale "2" ( $M_{Ed,2}$ ) - (Direzione B) -

A tale scopo procediamo ad analizzare il trapezio/mensola 1234 in *direzione X* riportato nella *Figura 7.13*. Preliminarmente, valutiamo l'andamento delle pressioni, in direzione X (direzione B di EdiLus), generato dal momento intorno all'asse Y presente al piede del pilastro ( $M_{pil,Y}$ ).

Per cui, si valuta l'eccentricità in tale direzione:

$$e_X = M_{pil,Y}/N_{pl} = 31\,200\text{ Nm}/576\,745\text{ N} = 0,05410\text{ m} < L_{pl,X}/6 = 1,80/6 = 0,300\text{ m (sezione tutta compressa)}.$$

con:

$$M_{pil,Y} = 31\,200\text{ Nm (momento intorno all'asse Y alla base del pilastro);}$$

$$N_{pl} = 576\,745\text{ N (sforzo normale alla base del plinto);}$$

$$L_{pl,X} = 1,80\text{ m (dimensione del plinto in direzione X)}.$$

Quindi, essendo nell'ipotesi di piccola eccentricità ne consegue che il diagramma delle pressioni in direzione X è trapezoidale.

In particolare, con riferimento alla *Figura 7.13* la minima e la massima pressione in direzione X sono pari a:

$$\sigma_{1,X} = N_{pl}/A_{pl} - M_{pil,Y}/W_{pl,Y} = 576\,745/4320000 - 31200000/1296000000 = 0,109432\text{ N/mm}^2;$$

$$\sigma_{2,X} = \sigma_{max,X} = N_{pl}/A_{pl} + M_{pil,Y}/W_{pl,Y} = 576\,745/4320000 + 31200000/1296000000 = 0,157580\text{ N/mm}^2.$$

Dove:

$$A_{pl} = L_{pl,X} \cdot L_{pl,Y} = 1,80 \cdot 2,40 = 4,32\text{ m}^2 = 43200\text{ cm}^2 = 4\,320\,000\text{ mm}^2 \text{ [impronta a terra del plinto (escluso il magrone)];}$$

$$W_{pl,Y} = \frac{L_{pl,X}^2 \cdot L_{pl,Y}}{6} = \frac{1,80^2 \cdot 2,40}{6} = 1,296\text{ m}^3 = 1\,296\,000\text{ cm}^3 = 1\,296\,000\,000\text{ mm}^3 \text{ (modulo di resistenza lungo X dell'impronta a terra del plinto).}$$

Ragionando sul diagramma delle tensioni della *Figura 7.13* ed in particolare sui triangoli "abc" e "ab'c'" si ha:

$$\tan(\alpha) = \sigma_{bc}/L_{ab} = \sigma_{b'c'}/L_{ab'} \rightarrow \sigma_{bc} = \sigma_{b'c'} \cdot (L_{ab'}/L_{ab}) = 0,048148 \cdot 1,05/1,80 = 0,028086\text{ N/mm}^2.$$

dove:

$$\sigma_{b'c'} = \sigma_{2,X} - \sigma_{1,X} = 0,157580 - 0,109432 = 0,048148\text{ N/mm}^2;$$

$$\sigma_{1,X} = 0,109432\text{ N/mm}^2 \text{ (pressione minima in direzione X);}$$

$$\sigma_{2,X} = 0,157580\text{ N/mm}^2 \text{ (pressione massima in direzione X);}$$

$$L_{ab'} = L_{pl,X}/2 + L_{pil,X}/2 = 1,80/2 + 0,30/2 = 0,90 + 0,15 = 1,05\text{ m (distanza dal bordo "sinistro" del plinto della faccia 14 del pilastro);}$$

$$L_{ab} = L_{pl,X} = 1,80\text{ m (dimensione del plinto in direzione X);}$$

da cui la pressione in corrispondenza della faccia 14 del pilastro è data da:

$$\sigma_{14} = \sigma_{1,X} + \sigma_{bc} = 0,109432 + 0,028086 = 0,137518\text{ N/mm}^2.$$

Per quanto detto nei cenni teorici, il momento che agisce sulla faccia 14 del pilastro è dato da:

$$\begin{aligned} M_{14} &= L_{pil,Y} \cdot \sigma_{14} \cdot \frac{L_{11'}^2}{2} + [L_{pil,Y} \cdot \tan(\alpha) + 2 \cdot \sigma_{14} \cdot \tan(\beta)] \cdot \frac{L_{11'}^3}{3} + 2 \cdot \tan(\alpha) \cdot \tan(\beta) \cdot \frac{L_{11'}^4}{4} = \\ &= 500 \cdot 0,137518 \cdot \frac{750^2}{2} + [500 \cdot 2,67489 \cdot 10^{-5} + 2 \cdot 0,137518 \cdot 1,267] \cdot \frac{750^3}{3} + 2 \cdot 1,267 \cdot 2,67489 \cdot 10^{-5} \cdot \frac{750^4}{4} = \\ &= 19\,338\,487\text{ Nmm} + 50\,871\,622\text{ Nmm} + 5\,360\,243\text{ Nmm} = 75\,570\,352\text{ Nmm} = \mathbf{75\,570,352\text{ Nm}}. \end{aligned}$$

dove:

$$L_{pil,Y} = 0,50\text{ m} = 50\text{ cm} = 500\text{ mm (dimensione del pilastro in direzione Y);}$$

$$\sigma_{14} = 0,137518\text{ N/mm}^2 \text{ (pressione in corrispondenza della faccia 14 del pilastro);}$$

$$L_{11'} = L_{pl,X}/2 - L_{pil,X}/2 = 1,80/2 - 0,30/2 = 0,90 - 0,15 = 0,75\text{ m} = 75\text{ cm} = 750\text{ mm (distanza dal bordo "destro" del plinto della faccia 14 del pilastro);}$$

$$L_{pl,X} = 1,80\text{ m (dimensione del plinto in direzione X);}$$

$$L_{pil,X} = 0,30\text{ m (dimensione del pilastro in direzione X);}$$

$$\tan(\alpha) = (\sigma_{2,X} - \sigma_{1,X})/L_{pl,X} = (0,157580 - 0,109432)/1,80 = 0,048148/1,80 = 0,000026749\text{ N/mm}^3 \text{ (pendenza del diagramma delle pressioni);}$$

$$\sigma_{1,X} = 0,109432\text{ N/mm}^2 \text{ (pressione minima in direzione X);}$$

$$\sigma_{2,X} = 0,157580\text{ N/mm}^2 \text{ (pressione massima in direzione X).}$$

$$\tan(\beta) = L_{12}/L_{11'} = 950/750 = 1,267 \text{ (pendenza dei lati 12 e 34 del trapezio/mensola in esame);}$$

$$L_{12} = (L_{pl,Y} - L_{pil,Y})/2 = (2,40 - 0,50)/2 = 1,90/2 = 0,95\text{ m} = 95\text{ cm} = 950\text{ mm (distanza dal bordo esterno del plinto della faccia del pilastro diretta lungo Y);}$$

$$L_{pl,Y} = 2,40\text{ m (dimensione del plinto in direzione Y);}$$

Quindi, sulla sezione di attacco al pilastro di dimensioni  $B_B = L_{pil,Y} = 50\text{ cm}$ ;  $H_B = H_{pl} = 30\text{ cm}$  (con copriferro 35 mm) il momento sollecitante (intorno all'asse Y) che determina l'armatura a flessione è pari a:

$$M_Y = M_{Ed,2} = M_{14} = \mathbf{75\,570\text{ Nm}}.$$

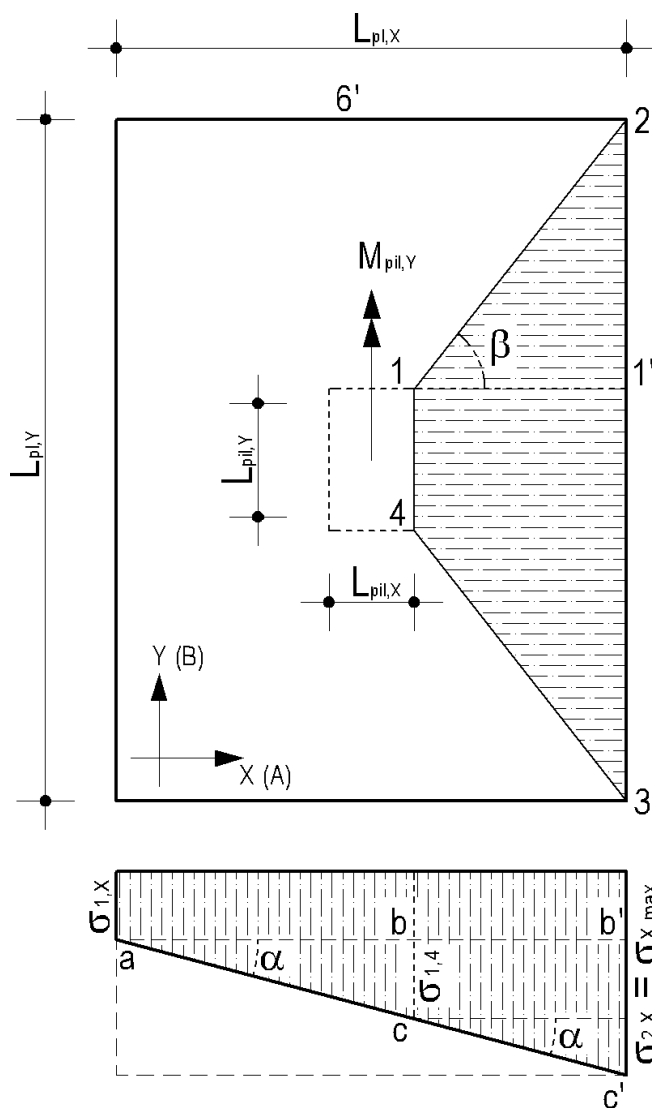


Figura 7.13: mensola in direzione X per calcolo di  $M_Y$  ( $M_{Ed,2}$ )

## Confronto

Di seguito si riporta il confronto tra il calcolo manuale e quello di EdiLus.

### SOLLECITAZIONI E VERIFICHE ALLO SLU

Plinto 1	Fondazione	
	Dir A	Dir B
$N_{Ed}$		576.745
$M_{Ed,3}$		377.734
$M_{Ed,2}$		75.570
$V_{Ed,3}$		10.400
$V_{Ed,2}$		195.000
Cmp.	-	-
Trz.	-	-
$A_{s,s}$	-	-
$A_{s,i}$	-	-
$A_{s,pz}$	-	-
$CS_f$	-	-
$CS_{pz}$	-	-

Manuale

### SOLLECITAZIONI E VERIFICHE ALLO SLU

Plinto 1	Fondazione	
	Dir A	Dir B
$N_{Ed}$		576.745
$M_{Ed,3}$		377.734
$M_{Ed,2}$		75.570
$V_{Ed,3}$		10.400
$V_{Ed,2}$		195.000
Cmp.	-	-
Trz.	-	-
$A_{s,s}$	46,24	16,93
$A_{s,i}$	46,24	16,93
$A_{s,pz}$	8,04	6,16
$CS_f$	1,14	2,26
$CS_{pz}$	NS	NS

EdiLus

## 8 (GEO) - Test di Validazione n.08 (Sollecitazioni Verifiche Plinto ALTO)

Titolo: **Sollecitazioni verifica plinto ALTO.**

Il file di EdilUS (CA) è: **Validazione\_Plinto\_Alto.EDL**

Si espone di seguito il procedimento adottato per la determinazione delle sollecitazioni utilizzate per le verifiche di resistenza nel caso di plinto ALTO (Rigido).

### Cenni Teorici

Il calcolo del plinto rigido viene effettuato considerando lo schema riportato nella *Figura 8.1*.

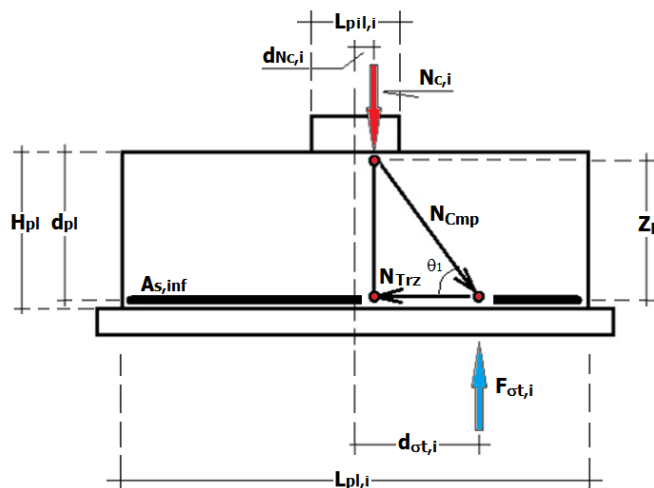


Figura 8.1: schema di calcolo

In pratica, con riferimento alla *Figura 8.1*, il procedimento adottato si articola nelle seguenti fasi:

#### Fase 1

Calcolo della risultante degli sforzi di compressione ( $N_c$ ) alla base del pilastro e relativa ripartizione nelle due direzioni di verifica ( $N_c = N_{c,x}$  e  $N_{c,y}$ ).

Direzione X (A)	Direzione Y (B)
$N_{c,x} = K_{Rip,x} \cdot N_c$	$N_{c,y} = K_{Rip,y} \cdot N_c$

Il coefficiente di ripartizione  $K_{Rip,i}$  ( $i = X, Y$ ), funzione del perimetro del pilastro, è dato da:

Direzione X (A)	Direzione Y (B)
$K_{Rip,x} = L_{plt,x} / (L_{plt,x} + L_{plt,y})$	$K_{Rip,y} = L_{plt,y} / (L_{plt,x} + L_{plt,y})$

con:

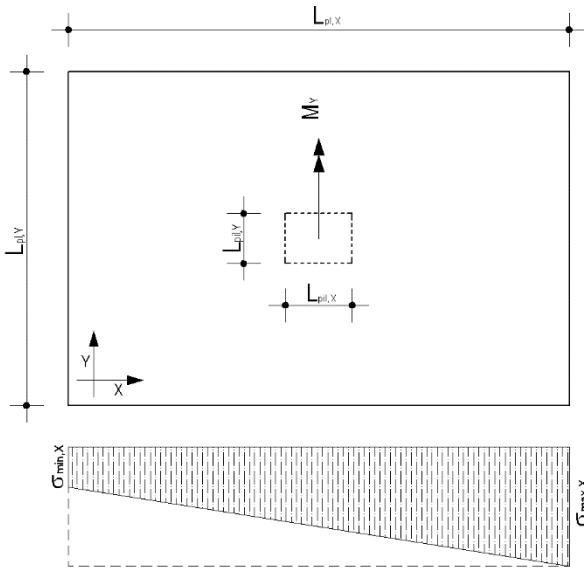
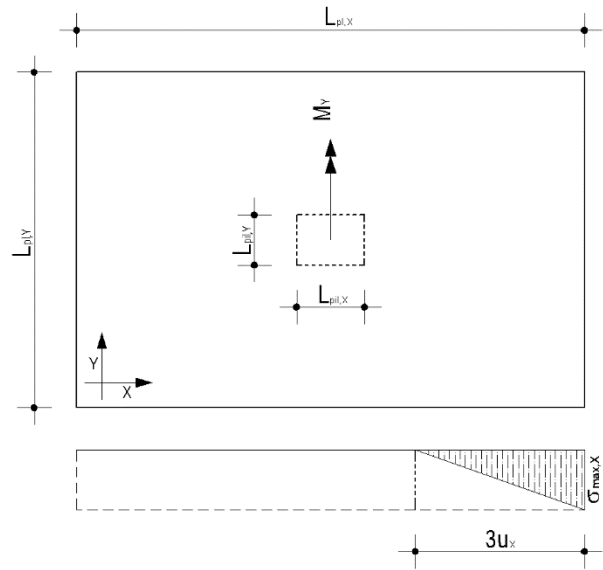
- $L_{plt,x}$  = dimensione del plinto nella direzione X;
- $L_{plt,y}$  = dimensione del plinto nella direzione Y.

#### Fase 2

Calcolo, nelle due direzioni di verifica, dell'andamento delle pressioni sul terreno.

In particolare, a seconda di "piccola" o "grande" eccentricità si assume:

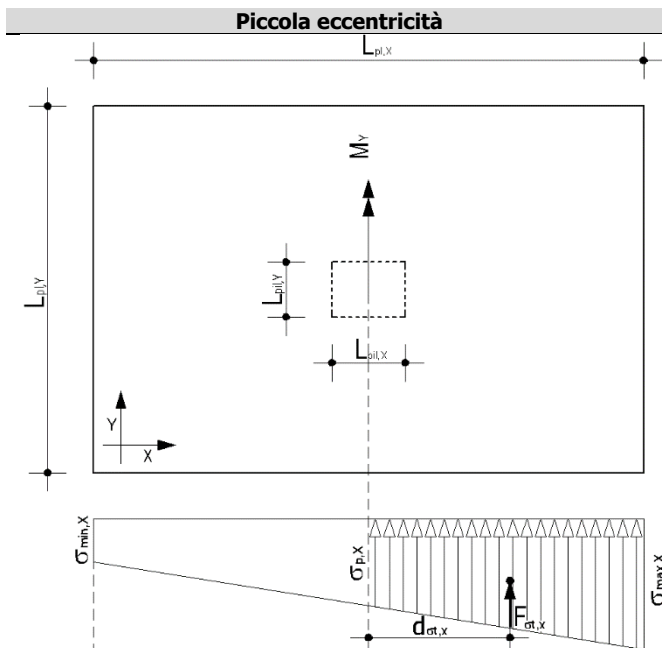
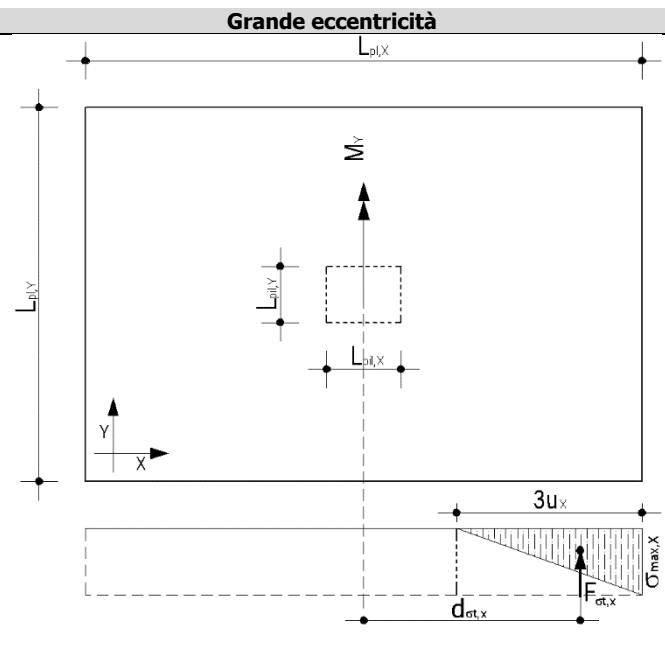
piccola eccentricità	grande eccentricità
<p>Se <math>e_i = M_j / N &lt; L_{pl,i} / 6</math> si ha il diagramma delle pressioni riportato nella <i>Figura 8.2</i>, dove:</p> $\sigma_{min,i} = N/A - M_j / W_j;$ $\sigma_{max,i} = N/A + M_j / W_j;$ <p>dove:</p> <p><math>i, j</math> direzioni tra loro ortogonali (<math>i = X \rightarrow j = Y</math> oppure <math>i = Y \rightarrow j = X</math>)  <math>N</math> = sforzo normale alla base del plinto;  <math>A</math> = area d'impronta del plinto (escluso il magrone);  <math>M_j</math> = momento flettente, intorno all'asse <math>j</math>, che agisce alla base del pilastro;  <math>W_j</math> = modulo di resistenza dell'impronta del plinto intorno all'asse <math>j</math>.</p>	<p>Se <math>e_i = M_j / N &gt; L_{pl,i} / 6</math> si ha il diagramma delle pressioni riportato nella <i>Figura 8.3</i>, dove:</p> $\sigma_{min,i} = 0;$ $\sigma_{max,i} = 2 \cdot N / [3 \cdot L_{plt,j} \cdot (L_{plt,i} / 2 - e_i)];$ <p><math>L_{plt,i}</math> = dimensione del plinto nella direzione <math>i</math>-esima;  <math>L_{plt,j}</math> = dimensione del plinto nella direzione <math>j</math>-esima.            La parte di terreno compressa è data da <math>3 \cdot u_i = 3 \cdot (L_{plt,i} / 2 - e_i)</math>.</p>


 Figura 8.2: andamento delle pressioni (es. direzione X), per *piccola* eccentricità

 Figura 8.3: andamento delle pressioni (es. direzione X) nel caso di *grande* eccentricità

### Fase 3

Calcolo, nelle due direzioni di verifica, della posizione ( $d_{\sigma,i}$ ) rispetto all'asse (centro) del pilastro della risultante della pressione sul terreno ( $F_{\sigma,i}$ ).

In particolare, nel caso di piccola eccentricità tale risultante è quella relativa alla parte di diagramma delle pressioni compreso tra l'asse del pilastro e la tensione massima (Figura 8.4).


 Figura 8.4: posizione risultante pressioni per *piccola* eccentricità

 Figura 8.5: posizione risultante pressioni per *grande* eccentricità

### Fase 4

Calcolo, nelle due direzioni di verifica, della posizione ( $d_{N_c,i}$ ) rispetto all'asse (centro) del pilastro della risultante degli sforzi di compressione ( $N_{c,i}$ ).

Tale distanza, nelle due direzioni, si ricava dalla seguente relazione:

$$d_{N_c,i} = d^*_{N_c,i} - L_{pil,i}/2 \quad (i = X, Y)$$

Direzione X	Direzione Y
$d_{Nc,x} = d_{Nc,x}^* - L_{pil,x}/2$	$d_{Nc,y} = d_{Nc,y}^* - L_{pil,y}/2$

Con:

$$d_{Nc,i}^* = d_{Nc,i,min} + (d_{Nc,i,max} - d_{Nc,i,min}) \cdot \left(1 - \frac{1}{e^{d_{pr s,i}}}\right) \quad (i = X, Y);$$

dove:

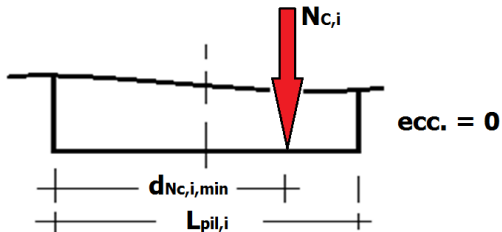
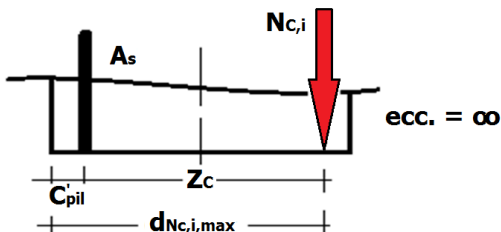
$d_{Nc,i,min} = 3 \cdot L_{pil,i}/4$  (distanza dal bordo del pilastro nel caso di sforzo normale centrato - *Figura 8.6*);

$L_{pil,i}$  = dimensione del pilastro nella direzione i-esima;

$d_{Nc,i,max} = Z_{C,i} + c'_{pil}$  (distanza dal bordo del pilastro nel caso di sforzo normale eccentrico - *Figura 8.7*);

$Z_{C,i} = 0,9 \cdot d_{pil} = 0,9 \cdot (L_{pil,i} - c'_{pil})$ ;

$c'_{pil}$  = copriferro del pilastro.

Direzione X (A)	Direzione Y (B)
$d_{Nc,x}^* = d_{Nc,x,min} + (d_{Nc,x,max} - d_{Nc,x,min}) \cdot \left(1 - \frac{1}{e^{d_{ot,x}}}\right)$  <p style="text-align: center;"><math>ecc. = 0</math></p>	$d_{Nc,y}^* = d_{Nc,y,min} + (d_{Nc,y,max} - d_{Nc,y,min}) \cdot \left(1 - \frac{1}{e^{d_{ot,y}}}\right)$  <p style="text-align: center;"><math>ecc. = \infty</math></p>
Figura 8.6: posizione di $N_{c,i}$ nel caso di sforzo normale <i>centrato</i>	Figura 8.7: posizione di $N_{c,i}$ nel caso di sforzo normale <i>eccentrico</i>

## Fase 5

Calcolo, nelle due direzioni di verifica, dell'angolo ( $\theta_{1,i}$ ) di inclinazione della biella compressa mediante la relazione (vedi triangolo delle forze in *Figura 8.1*):

$$tg(\theta_{1,i}) = \frac{Z_{F,i}}{(d_{ot,i} - d_{Nc,i})} \quad \rightarrow \quad \theta_{1,i} = \arctg\left[\frac{Z_{F,i}}{(d_{ot,i} - d_{Nc,i})}\right]$$

Dove:

$Z_{F,i} = H_{pil} - c'_{pl} - L_{pil,i}/4$  (altezza del triangolo delle forze);

$H_{pil}$  = altezza del plinto;

$c'_{pl}$  = copriferro plinto;

$L_{pil,i}$  = dimensione del pilastro nella direzione i-esima.

$d_{ot,i}$  = posizione, nella direzione i-esima, della risultante del diagramma delle pressioni;

$d_{Nc,i}$  = posizione, nella direzione i-esima, della risultante degli sforzi di compressione  $N_{c,i}$ , nella direzione i-esima.

Direzione X	Direzione Y
$\theta_{1,x} = \arctg\left[\frac{Z_{F,x}}{(d_{ot,x} - d_{Nc,x})}\right]$	$\theta_{1,y} = \arctg\left[\frac{Z_{F,y}}{(d_{ot,y} - d_{Nc,y})}\right]$

## Fase 6

Calcolo, nelle due direzioni di verifica, dello sforzo nella biella compressione ( $N_{Cmp}$ ) e di quello di trazione nelle armature ( $N_{Trz}$ ) mediante la relazione (vedi triangolo delle forze in *Figura 8.1*):

Sforzo biella compressa ( $N_{Cmp,x}$ )	Sforzo trazione compressa ( $N_{Trz,x}$ )
$N_{Cmb,i} = N_{c,i}/[2 \cdot \sin(\theta_{1,i})]$ .	$N_{Trz,i} = N_{c,i}/tg(\theta_{1,i})$ .

dove:

$N_{c,i}$  = aliquota della risultante degli sforzi di compressione nella direzione i-esima;

$\theta_{1,i}$  = inclinazione della biella compressa nella direzione i-esima.

dove:

Direzione X	Direzione Y
$N_{Cmb,x} = N_{C,x}/[2 \cdot \sin(\theta_{1,x})]$ ; $N_{Trz,x} = N_{C,x}/[\text{tg}(\theta_{1,x})]$ .	$N_{Cmb,y} = N_{C,y}/[2 \cdot \sin(\theta_{1,y})]$ ; $N_{Trz,y} = N_{C,y}/[\text{tg}(\theta_{1,y})]$ .

### Fase 7

Calcolo, nelle due direzioni di verifica, dell'armatura effettiva.

L'armatura inferiore (anche superiore per simmetria) *strettamente necessaria* è data da:

$$A_{s,i,calc} = N_{Trz,i}/f_{yd} \quad (i = X; Y);$$

dove:

$N_{Trz,i}$  = sforzo normale di trazione assorbito dall'armatura inferiore nella direzione i-esima;  
 $f_{yd} = f_{yk}/\gamma_s$  = resistenza di progetto allo snervamento dell'acciaio dei tondini;  
 $f_{yk}$  = resistenza caratteristica allo snervamento dell'acciaio dei tondini;  
 $\gamma_s$  = coefficiente di sicurezza allo SLU (1,15).

Direzione X	Direzione Y
$A_{s,x,calc} = N_{Trz,x}/f_{yd}$	$A_{s,y,calc} = N_{Trz,y}/f_{yd}$

Considerando che l'armatura *minima* da garantire (superiormente ed inferiormente) è pari a:

$$A_{s,i,min} = L_{plt,i} \cdot H_{plt} \cdot \rho_{min};$$

dove:

$L_{plt,i}$  = dimensione del plinto nella direzione i-esima;  
 $H_{plt}$  = altezza del plinto;  
 $\rho_{min}$  = percentuale minima di armatura (default 0,20%).

Direzione X	Direzione Y
$A_{s,x,min} = L_{plt,x} \cdot H_{plt} \cdot \rho_{min}$	$A_{s,y,min} = L_{plt,y} \cdot H_{plt} \cdot \rho_{min}$

L'armatura inferiore/superiore *effettiva* è data da:

$$A_{s,i,eff} = \max(A_{s,i,calc}; A_{s,i,min}) \quad (i = X; Y);$$

Direzione X	Direzione Y
$A_{s,x,eff} = \max(A_{s,x,calc}; A_{s,x,min})$	$A_{s,y,eff} = \max(A_{s,y,calc}; A_{s,y,min})$

In funzione del diametro di tondini commerciali settati nella tool-box delle armature del plinto, tale area effettiva viene garantita dall'area esecutiva ( $A_{s,i,es}$ ).

### Fase 8

In tale fase viene effettuata la verifica con il calcolo, in entrambe le direzioni di verifica, del coefficiente di sicurezza (CS).

Tale coefficiente di sicurezza viene valutato come:

$$CS_i = N_{Rd,i}/N_{Trz,i} \quad (i = X; Y);$$

dove:

$N_{Rd,i} = f_{yd} \cdot A_{s,i,es}$  = sforzo resistente a trazione delle armature nella direzione i-esima;  
 $f_{yd}$  = resistenza di progetto dell'acciaio;  
 $A_{s,i,es}$  = area esecutiva di armatura nella direzione i-esima.  
 $N_{Trz,i}$  = sforzo normale di trazione assorbito dall'armatura inferiore nella direzione i-esima.

Direzione X	Direzione Y
$CS_x = N_{Rd,x}/N_{Trz,x}$	$CS_y = N_{Rd,y}/N_{Trz,y}$

## Esempio

### - Dati Generali -

#### -- Analisi --

- Analisi sismica: Nessuna.

#### -- Pilastro -- (Figura 8.8)

- $L_{pil,x}$  = dimensione lungo X = 0,30 m.
- $L_{pil,y}$  = dimensione lungo Y = 0,50 m.
- $H_{pil}$  = altezza = 3,00 m.
- Materiale = Cls C25/30\_B450C (con peso specifico  $\gamma_c = 25\ 000\ N/m^3$ ).

#### -- Plinto -- (Figura 8.8)

- $L_{plt,x}$  = dimensione lungo X = 1,80 m.
  - $L_{plt,y}$  = dimensione lungo Y = 2,40 m.
  - $H_{plt}$  = altezza/spessore = 0,80 m.
  - $s_m$  = spessore magrone = 0,15 m.
  - Materiale = Cls C25/30\_B450C (con peso specifico  $\gamma_c = 25\ 000\ N/m^3$ ).
- Acciaio B450C ->  $f_{yk}$  = resistenza caratteristica allo snervamento = 450 N/mm<sup>2</sup>;  
 $\gamma_s$  = coefficiente di sicurezza allo SLU = 1,15.

#### -- Forze esterne --

- Forza ( $F_x$ ) concentrata orizzontale di **8 000 N** (Condizione di carico -> Permanente) applicata in testa al pilastro e diretta secondo +X (Blu in Figura 8.9).
- Forza ( $F_y$ ) concentrata orizzontale di **150 000 N** (Condizione di carico -> Permanente) applicata in testa al pilastro e diretta secondo +Y (Azzurra in Figura 8.9).
- Forza ( $F_z$ ) concentrata verticale di **400 000 N** (Condizione di carico -> Permanente) applicata in testa al pilastro e diretta secondo -Z (Rossa in Figura 8.9).

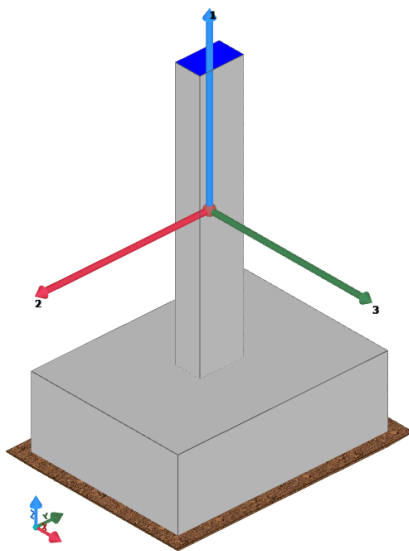


Figura 8.8: vista - "Editor 3D"

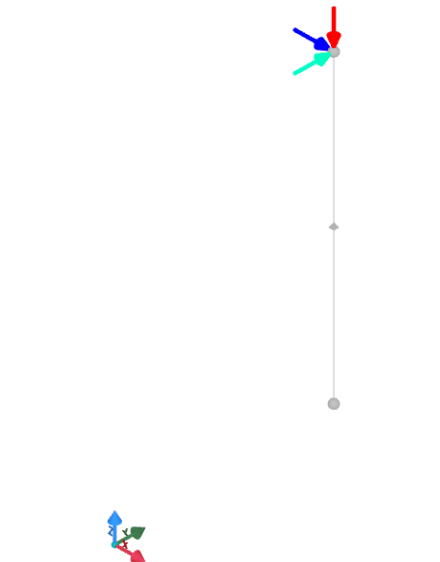


Figura 8.9: vista - "Forze e Momenti (utente)"

### - Determinazione delle azioni -

#### -- Caratteristiche --

Le azioni caratteristiche in gioco sono:

- Peso proprio del pilastro ( $P_{pil}$  - Condizione di carico -> Permanente):  

$$P_{pil} = L_{pil,x} \cdot L_{pil,y} \cdot H_{pil} \cdot \gamma_c = 0,30m \cdot 0,50m \cdot 3,00m \cdot 25000N/m^3 = 11\ 250\ N.$$
- Peso proprio del plinto ( $P_{pl}$  - Condizione di carico -> Permanente):

$$P_{plt} = L_{plt,x} \cdot L_{plt,y} \cdot H_{plt} \cdot \gamma_c = 1,80m \cdot 2,40m \cdot 0,80m \cdot 25000N/m^3 = 86\,400\, N.$$

- Forza in testa al pilastro in X ( $F_X$  - Condizione di carico -> Permanente):

$$F_X = 8\,000\, N.$$

- Forza in testa al pilastro in Y ( $F_Y$  - Condizione di carico -> Permanente):

$$F_Y = 150\,000\, N.$$

- Forza in testa al pilastro in Z ( $F_Z$  - Condizione di carico -> Permanente):

$$F_Z = 400\,000\, N.$$

In assenza di sisma, allo SLU, le combinazioni di carico, con relativi coefficienti di combinazione, sono:

Combinazione	Carico Permanente
1	1,30
2	1,00

### -- Combinate alla base del pilastro --

La **combinazione 1** (più gravosa) determina al piede del pilastro le seguenti azioni:

$$N_{pil} = (P_{pil} + F_Z) \cdot 1,30 = (11250\, N + 400000\, N) \cdot 1,30 = 411250\, N \cdot 1,30 = 534\,625\, N;$$

$$T_{pil,x} = F_X \cdot 1,30 = 8000\, N \cdot 1,30 = 10\,400\, N;$$

$$T_{pil,y} = F_Y \cdot 1,30 = 150000\, N \cdot 1,30 = 195\,000\, N;$$

$$M_{pil,x} = (F_Y \cdot H_{pil}) \cdot 1,30 = (150000\, N \cdot 3,00\, m) \cdot 1,30 = 585\,000\, Nm;$$

$$M_{pil,y} = (F_X \cdot H_{pil}) \cdot 1,30 = (8000\, N \cdot 3,00\, m) \cdot 1,30 = 31\,200\, Nm.$$

### -- Combinate alla base del plinto --

La **combinazione 1** (più gravosa) determina al piede del plinto le seguenti azioni:

$$N_{plt} = (P_{pil} + F_Z + P_{pl}) \cdot 1,30 = (11250\, N + 400000\, N + 86400\, N) \cdot 1,30 = 497650\, N \cdot 1,30 = 646\,945\, N;$$

$$T_{plt,x} = T_{pil,x} = 10\,400\, N;$$

$$T_{plt,y} = T_{pil,y} = 195\,000\, N;$$

$$M_{plt,x} = T_{pil,y} \cdot (H_{plt} + H_{pil}) = 195000\, N \cdot (0,80\, m + 3,00\, m) = 195000\, N \cdot 3,80\, m = 741\,000\, Nm;$$

$$M_{plt,y} = T_{pil,x} \cdot (H_{plt} + H_{pil}) = 10400\, N \cdot (0,80\, m + 3,00\, m) = 10400\, N \cdot 3,80\, m = 39\,520\, Nm.$$

### -- Riassunto Sollecitazioni Combinate --

Nella successiva tabella si riassumono le sollecitazioni relative alla *combinazione 1* alla base del pilastro e alla base del plinto.

**Tab. 8.1:** Sollecitazioni della combinazione 1 alla base del pilastro e del plinto

Base Pilastro/Plinto	N	$T_x$	$T_y$	$M_x$	$M_y$
	[N]	[N]	[N]	[Nm]	[Nm]
Base Pilastro	534 625	10 400	195 000	585 000	31 200
Base Plinto	646 945			741 000	39 520

### - Determinazione sollecitazioni di verifica -

#### -- Sforzo Normale ( $N = N_{Ed}$ ) --

Tale valore corrisponde sia allo sforzo normale alla base del plinto ( $N_{pl}$ ) che quello alla base del pilastro ( $N_{pil}$ ). Quindi, con riferimento alla *Tab. 8.1* si ha:

$$N = N_{Ed} = \frac{N_{pil} = 534\,625\, N \text{ (utilizzato nella FASE 1)}}{N_{pl} = 646\,945\, N \text{ (utilizzato nella FASE 2. Valore riportato nelle tabelle dei risultati)}}$$

#### -- Sforzo di Taglio lungo X ( $T_x$ ) - Asse locale "3" ( $V_{Ed,3}$ ) --

Tale valore corrisponde con lo sforzo di taglio lungo X al piede del pilastro. Quindi, con riferimento alla *Tab. 8.1* si ha:

$$T_x = V_{Ed,3} = T_{pil,x} = 10\,400\, N.$$

### -- Sforzo di Taglio lungo Y ( $T_y$ ) - Asse locale "2" ( $V_{Ed,2}$ ) --

Tale valore corrisponde con lo sforzo di taglio lungo Y al piede del pilastro. Quindi, con riferimento alla Tab. 8.1 si ha:

$$T_y = V_{Ed,2} = T_{pil,y} = \mathbf{195\ 000\ N.}$$

### -- Momento Flettente rispetto a X ( $M_x$ ) - Asse locale "3" ( $M_{Ed,3}$ ) --

Tale valore corrisponde con il momento intorno all'asse X (asse locale 3) al piede del pilastro. Quindi, con riferimento alla Tab. 8.1 si ha:

$$M_x = M_{Ed,3} = M_{pil,x} = \mathbf{585\ 000\ N.}$$

### -- Momento Flettente lungo Y ( $M_y$ ) - Asse locale "2" ( $M_{Ed,2}$ ) --

Tale valore corrisponde con il momento intorno all'asse Y (asse locale 2) al piede del pilastro. Quindi, con riferimento alla Tab. 8.1 si ha:

$$M_y = M_{Ed,2} = M_{pil,y} = \mathbf{31\ 200\ N.}$$

### - Biella Compresa ( $N_{Cmp}$ ) e Trazione armature ( $N_{Trz}$ ) -

Con riferimento a quanto detto nei cenni teorici, ripercorriamo, per le due direzioni di verifica, le varie fasi che portano al calcolo dei contributi a compressione ( $N_{Cmp}$ ) e trazione ( $N_{Trz}$ ).

#### Fase 1

La risultante degli sforzi di compressione alla base del pilastro ( $N_c$ ) è pari a:

$$N_c = N_{pil} = \mathbf{534\ 625\ N}$$

Il coefficiente di ripartizione di  $N_c$  nelle due direzioni è pari a:

Direzione B (X)	Direzione A (Y)
$K_{Rip,x} = L_{plt,x}/(L_{plt,x} + L_{plt,y}) = 1,8/(1,8 + 2,4) =$ $= 1,8/4,2 = \mathbf{0,429}$	$K_{Rip,y} = L_{plt,y}/(L_{plt,x} + L_{plt,y}) = 2,4/(1,8 + 2,4) =$ $= 2,4/4,2 = \mathbf{0,571}$

con:

$$L_{plt,x} = 1,80\ m\ (\text{dimensione del plinto nella direzione X});$$

$$L_{plt,y} = 2,40\ m\ (\text{dimensione del plinto nella direzione Y}).$$

Per cui nelle due direzioni la risultante degli sforzi di compressione  $N_c$  si ripartisce nelle seguenti componenti:

Direzione X (B)	Direzione Y (A)
$N_{c,x} = K_{Rip,x} \cdot N_c = 0,429 \cdot 534625 = \mathbf{229\ 125\ N}$	$N_{c,y} = K_{Rip,y} \cdot N_c = 0,571 \cdot 534625 = \mathbf{305\ 500\ N}$

Le successive "Fasi" 2, ..., 6 vanno dettagliate separatamente per le due direzioni di verifica

#### • Direzione Y (B)

In tale direzione, la sezione rettangolare per cui si andrà a calcolare l'armatura è la  $L_{plt,y} \times H_{plt} = 2,40\ m \times 0,80\ m = 1,92\ m^2$ , con copriferro 35 mm.

#### Fase 2

Valutiamo l'andamento delle pressioni, in direzione Y (direzione B di EdiLus), generato dal momento intorno all'asse X presente al piede del pilastro ( $M_{x,pil}$ ).

Per cui, si valuta l'eccentricità dovuta a tale momento:

$$e_y = M_{x,pil}/N_{pil} = 585000\ Nm/646945\ N = \mathbf{0,90425\ m} > L_{plt,y}/6 = 2,40/6 = 0,400\ m\ (\text{sezione parzialmente compressa}).$$

con:

$$M_{x,pil} = 585\ 000\ Nm\ (\text{momento intorno all'asse X alla base del pilastro});$$

$$N_{pil} = 646\ 945\ N\ (\text{sforzo normale alla base del plinto});$$

$$L_{plt,y} = 2,40\ m\ (\text{dimensione del plinto in direzione Y}).$$

Quindi, essendo nell'ipotesi di **grande** eccentricità ne consegue che il diagramma delle pressioni in direzione Y è triangolare.

In particolare, con riferimento alla *Figura 8.10*, per quanto detto nei cenni teorici, la minima e la massima pressione in direzione Y sono pari a:

$$\sigma_{1,y} = \sigma_{\min,y} = 0 \text{ N/mm}^2;$$

$$\sigma_{2,y} = \sigma_{\max,y} = 2 \cdot N_{\text{plt}} / [3 \cdot L_{\text{plt},x} \cdot (L_{\text{plt},y} / 2 - e_y)] = 2 \cdot 646945 / [3 \cdot 1800 \cdot (2400 / 2 - 904,25)] = 0,810175 \text{ N/mm}^2.$$

Dove:

$N_{\text{plt}} = 646\,945$  N (sforzo normale alla base del plinto);

$L_{\text{plt},x} = 1,80$  m = 180 cm = 1800 mm (dimensione del plinto in direzione X);

$L_{\text{plt},y} = 2,40$  m = 240 cm = 2400 mm (dimensione del plinto in direzione Y);

$e_y = 0,90425$  m = 90,425 cm = 904,25 mm (eccentricità in direzione Y dovuto al momento intorno all'asse X).

L'ampiezza della parte compressa del terreno è pari a:

$$3 \cdot u_y = 3 \cdot (L_{\text{plt},y} / 2 - e_y) = 3 \cdot (2400 / 2 - 904,25) = 887,25 \text{ mm} = 88,725 \text{ cm} = 0,88725 \text{ m}.$$

### Fase 3

A questo punto si può calcolare la distanza ( $d_{\text{ot},y}$ ), dall'asse del pilastro, della risultante del diagramma triangolare delle pressioni (*Figura 8.10*), come:

$$d_{\text{ot},y} = L_{\text{plt},y} / 2 - 3 \cdot u_y / 3 = 2,40 / 2 - 0,88725 / 3 = 0,90425 \text{ m}.$$

Dove:

$L_{\text{plt},y} = 2,40$  m (dimensione del plinto in direzione Y);

$3 \cdot u_y = 0,88725$  m (ampiezza della parte compressa del terreno).

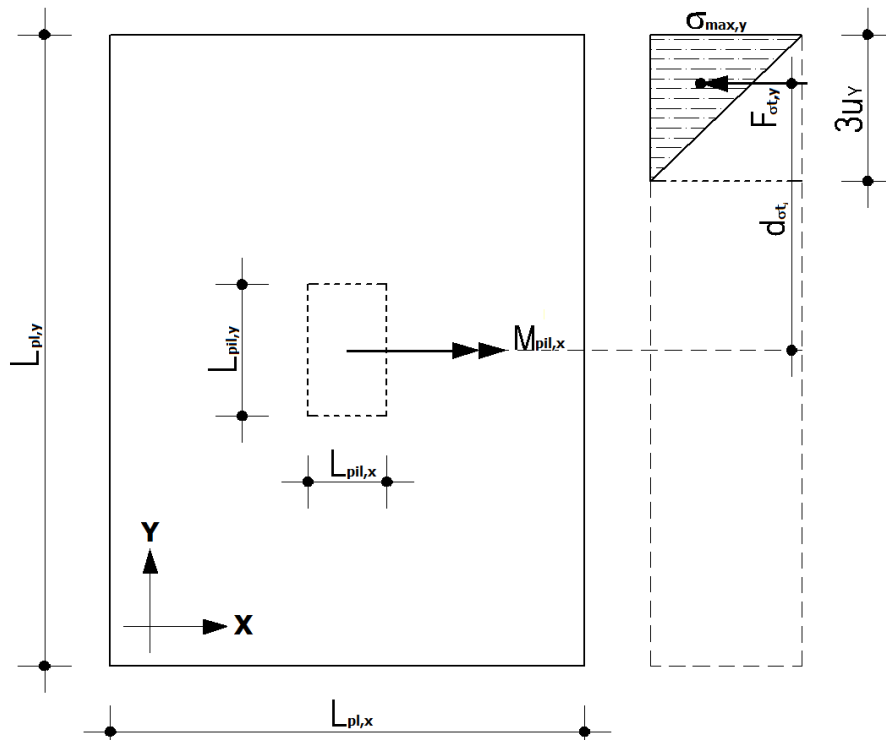


Figura 8.10: diagramma delle pressioni in direzione Y - risultante delle pressioni

### Fase 4

Si passa, ora, a calcolare la posizione rispetto al bordo del pilastro ( $d_{\text{Nc},y}^*$ ) della risultante degli sforzi di compressione (*Figura 8.11*) mediante la relazione:

$$\begin{aligned} d_{\text{Nc},y}^* &= d_{\text{Nc},y,\min} + (d_{\text{Nc},y,\max} - d_{\text{Nc},y,\min}) \cdot \left(1 - \frac{1}{e^{d_{\text{ot},y}}}\right) = 0,3750 + (0,4535 - 0,3750) \cdot \left(1 - \frac{1}{e^{0,9042}}\right) = \\ &= 0,3750 + 0,0785 \cdot 0,5952 = 0,4217 \text{ m}. \end{aligned}$$

dove:

$$d_{Nc,y,min} = 3 \cdot L_{pil,y} / 4 = 3 \cdot 0,50 / 4 = 0,3750 \text{ m (posizione, dal bordo del pilastro, della risultante degli sforzi di compressione "centrati" - Figura 8.6);}$$

$$L_{pil,y} = 0,50 \text{ m (dimensione del pilastro in direzione Y).}$$

$$d_{Nc,y,max} = Z_{C,y} + c'_{pil} = 0,4185 + 0,035 = 0,4535 \text{ m (posizione, dal bordo del pilastro, della risultante degli sforzi di compressione "eccentrici" - Figura 8.7);}$$

$$Z_{C,y} = 0,9 \cdot d_{pil,y} = 0,9 \cdot (L_{pil,y} - c'_{pil}) = 0,9 \cdot (0,50 - 0,035) = 0,4185 \text{ m;}$$

$$c'_{pil} = 35 \text{ mm} = 3,5 \text{ cm} = 0,035 \text{ m (copriferro del pilastro);}$$

$$d_{\sigma_t,y} = 0,9042 \text{ m (posizione della risultante del diagramma delle pressioni dall'asse del pilastro).}$$

Da cui, la posizione rispetto all'asse del pilastro (Figura 8.11) è pari a:

$$d_{Nc,y} = d^*_{Nc,y} - L_{pil,y} / 2 = 0,4217 - 0,50 / 2 = 0,1717 \text{ m;}$$

dove:

$$d^*_{Nc,y} = 0,4217 \text{ m (posizione, dal bordo del pilastro, della risultante degli sforzi di compressione } N_{c,y});$$

$$L_{pil,y} = 0,50 \text{ m (dimensione del pilastro in direzione Y).}$$

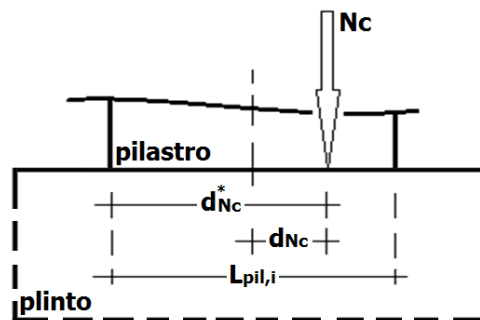


Figura 8.11: posizione della risultante degli sforzi di compressione ( $N_c$ ) alla base del pilastro, nella direzione i-esima

## Fase 5

Note la posizione della risultante delle pressioni sul terreno ( $d_{\sigma_t,y}$ ) e della risultante degli sforzi di compressione ( $d_{Nc,y}$ ) si può calcolare l'angolo ( $\theta_{1,y}$ ) di inclinazione della biella compressa (Figura 8.12), come:

$$\text{tg}(\theta_{1,y}) = Z_{F,y} / (d_{\sigma_t,y} - d_{Nc,y}) \quad \rightarrow \quad \theta_{1,y} = \text{arctg}[Z_{F,y} / (d_{\sigma_t,y} - d_{Nc,y})] = \text{arctg}[0,64 / (0,9042 - 0,1717)] = \text{arctg}[0,873684] = 41,14^\circ.$$

Dove:

$$Z_{F,y} = H_{plt} - c'_{plt} - L_{pil,y} / 4 = 0,80 - 0,035 - 0,50 / 4 = 0,640 \text{ m (altezza del triangolo delle forze - Figura 8.12);}$$

$$H_{plt} = 0,80 \text{ m (altezza del plinto);}$$

$$c'_{plt} = 35 \text{ mm} = 3,5 \text{ cm} = 0,035 \text{ m (copriferro plinto);}$$

$$L_{pil,y} = 0,50 \text{ m (dimensione del pilastro in direzione Y);}$$

$$d_{\sigma_t,y} = 0,9042 \text{ m (posizione, dall'asse del pilastro, della risultante del diagramma delle pressioni - Figura 8.12);}$$

$$d_{Nc,y} = 0,1717 \text{ m (posizione, dall'asse del pilastro, della risultante degli sforzi di compressione } N_{c,y} \text{ - Figura 8.12).}$$

## Fase 6

Ora, è possibile calcolare lo sforzo nella biella compressa ( $N_{Cmp,y}$ ) e quello di trazione assorbito dalle armature ( $N_{Trz,y}$ ) - (Figura 8.12).

Sforzo biella compressa ( $N_{Cmp,y}$ )	Sforzo trazione compressa ( $N_{Trz,y}$ )
$N_{Cmb,y} = N_{c,y} / [2 \cdot \sin(\theta_{1,y})] = 305\,500 / [2 \cdot \sin(41,14^\circ)] = 232\,163 \text{ N.}$	$N_{Trz,y} = N_{c,y} / \text{tg}(\theta_{1,y}) = 305\,500 / \text{tg}(41,14^\circ) = 349\,669 \text{ N.}$
<p>Dove:</p> $N_{c,y} = 305500 \text{ N (aliquota della risultante degli sforzi di compressione in direzione Y);}$ $\theta_{1,y} = 41,14^\circ \text{ (inclinazione della biella compressa in direzione Y).}$	<p>Dove:</p>

Quindi,  $N_{Trz,y}$  appena calcolato rappresenta l'azione di trazione che deve essere assorbita dall'armatura che viene disposta in **direzione X**.

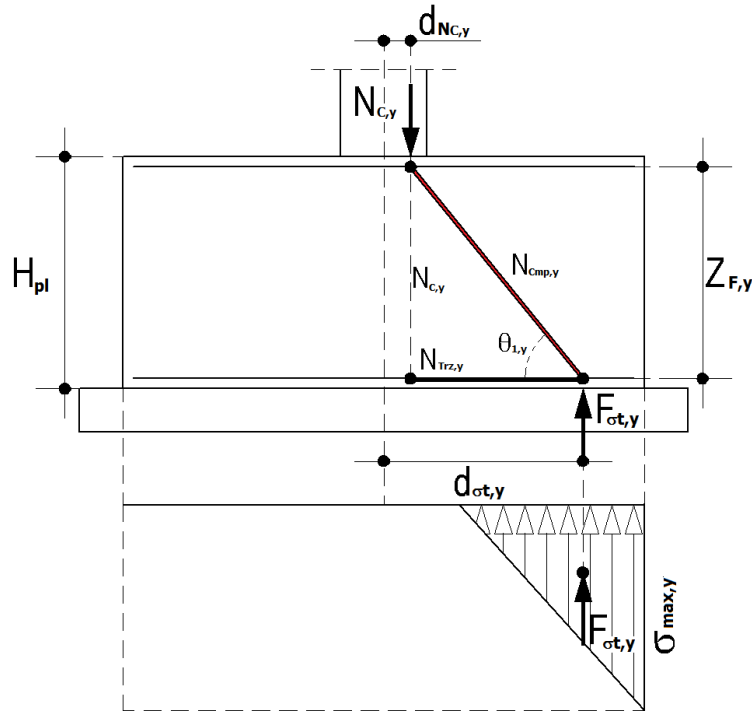


Figura 8.12: inclinazione della biella compressa in direzione Y

### • Direzione A (X)

In tale direzione, la sezione rettangolare per cui si andrà a calcola l'armatura è la  $L_{plt,x} \times H_{plt} = 1,80\text{m} \times 0,80\text{m} = 1,44 \text{ m}^2$ , con copriferro 35 mm.

### Fase 2

Valutiamo l'andamento delle pressioni, in direzione X (direzione A di EdiLus), generato dal momento intorno all'asse Y presente al piede del pilastro ( $M_{pil,y}$ ).

Per cui, si valuta l'eccentricità in tale direzione:

$$e_x = M_{pil,y}/N_{plt} = 31200 \text{ Nm}/646945 \text{ N} = 0,04823 \text{ m} < L_{plt,x}/6 = 1,80/6 = 0,300 \text{ m} \text{ (sezione tutta compressa).}$$

con:

$M_{pil,y} = 31\,200 \text{ Nm}$  (momento intorno all'asse Y alla base del pilastro);

$N_{plt} = 646\,945 \text{ N}$  (sforzo normale alla base del plinto);

$L_{plt,x} = 1,80 \text{ m}$  (dimensione del plinto in direzione X).

Quindi, essendo nell'ipotesi di piccola eccentricità ne consegue che il diagramma delle pressioni in direzione X è trapezoidale.

In particolare, con riferimento alla *Figura 8.13* la minima e la massima pressione in direzione X sono pari a:

$$\sigma_{1,x} = N_{plt}/A_{plt} - M_{pil,y}/W_{plt,y} = 646945/4320000 - 31200000/129600000 = 0,125682 \text{ N/mm}^2;$$

$$\sigma_{2,x} = \sigma_{max,x} = N_{plt}/A_{plt} + M_{pil,y}/W_{plt,y} = 646945/4320000 + 31200000/129600000 = 0,173830 \text{ N/mm}^2.$$

Dove:

$A_{plt} = L_{plt,x} \cdot L_{plt,y} = 1,80 \cdot 2,40 = 4,32 \text{ m}^2 = 43200 \text{ cm}^2 = 4\,320\,000 \text{ mm}^2$  [impronta a terra del plinto (escluso il magrone)];

$W_{plt,y} = L_{plt,x}^2 \cdot L_{plt,y}/6 = 1,80^2 \cdot 2,40/6 = 1,296 \text{ m}^3 = 1\,296\,000 \text{ cm}^3 = 1\,296\,000\,000 \text{ mm}^3$  (modulo di resistenza in X dell'impronta a terra).

### Fase 3

Consideriamo il diagramma delle pressioni dalla parte della tensione massima, ed andiamo a calcolare la pressione del terreno ( $\sigma_{p,x}$ ) in corrispondenza dell'asse del pilastro (Figura 8.13).

Ragionando sui triangoli "abc" e "ab'c'" si ha:

$$\tan(\alpha) = \sigma_{bc}/L_{ab} = \sigma_{b'c'}/L_{ab'}$$

da cui:

$$\sigma_{b'c'} = \sigma_{bc} \cdot (L_{ab'}/L_{ab}) = 0,048148 \cdot (900/1800) = 0,024074 \text{ N/mm}^2;$$

essendo:

$$\sigma_{bc} = (\sigma_{2,x} - \sigma_{1,x}) = (0,173830 - 0,125682) = 0,048148 \text{ N/mm}^2;$$

$$\sigma_{2,x} = 0,173830 \text{ N/mm}^2 \text{ (massima tensione sul terreno);}$$

$$\sigma_{1,x} = 0,125682 \text{ N/mm}^2 \text{ (minima tensione sul terreno).}$$

$$L_{ab'} = L_{pil,x}/2 = 1,80/2 = 0,90 \text{ m} = 90 \text{ cm} = 900 \text{ mm};$$

$$L_{pil,x} = 1,80 \text{ m (dimensione del plinto lungo X);}$$

$$L_{ab} = L_{pil,x} = 1,80 \text{ m} = 180 \text{ cm} = 1800 \text{ mm.}$$

Per cui:

$$\sigma_{p,x} = \sigma_{1,x} + \sigma_{b'c'} = 0,125682 + 0,024074 = 0,149756 \text{ N/mm}^2.$$

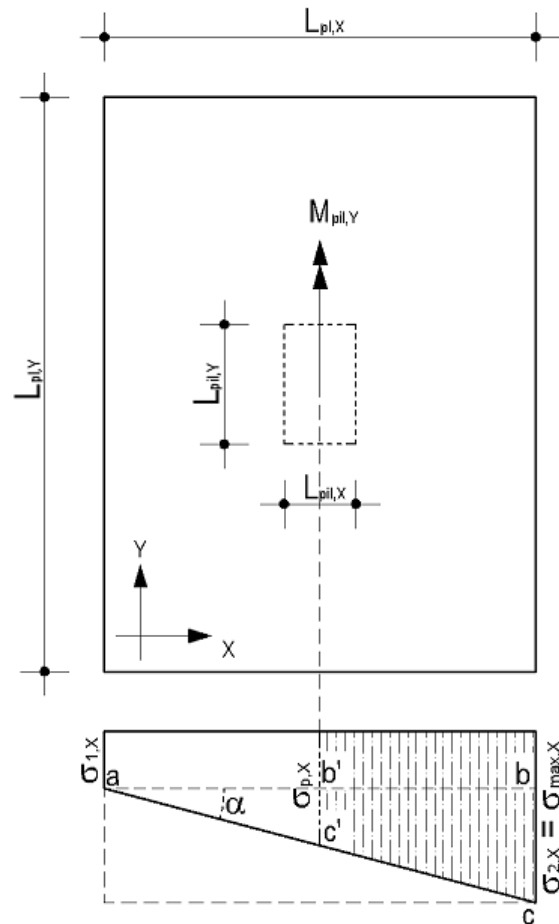


Figura 8.13: diagramma delle pressioni in direzione X - pressione in asse al pilastro

Scomponiamo il diagramma delle pressioni trapezoidale come "somma" di quello rettangolare e quello triangolare (Figura 8.14).

Dall'equilibrio alla rotazione rispetto all'asse del pilastro (punto "0" nella *Figura 8.14*) si ha:

$$F_{\sigma t,x} \cdot d_{\sigma t,x} = F_{Rt} \cdot d_{Rt} + F_{Tr} \cdot d_{Tr}$$

dove:

$$F_{\sigma t,x} = [(\sigma_{2,x} + \sigma_{p,x}) \cdot L_{plt,x} / 4] \cdot L_{plt,y} \text{ (risultante del diagramma delle pressioni trapezoidale);}$$

$$F_{Rt,x} = (L_{plt,x} / 2 \cdot \sigma_{p,x}) \cdot L_{plt,y} \text{ (risultante del diagramma delle pressioni rettangolare);}$$

$$d_{Rt,x} = L_{plt,x} / 4 \text{ (distanza dall'asse del pilastro del diagramma delle pressioni rettangolare);}$$

$$F_{Tr,x} = [L_{plt,x} / 2 \cdot (\sigma_{2,x} - \sigma_{p,x}) / 2] \cdot L_{plt,y} \text{ (risultante del diagramma delle pressioni triangolare);}$$

$$d_{Tr,x} = 2 \cdot L_{plt,x} / 6 \text{ (distanza dall'asse del pilastro della risultante del diagramma delle pressioni triangolare).}$$

Da cui, possiamo calcolare la distanza, dall'asse del pilastro, della risultante ( $d_{\sigma t,x}$ ) del diagramma trapezoidale delle pressioni, come:

$$d_{\sigma t,x} = (F_{Rt,x} \cdot d_{Rt,x} + F_{Tr,x} \cdot d_{Tr,x}) / F_{\sigma t,x} =$$

$$= \{ (L_{plt,x} / 2 \cdot \sigma_{p,x}) \cdot L_{plt,y} \cdot L_{plt,x} / 4 +$$

$$+ [L_{plt,x} / 2 \cdot (\sigma_{2,x} - \sigma_{p,x}) / 2] \cdot L_{plt,y} \cdot 2 \cdot L_{plt,x} / 6 \} / [(\sigma_{2,x} + \sigma_{p,x}) \cdot (L_{plt,x} / 4) \cdot L_{plt,y}] =$$

$$= [L_{plt,x} \cdot \sigma_{p,x} / 8 + L_{plt,x} \cdot (\sigma_{2,x} - \sigma_{p,x}) / 12] / [(\sigma_{2,x} + \sigma_{p,x}) / 4] =$$

$$= L_{plt,x} \cdot [\sigma_{p,x} / 2 + (\sigma_{2,x} - \sigma_{p,x}) / 3] / (\sigma_{2,x} + \sigma_{p,x}) =$$

$$= (L_{plt,x} / 6) \cdot [3 \cdot \sigma_{p,x} + 2 \cdot (\sigma_{2,x} - \sigma_{p,x})] / (\sigma_{2,x} + \sigma_{p,x}) =$$

$$= (L_{plt,x} / 6) \cdot (3 \cdot \sigma_{p,x} + 2 \cdot \sigma_{2,x} - 2 \cdot \sigma_{p,x}) / (\sigma_{2,x} + \sigma_{p,x}) =$$

$$= (L_{plt,x} / 6) \cdot (\sigma_{p,x} + 2 \cdot \sigma_{2,x}) / (\sigma_{2,x} + \sigma_{p,x}) =$$

$$= (1800 / 6) \cdot (0,149756 + 2 \cdot 0,173830) / (0,173830 + 0,149756) =$$

$$= 300 \cdot 0,497416 / 0,323586 = 461,16 \text{ mm} = 46,116 \text{ cm} =$$

$$= \mathbf{0,4612} \text{ mm.}$$

dove:

$$\sigma_{2,x} = 0,173830 \text{ N/mm}^2 \text{ (massima pressione sul terreno);}$$

$$\sigma_{p,x} = 0,149756 \text{ N/mm}^2 \text{ (pressione sul terreno in corrispondenza dell'asse del pilastro);}$$

$$L_{plt,x} = 1,80 \text{ m} = 180 \text{ cm} = 1800 \text{ mm} \text{ (dimensione del plinto in direzione X).}$$

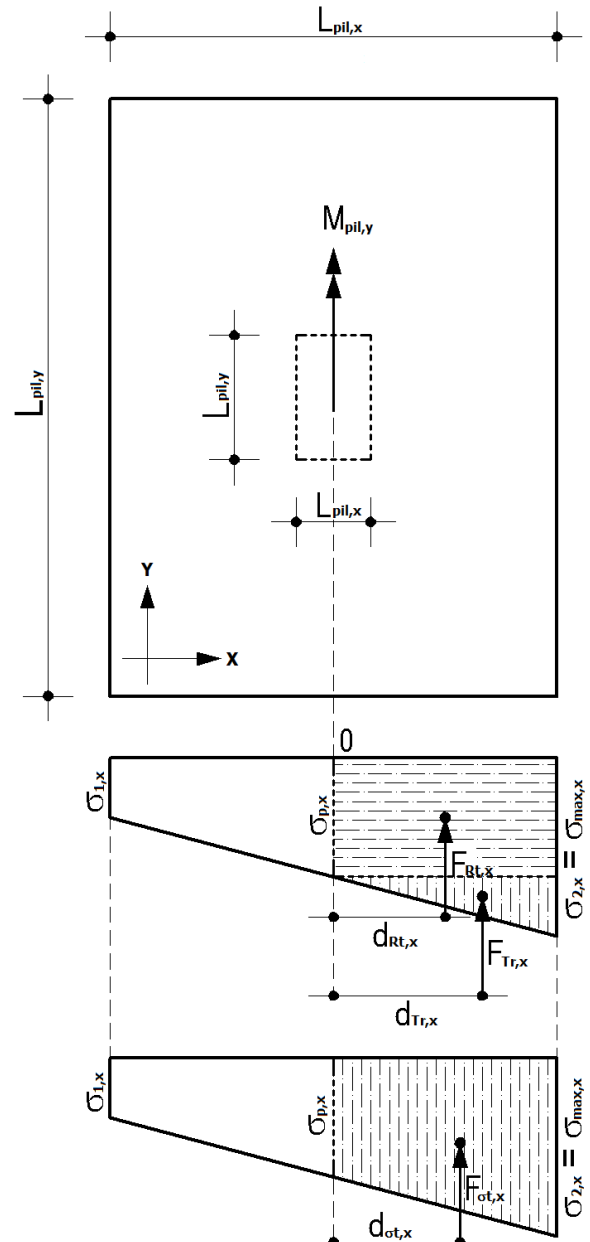


Figura 8.14: diagramma delle pressioni in direzione X - risultanti delle pressioni

#### Fase 4

A questo punto possiamo calcolare la posizione rispetto al bordo del pilastro della risultante degli sforzi di compressione (*Figura 8.15*) mediante la relazione:

$$d_{Nc,x}^* = d_{Nc,x,\min} + (d_{Nc,x,\max} - d_{Nc,x,\min}) \cdot \left( 1 - \frac{1}{e^{d_{\sigma t,x}}} \right) = 0,2250 + (0,2735 - 0,2250) \cdot \left( 1 - \frac{1}{e^{0,4612}} \right) =$$

$$= 0,2250 + 0,0485 \cdot 0,3694 = \mathbf{0,2429} \text{ m.}$$

dove:

$$d_{Nc,x,\min} = 3 \cdot L_{pil,x} / 4 = 3 \cdot 0,30 / 4 = \mathbf{0,2250} \text{ m} \text{ (posizione, dal bordo del pilastro, della risultante degli sforzi di compressione "centrata");}$$

$$L_{pil,x} = 0,30 \text{ m} \text{ (dimensione del pilastro in direzione X).}$$

$$d_{Nc,x,\max} = Z_{c,x} + c'_{pil} = 0,2385 + 0,035 = \mathbf{0,2735} \text{ m} \text{ (posizione, dal bordo del pilastro, della risultante degli sforzi di compressione "eccentrica");}$$

$$Z_{c,x} = 0,9 \cdot d_{pil,x} = 0,9 \cdot (L_{pil,x} - c'_{pil}) = 0,9 \cdot (0,30 - 0,035) = 0,2385 \text{ m.}$$

$$c'_{pil} = 35 \text{ mm} = 3,5 \text{ cm} = 0,035 \text{ m} \text{ (copriferro del pilastro).}$$

$$d_{\sigma t,x} = \mathbf{0,4612} \text{ m} \text{ (posizione della risultante del diagramma delle pressioni).}$$

Da cui, la posizione rispetto all'asse del pilastro (Figura 8.15) è pari a:

$$d_{Nc,x} = d_{Nc,x}^* - L_{pil,x}/2 = 0,2429 - 0,30/2 = 0,0929 \text{ m};$$

dove:

$$d_{Nc,x}^* = 0,2429 \text{ m (posizione, dal bordo del pilastro, della risultante degli sforzi di compressione } N_{c,x});$$

$$L_{pil,x} = 0,30 \text{ m (dimensione del pilastro in direzione X).}$$

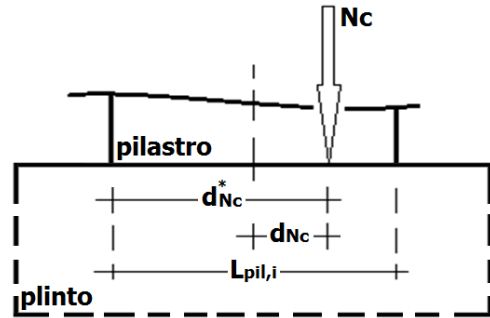


Figura 8.15: posizione della risultante degli sforzi di compressione ( $N_c$ ) alla base del pilastro, nella direzione i-esima

### Fase 5

Note la posizione della risultante delle pressioni sul terreno ( $d_{\sigma t,x}$ ) e della risultante degli sforzi di compressione ( $d_{Nc,x}^*$ ) si può calcolare l'angolo ( $\theta_{1,x}$ ) di inclinazione della biella compressa (Figura 8.16), come:

$$\text{tg}(\theta_{1,x}) = Z_{F,x}/(d_{\sigma t,x} - d_{Nc,x}) \quad \rightarrow \quad \theta_{1,x} = \text{arctg}[Z_{F,x}/(d_{\sigma t,x} - d_{Nc,x})] = \text{arctg}[0,69/(0,4612 - 0,0929)] = \text{arctg}[1,873473] = 61,91^\circ.$$

Dove:

$$Z_{F,x} = H_{plt} - c'_{plt} - L_{pil,x}/4 = 0,80 - 0,035 - 0,30/4 = 0,69 \text{ m};$$

$$H_{plt} = 0,80 \text{ m (altezza del plinto);}$$

$$c'_{plt} = 35 \text{ mm} = 3,5 \text{ cm} = 0,035 \text{ m (copriferro plinto);}$$

$$L_{pil,x} = 0,30 \text{ m (dimensione del pilastro in direzione X);}$$

$$d_{\sigma t,x} = 0,4612 \text{ m (posizione della risultante del diagramma delle pressioni);}$$

$$d_{Nc,x} = 0,0929 \text{ m (posizione, dall'asse del pilastro, della risultante degli sforzi di compressione } N_c).$$

### Fase 6

Ora, è possibile calcolare lo sforzo nella biella compressa ( $N_{Cmp,x}$ ) e quello di trazione assorbito dalle armature ( $N_{Trz,x}$ ) - (Figura 8.16).

Sforzo biella compressa ( $N_{Cmp,x}$ )	Sforzo trazione compressa ( $N_{Trz,x}$ )
$N_{Cmb,x} = N_{c,x}/[2 \cdot \sin(\theta_{1,x})] = 229 \text{ 125}/[2 \cdot \sin(61,91^\circ)] = 129 \text{ 856 N.}$	$N_{Trz,x} = N_{c,x}/\text{tg}(\theta_{1,x}) = 229 \text{ 125}/\text{tg}(61,91^\circ) = 122 \text{ 281 N.}$

Dove:

$$N_{c,x} = 229 \text{ 125 N (aliquota della risultante degli sforzi di compressione in direzione X);}$$

$$\theta_{1,x} = 61,91^\circ \text{ (inclinazione della biella compressa in direzione X).}$$

Quindi,  $N_{Trz,x}$  appena calcolato rappresenta l'azione di trazione che deve essere assorbita dall'armatura che viene disposta in **direzione Y**.

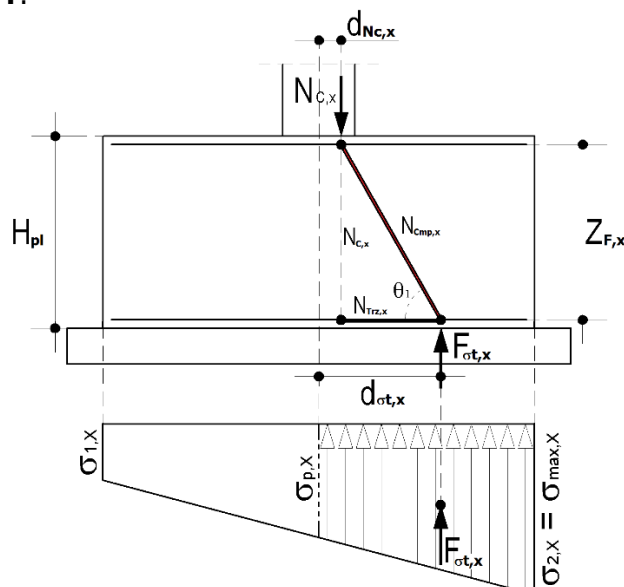


Figura 8.16: inclinazione della biella compressa

## - Armature -

### Fase 7

L'armatura inferiore *strettamente necessaria* ( $A_{s,calc}$ ) da garantire (anche superiore per simmetria) nelle due direzioni di verifica è data da:

Direzione X (A)	Direzione Y (A)
$A_{s,x,calc} = N_{Tr,z,y}/f_{yd} = 349669/391,30 =$ $= 893,60 \text{ mm}^2 = 8,9360 \text{ cm}^2;$	$A_{s,y,calc} = N_{Tr,z,x}/f_{yd} = 122281/391,30 =$ $= 312,50 \text{ mm}^2 = 3,1250 \text{ cm}^2;$
dove: $N_{Tr,z,y} = 349669 \text{ N}$ (sforzo normale di trazione che deve assorbire l'armatura inferiore disposta in direzione X); $f_{yd} = f_{yk}/\gamma_s = 450/1,15 = 391,30 \text{ N/mm}^2$ (resistenza di progetto allo snervamento dell'acciaio dei tondini); $f_{yk} = 450 \text{ N/mm}^2$ (resistenza caratteristica allo snervamento dell'acciaio dei tondini); $\gamma_s = 1,15$ (coefficiente di sicurezza allo SLU).	dove: $N_{Tr,z,x} = 122281 \text{ N}$ (sforzo normale di trazione che deve assorbire l'armatura inferiore disposta in direzione Y);

L'armatura *minima* ( $A_{s,min}$ ) da garantire (superiormente ed inferiormente) nelle due direzioni di verifica è data da:

Direzione X (A)	Direzione Y (A)
$A_{s,x,min} = L_{plt,x} \cdot H_{plt} \cdot \rho_{min} = 180 \cdot 80 \cdot 0,20/100 =$ $= 28,80 \text{ cm}^2.$	$A_{s,y,min} = L_{plt,y} \cdot H_{plt} \cdot \rho_{min} = 240 \cdot 80 \cdot 0,20/100 =$ $= 38,40 \text{ cm}^2.$
dove: $L_{plt,x} = 1,80 \text{ m} = 180 \text{ cm}$ (dimensione del plinto in X); $H_{plt} = 0,80 \text{ m} = 80 \text{ cm}$ (altezza del plinto); $\rho_{min} = 0,20\%$ (percentuale minima di armatura).	dove: $L_{plt,y} = 2,40 \text{ m} = 240 \text{ cm}$ (dimensione del plinto in Y);

Pertanto, l'armatura inferiore/superiore *esecutiva* ( $A_{s,eff}$ ) da garantire nelle due direzioni di verifica è data da:

Direzione X (B)	Direzione Y (A)
$A_{s,x,eff} = \max(A_{s,x,calc}; A_{s,x,min}) =$ $= \max(8,9360; 28,80) = 28,80 \text{ cm}^2.$	$A_{s,y,eff} = \max(A_{s,y,calc}; A_{s,y,min}) =$ $= \max(3,1250; 38,40) = 38,40 \text{ cm}^2.$

Tale armatura, nelle due direzioni, viene garantita dalla seguente armatura esecutiva:

Direzione X (A)	Direzione Y (B)
$n_{s,x} = A_{s,x,eff}/A_{i,x} = 28,80/2,01 = 14,32$ $\rightarrow 15 \text{ barre } \phi 16 \text{ (Figura 8.17)}$	$n_{s,y} = A_{s,y,eff}/A_{i,y} = 38,40/2,01 = 19,10$ $\rightarrow 20 \text{ barre } \phi 16 \text{ (Figura 8.18)}$
dove: $A_{s,x,eff} = 28,80 \text{ cm}^2$ (armatura effettiva in direzione X); $\phi = \phi_x = \phi_y = 16 \text{ mm}$ (diametro armatura in direzione X e Y); $A_i = A_{i,x} = A_{i,y} = \pi \cdot \phi^2/4 = \pi \cdot 16^2/4 = 2,01 \text{ cm}^2$ (armatura singolo tondino in direzione X e Y);	dove: $A_{s,y,eff} = 38,40 \text{ cm}^2$ (armatura effettiva in direzione Y);

Per cui, l'armatura esecutiva ( $A_{s,es}$ ) nelle due direzioni è pari a:

$$A_{s,x,es} = n_{s,x} \cdot A_{i,x} = 15 \cdot 2,01 = 30,16 \text{ cm}^2. \quad | \quad A_{s,y,es} = n_{s,y} \cdot A_{i,y} = 20 \cdot 2,01 = 40,21 \text{ cm}^2.$$

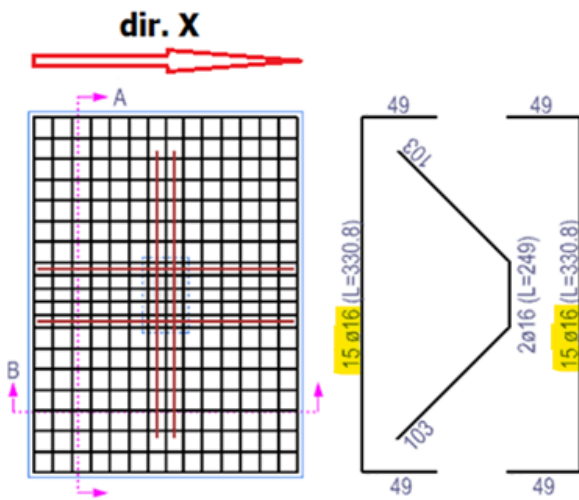


Figura 8.17: armature disposte in direzione X(A)

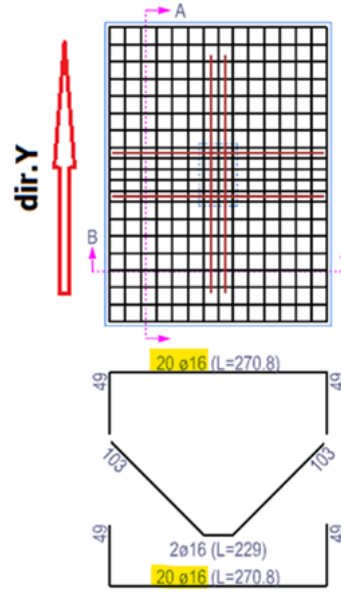


Figura 8.18: armature disposte in direzione Y(B)

**- Verifica -**

**Fase 8**

**A Trazione**

I coefficienti di sicurezza per le sezioni di verifica (A-A e B-B) nelle due direzioni valgono:

Direzione X (A)	Direzione Y (B)
$CS_x = N_{Rd,x} / N_{Tr,z,y} = 1180146 \text{ N} / 349669 \text{ N} = \mathbf{3,38}$ ; dove: $N_{Rd,x} = f_{yd} \cdot A_{s,x,es} = 391,30 \text{ N/mm}^2 \cdot 3016 \text{ mm}^2 = \mathbf{1180146 \text{ N}}$ (sforzo resistente a trazione delle armature inferiori in direzione X); $f_{yd} = f_{yk} / \gamma_s = 391,30 \text{ N/mm}^2$ (resistenza di progetto dell'acciaio); $f_{yk} = 450 \text{ N/mm}^2$ (resistenza caratteristica allo snervamento dell'acciaio); $\gamma_s = 1,15$ (coefficiente parziale di sicurezza dell'acciaio). $A_{s,x,es} = 30,16 \text{ cm}^2$ (armatura esecutiva in direzione X); $N_{Tr,z,y} = \mathbf{349669 \text{ N}}$ (sforzo normale di trazione che deve assorbire l'armatura inferiore disposta in direzione X).	$CS_y = N_{Rd,y} / N_{Tr,z,x} = 1573528 \text{ N} / 122281 \text{ N} = \mathbf{12,87}$ ; dove: $N_{Rd,y} = f_{yd} \cdot A_{s,y,es} = 391,30 \text{ N/mm}^2 \cdot 4021 \text{ mm}^2 = \mathbf{1573528 \text{ N}}$ (sforzo resistente a trazione delle armature inferiori in direzione Y); $A_{s,y,es} = 40,21 \text{ cm}^2$ (armatura esecutiva in direzione Y); $N_{Tr,z,x} = \mathbf{122281 \text{ N}}$ (sforzo normale di trazione che deve assorbire l'armatura inferiore disposta in direzione Y).

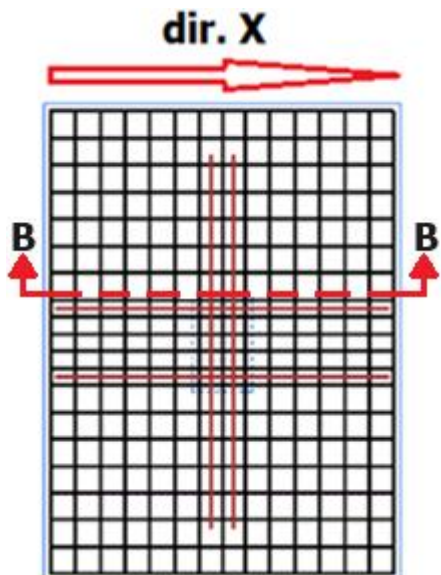


Figura 8.19: sezione di verifica in direzione X(A)

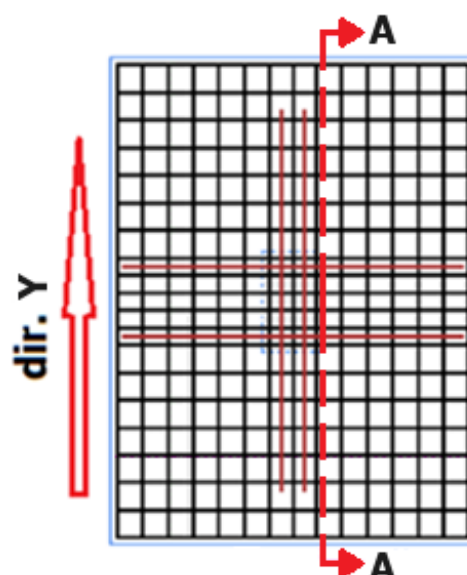


Figura 8.20: sezione di verifica in direzione Y(B)

## Confronto

Di seguito si riporta il confronto tra il calcolo manuale e quello di EdiLus.

### SOLLECITAZIONI E VERIFICHE ALLO SLU

Plinto 1	Fondazione	
	Dir A	Dir B
<b>N<sub>Ed</sub></b>		646.945
<b>M<sub>Ed,3</sub></b>		585.000
<b>M<sub>Ed,2</sub></b>		31.200
<b>V<sub>Ed,3</sub></b>		10.400
<b>V<sub>Ed,2</sub></b>		195.000
<b>Cmp.</b>	232.163	129.856
<b>Trz.</b>	349.670	122.281
<b>A<sub>s,s</sub></b>	30,16	40,21
<b>A<sub>s,i</sub></b>	30,16	40,21
<b>A<sub>s,pz</sub></b>	-	-
<b>CS<sub>f,A/B</sub></b>	3,38	12,87
<b>CS<sub>pz</sub></b>	-	-

Manuale

### SOLLECITAZIONI E VERIFICHE ALLO SLU

Plinto 1	Fondazione	
	Dir A	Dir B
<b>N<sub>Ed</sub></b>		646.945
<b>M<sub>Ed,3</sub></b>		585.000
<b>M<sub>Ed,2</sub></b>		31.200
<b>V<sub>Ed,3</sub></b>		10.400
<b>V<sub>Ed,2</sub></b>		195.000
<b>Cmp.</b>	232.163	129.856
<b>Trz.</b>	349.670	122.281
<b>A<sub>s,s</sub></b>	30,16	40,21
<b>A<sub>s,i</sub></b>	30,16	40,21
<b>A<sub>s,pz</sub></b>	8,04	8,04
<b>CS<sub>f,A/B</sub></b>	3,38	12,87
<b>CS<sub>pz</sub></b>	10,19	10,19

EdiLus